

МИНИСТЕРСТВО ГЕОЛОГИИ СССР
МИНИСТЕРСТВО ГЕОЛОГИИ РСФСР
ОБЪЕДИНЕНИЕ "СЕВЗАПГЕОЛОГИЯ"

Уч.№ 037

ГОСУДАРСТВЕННАЯ
ГЕОЛОГИЧЕСКАЯ
КАРТА СССР

МАСШТАБА 1:200 000

В брошюре пронумеровано 108 стр.

СЕРИЯ КАРЕЛЬСКАЯ

Лист Р-36-ХХI

Объяснительная записка

Редактор Н.С. Михеенкова
Технический редактор С.К. Леонова
Корректор Л.П. Трензелева

Составитель В.В. Яковлева
Редактор С.Б. Лобач-Жученко

Сдано в печать 27.05.81. Подписано к печати 1.03.83.

Утверждено Научно-редакционным советом ВСЕГЕИ

Тираж 198 экз. Формат 60x90/16 Печ.л. 6,75 Заказ 659с

24 декабря 1971 г., протокол № 38

Центральное специализированное
производственное хорасчетное предприятие
объединения "СоюзгеоЛФонд"



МОСКВА 1983

О Г Л А В Л Е Н И Е

	Стр.
Введение	5
Геологическая изученность	6
Стратиграфия	12
Интузивные образования	43
Тектоника	61
Геоморфология	69
Полезные ископаемые	71
Подземные воды	82
Оценка перспектив района	89
Литература	95
Приложения	102

ВВЕДЕНИЕ

Территория листа Р-36-ХХI расположена в пределах Южной Карелии, входящей в состав Пряжинского и Суоярвского районов Карельской АССР. Координаты листа: $61^{\circ}20'$ - $62^{\circ}00'$, с.ш. и $32^{\circ}00'$ - $33^{\circ}00'$ в.д., площадь его составляет 3392 км^2 .

Наиболее крупными населенными пунктами являются поселки Ведлозеро, Колатсельга и Койвусельга, связанные со столицей Карельской АССР г.Петрозаводском и с районными центрами Пряжей, Суоярви и Олонцем шоссе первого класса. На северо-востоке территории листа пересекает железная дорога Петрозаводск-Суоярви.

Население района занято в лесной промышленности. На территории листа расположены многочисленные лесопункты.

Климат Южной Карелии умеренно-континентальный со средней годовой температурой $+2,11^{\circ}$. Среднее годовое количество осадков составляет 616 мм.

В орографическом отношении описываемая территория представляет плавно понижающийся к югу пепелен, имеющий абсолютные отметки 90-210 м. В северной половине территории листа развита слабо всхолмленная моренная равнина, на которой возвышаются куполовидные выходы гнейсо-гранитов с относительным превышением 5-10 м. Южнее, в районе оз.Тулмозеро, располагаются сельги, ориентированные в субширотном и меридиональном направлениях, в соответствии с ориентировкой структур слагаемой ими Туломозерской мульды^{X/}. В южной половине листа преимущественно развит ледниково-аккумулятивный рельеф, представленный моренными холмами, камами и озами, чередующимися с зандровыми полями.

Развитие гидрографической сети определяется наличием водораздела, находящегося на северо-западе за пределами территории листа. С него в юго-восточном направлении стекают реки Колласйоки,

^{X/} Написание всех геологических элементов, образованных от географических названий приведено в старой транскрипции.

Шуя и Лоймолайоки с системой озер Хисъярви. В северо-западной части листа имеется местный водораздел, с которого текут реки Наровож и Кайновоож в юго-восточном направлении, затем меняют его на юго-западное и впадают в оз. Тулмозеро. Такие реки как Колласйоки и Лоймолайоки приурочены к разломам. Берега и русла их каменистые и порожистые. Реки Наровож и Кайновоож, протекающие по моренной равнине, имеют более спокойное течение и русла их промыты в моренных отложениях. По рекам производится сплав леса. Из-за порогов они несудоходны.

Наиболее крупными озерами являются Сямозеро и Шотозеро, частично расположенные на территории листа, а также озера Ведлозеро, Нялмозеро, Вохтозеро и Тулмозеро, находящиеся на в пределах. Помимо перечисленных озер, на моренной равнине северной части листа и среднеледниково-аккумулятивного рельефа на юге встречается много мелких озер.

ГЕОЛОГИЧЕСКАЯ ИЗУЧЕННОСТЬ

Первые разрозненные сведения о геологическом строении территории относятся к 1828 г. и принадлежат П.А.Пузыревскому, которым было дано описание геологии и полезных ископаемых Олонецкой губернии. С 1877 г. изучением геологии Олонецкого края занимался профессор А.А.Иностраницев. Результаты его исследований изложены в труде "Геологический очерк Повенецкого уезда и его рудных месторождений". В этой работе дано описание гнейсов, гнейсо-гранитов, гранитов, метадиабазов и других пород, развитых на территории листа.

Выделенные А.А.Иностраницевым древние лаврентьевские гнейсы и гнейсо-граниты, более молодые гуронские сланцы и граниты и несогласно перекрывающие их палеозойские кварцito-песчаники и карбонатные породы в принятой стратиграфической схеме соответствуют архейским, нижнепротерозойским и среднепротерозойским образованиям.

Петрографическое описание пород Суоярвско-Тулмозерского района впервые было сделано в 1888-1890 гг. Н.Н.Миклухо-Маклаем /14/, составившим геологическую карту Олонецкого уезда в масштабе 1:420 000. Ранее, в 1762 г., в Тулмозерском районе были открыты месторождения гематитовых и озерных руд, описание которых в 1872 г. дал П.А.Кулибин. Гематитовая руда служила сырьем для Тулмозерского чугуноплавильного завода. Добывалась она из месторождений Фаддейн-Келья, Мечайкоски, Рогосельга и из других рудников. Позднее был выявлен еще ряд мелких месторождений, ко-

торые вместе с названными были почти выработаны и в 1902 г. завод прекратил работу.

В 1921 г. район Суоярви посетил А.Метцгер /19/. Он составил карту масштаба 1:50 000 и выделил здесь комплекс ятульских осадочных пород, несогласно залегающих на архейских гранито-гнейсах. Метцгер подробно описывает кварциты и доломиты и лишь вскользь характеризует гематитовые сланцы, не считая возможным относить их к рудным породам.

После Великой Октябрьской революции началось систематическое изучение геологии района в связи с поисками промышленных месторождений железных и колчедановых руд.

Начиная с 1923-1924 гг. В.М.Тимофеев проводил маршрутные пересечения Онежско-Ладожского водораздела, куда входит и территория листа. Им была составлена геологическая карта водораздела в масштабе 1:840 000. С 1930 г. Туломозерские месторождения гематита разведывались Ю.С.Желубовским /38/. Установленные запасы по кат. A₂+B+C составили 3 млн.т с содержанием железа 35,2%, в связи с чем месторождения были оценены им как непромышленные. Ю.С.Желубовским в 1934 г. /39/ в районе оз. Кавадъярви^{x/} были обнаружены выходы сфalerито-магнетитовых руд и проведен подсчет запасов. В дальнейшем эти руды разведывались П.И.Ивановым /45/. По заключению П.И.Иванова, сфalerит-магнетитовая руда пригодна в качестве пигmenta. Запасы ее составляли 48II т металлического цинка. В 1935 г. производилась пробная эксплуатация месторождения трестом "Лакокраскасырье".

Летом 1934 г. Ю.С.Желубовский посетил район с.Улялеги /10/. В результате им была составлена геологическая карта и впервые поднят вопрос об изучении оловоносности пород района. В 1934 г. с целью поисков оловоносных месторождений была организована Карельская геологоразведочная экспедиция, в состав которой входили геофизическая группа, Улялегская, Палалахтинская, Сонская и Коватъярвинская партии.

В районе с.Улялеги поиски в масштабе 1:50 000 велись О.Н.Лебедевой /10/, Н.И.Софроновым, М.И.Рохлиным и К.К.Поликарповым /61/. В результате концентраций олова в районе с.Улялеги не было выявлено. На участке д.Палалахты /60/ олово было обнаружено в кварц-полевошпатовой породе, в 1 км от контакта с гранитами рапакиви. По данным химического анализа содержание олова в кварц-полевошпатовой породе колебалось от следов до 0,53%. Поиски олова в районе озер Кавадъярви и Тулмозера положительных результа-

^{x/} В старой литературе оз. Кавадъярви называлось Коватъярви, оз. Тулмозеро - Тулмозеро.

тов не дали. Тогда же О.Н.Лебедева /48/ изучала район оз.Соддерозера (Шотозера) и расположенные в нем пегматиты. В результате ее и Ю.С.Желубовским были выявлены месторождения полевошпатового сырья /10, 48/.

В период с 1933 по 1935 г. по инициативе В.М.Тимофеева, в районе Чалкинского месторождения и на участке Ведлозера были поставлены геологосъемочные и геофизические работы с целью поисков месторождений серного колчедана. В районе оз.Ведлозера поисково-съемочные работы на серный колчедан проводил В.П.Подольский /57/. Им были подсчитаны запасы для этого участка в количестве 15960000 т по кат.С₁ и 830000 т по кат.С₁+С₂. В 1937 г. Ю.С.Желубовский, И.М.Озеров, М.И.Рохлин и Н.И.Софронов написали работу "Геология и полезные ископаемые Туломозерско-Соддерского района Юго-западной Карелии" /II/. В этой работе Ю.С.Желубовский дал стратиграфическую схему района. К архею он относил гранито-гнейсы, к протерозою - конгломераты, песчаники, доломиты и метадиабазы. Им были выделена коватъярвская свита, сложенная карбонатными породами, роговообманковыми и кварцево-биотитовыми сланцами, которые он относил к верхним членам разреза ятулия. Летом 1939 г. Ю.С.Желубовский и К.В.Липская /41/ изучали коватъярвские сфalerито-магнетитовые руды, чалкинские и улягские колчеданы на кобальт. В результате было установлено, что ни магнетит-сфalerитовые руды, ни колчеданы кобальта не содержат. В 1939-1940 гг. Ю.С.Желубовским, А.В.Михайловым и В.А.Груничевой /42/ была заснята в масштабе 1:200 000 территория, охватывающая районы Тулмозера и Ведлозера и составлена карта четвертичных отложений. Исследования сопровождались инженерно-гидрогеологическими работами. Западнее Суриярвинского (Хюрсюльского) массива были прослежены гранат-ставролитовые сланцы и гнейсы, отнесенные Ю.С.Желубовским к верхнеархейским (ботнийским) образованиям. Комплекс зеленых сланцев, протягивающихся от оз.Ведлозера к д.Чалкосельге, он выделял в составе нижнего протерозоя. В 1940-1941 гг. Т.Ю.Маренина и Д.А.Каузов /49/ производили разведку Улягского и Ведлозерского месторождений серных колчеданов. Одновременно были начаты исследования электроаномалий близ д.Хаутоваара. На Ведлозерском месторождении и в районе д.Хаутоваара разведочные работы были прерваны Великой Отечественной войной.

Следующий этап в геологическом изучении территории листа охватывает отрезок времени с 1945 по 1957 г. В этот период были проведены региональные геологические съемки масштаба 1:200 000 и 1:100 000, возобновлены разведочные работы на Ведлозерском месторождении серного колчедана и на Хаутоварском участке. Планомер-

ное геологическое изучение территории листа производилось коллективом геологов Северо-Западного геологического управления с участием геологов ВСЕГЕИ. В 1945 г. сотрудник ВСЕГЕИ М.В.Занин /43/ в масштабе 1:100 000 перекрывает площадь, ранее заснятую Ю.С.Желубовским. М.В.Заниным была принята стратиграфическая схема Ю.С.Желубовского. С целью выяснения природы магнитных аномалий, обнаруженных в районе оз.Суриярви, он обследовал этот участок в масштабе 1:25 000. Было установлено, что магнитные аномалии вызваны наличием магнетита в массиве серпентинитов. В этом же году И.А.Маргулис опробовал Суриярвинский массив. По данным химических анализов содержание железа в серпентинитах составляло 10-15%, силикатного никеля - 0,31-0,5%.

В 1950 г. М.А.Гилярова /30/, посетив участок оз.Каватъярви и Тулмозера, предложила для района иную стратиграфическую схему. В отличие от схемы Ю.С.Желубовского, коватъярвинскую свиту и ассоциирующие с ней ортоамфиболиты она включила в состав докарельских образований. К породам карельской формации она отнесла кварциты, доломиты, сланцы и метадиабазы, слагающие Тулмозерскую мульду. Магнетит-сфalerитовое оруденение М.А.Гилярова связывала с породами докарельской формации, а туломозерское гематитовое оруденение осадочного генезиса - с породами карельской формации.

В 1950 г. Е.П.Молоткова /53/ проводит ревизию на кобальт железо-полиметаллических руд месторождений Коватъярви. Исследование 80 проб руды показало содержание кобальта от 0,01 до 0,08%. Одновременно Е.П.Молоткова изучала горными работами и бурением геофизические аномалии на участках озер Каватъярви, Кода-Багаярви и Ивкожи. Было установлено, что аномалии на последних двух участках вызваны вкрапленностью пирротина в метадиабазах и сланцах, а на участке Каватъярви - залежами магнетит-сфalerитовых руд.

В северной части листа геологическую съемку масштаба 1:200 000 в 1950 г. проводила З.А.Бурцева /28/, установившая развитие на этой площади архейских и протерозойских гранитов.

В 1948 г. Ленинградским геологическим управлением были начаты съемочные, поисковые и разведочные работы на серный колчедан в полосе Кивач-Хаутоваара-Ведлозеро. В районе оз.Ведлозера колчеданные руды разведывались А.И.Ивановой /46/. В результате были выявлены запасы этих руд по кат.С₁ - 5578 тыс.т и В - 340,5 тыс.т. Тогда же в районе д.Хаутовары^{x/} было открыто Хауто-

^{x/} д.Хаутовары - старое название д.Хаутоваара - Прим.ред.

варское серно-колчеданное месторождение. В этот период Т.Л.Гольдбарт /34/ проводила геологическую съемку всей сланцевой рудносной полосы в масштабе 1:200 000. На участке оз.Суриярви был опробован с поверхности массив серпентинитов, в которых содержание никеля достигало 0,5%. Геофизическим изучением Чалкинско-Ведлозерской зоны в 1949-1950 гг. занимался Г.В.Свирский /62/, наметивший 19 аномальных участков. На одном из них было открыто Няльмозерское месторождение серного колчедана. В 1951-1955 гг. А.И.Ивановой и А.И.Болотиной /46/ производилась разведка Няльмозерского месторождения. Запасы руды по месторождению определялись в 3,46 млн.т.

В 1951 г. З.А.Бурцева /28/ провела поисковые работы на Суриярвском (Хюрсюльском) массиве с целью оценки его никеленосности. На основании выявленного дифференцированного строения массива была дана рекомендация к его дальнейшему изучению. В 1954 г. на Суоярвском (Хюрсюльском) и Южно-Хюрсюльском массивах структурно-поисковое бурение проводил А.А.Мустонен /55/. В результате была обнаружена вкрапленность бравоита и пентландита. Среднее содержание никеля в серпентинитах Хюрсюльского массива по данным химических анализов составляло 0,25%, в Южно-Хюрсюльском массиве - 0,17%.

В связи с созданием железорудной базы для Череповецкого металлургического комбината Северо-Западное геологическое управление в 1952 г. проводило поисково-ревизионные работы на Туломозерских гематитовых месторождениях. В результате ревизии, в связи с малыми запасами обследованных месторождений ($C_1+C_2 = 863020$ т) была дана отрицательная оценка перспектив использования гематитовых руд /21/.

В 1951 г. Г.О.Гукосяном /37/ проводились поисково-ревизионные работы на медно-полиметаллическом рудопроявлении Фаддейн-Келья, не давшие положительных результатов. В 1952-1954 гг. геологопоисковые работы с целью выявления месторождений олова велись в северном контакте Салминского массива гранитов рапакиви О.Н.Аниченковой и Е.П.Молотковой /22/. Концентраций рудных минералов на обследованных участках не было выявлено. В 1954 г. Е.П.Молотковой /54/ был обнаружен Суламбинский массив ультраосновных пород, содержащих вкрапленность пирротина и пентландита.

В 1956 г. М.Е.Зильбер /44/ проводил поисково-съемочные работы с применением гидрохимии и металлометрии в масштабе 1:50 000 на цветные и редкие металлы в полосе Хаутоваара-Ведлозеро. В связи с плохой обнаженностью, полоса осадочно-вулканогенных пород оказалась недоизученной в отношении полиметаллического орудене-

ния. В 1955-1957 гг. изучением перспектив никеленосности ультраосновных пород района занимался Г.Т.Макеенко /51/. Обследование им массивы Хюрсюля, Хаутовары и Кивача были рекомендованы для изучения.

Следующий этап в изучении никеленосности интрузий Хаутоварской структурной зоны начинается в 1966 г., когда Карельская экспедиция совместно с Западным геофизическим трестом /66/ и Карельским институтом геологии /25/ изучали Хюрсюльский массив. Промышленного оруденения в поверхностных горизонтах массива не выявлено. В 1964 г. на территории листа В.В.Яковлевой проводятся редакционно-увязочные маршруты и поисковое бурение в объеме 350 м в зоне восточного контакта Салминского массива гранитов рапакиви. В результате был получен новый материал, позволивший выделить синемукскую свиту биотит-кордиеритовых сланцев и карбонатных пород. В районах деревень Палалахты, Гилькожи, озер Каватъярви и Синемуксы были установлены гиперстеновые и двупироксеновые кристаллические сланцы, развивающиеся по основным и средним эфузивам, и лепиты. Все эти образования были выделены в палалахтинскую толщу.

В 1963 г. выходит из печати монография К.О.Кратца "Геология карелид Карелии" /13/ и в 1966 г. издается труд Л.Я.Харитонова "Структуры и стратиграфия карелид восточной части Балтийского щита" /17/. В 1967 г. В.В.Яковлевой была составлена "Металлогеническая и прогнозная карта районов Приладожья" масштаба 1:200 000 /69/, охватывающая и территорию листа Р-36-XXI.

При подготовке настоящей геологической карты к изданию в основу положены геологические съемки масштаба 1:50 000, 1:100 000, 1:200 000 и результаты поисковых работ масштаба 1:10 000 и 1:25 000, проведенных сначала Ленинградским (с 1931 по 1940 г.), а потом Северо-Западным геологическим управлением (с 1945 по 1970 г.). Учтены карты аэромагнитных аномалий масштаба 1:200 000 /64/, гравитационная карта масштаба 1:200 000 /58/ и данные аэродешифрирования, заимствованные из материалов к тектонической карте Карело-Кольского региона, составленной В.А.Перевозчиковой в 1968 г. /59/.

Использован также фактический материал, собранный В.В.Яковлевой при составлении металлогенической карты листа Р-36-XXI. При этом учтены новые геологические данные, полученные в результате редакционно-увязочных маршрутов 1964 г., выполненных автором, а также данные поискового бурения в зоне контакта Салминского массива гранитов рапакиви, проведенного в 1964 г. В.В.Яковлевой и в 1969-1970 гг. О.Н.Аниченковой (на южной границе листа).

СТРАТИГРАФИЯ

В геологическом строении площади листа принимают участие докембрийские кристаллические комплексы пород, почти повсеместно перекрытые пластом отложений четвертичного периода. Докембрийские кристаллические породы представлены образованиями архейской и протерозойской групп. В архейскую группу входят биотитовые, амфибол-биотитовые гнейсы, гранито-гнейсы и мигматиты, условно отнесенные нами к нижней и частию к нерасчлененным нижней и средней толщам беломорской серии. Гнейсы, мигматиты и гранито-гнейсы окружены массивами (ядра), сложенные гнейсо-гранитами, гнейсо-гранодиоритами и гнейсо-диоритами. Развиты все эти породы на территории, находящейся севернее оз. Тулмозера, где они слагают основание карелид. К породам архейско-нижнепротерозойского возраста отнесены лепиты, тонкозернистые амфиболовые и двупироксеновые кристаллические сланцы, в которых на отдельных участках сохранились микропойкилитовые, афировые, пойкилитовые и порфировидные структуры лав. Они залегают на основании карелид, сложенном архейскими гнейсо-гранитами и мигматитами керетьской и хетоламбинской толщ и перекрываются нижнепротерозойскими геосинклинальными формациями терригенно-вулканогенных и терригенно-карбонатных пород. Протерозойская группа представлена образованиями нижней и средней подгрупп. К нижнепротерозойской подгруппе относится гимольско-парандовская серия. Образования гимольско-парандовской серии, состоящие из метаморфизованных осадочно-вулканогенных пород андезит-базальтовой, спилитовой и кератофировой подформаций, выполняют Чалкинско-Ведлозерский и Улялгеский синклинальные структуры, находящиеся в северной половине территории листа. В южной части площади распространены терригенно-карбонатные породы, выполняющие Коватъярвинский и Синемукский синклинальные структуры. Нижние части разреза гимольско-парандовской серии секутся габбро-амфиболитами, перидотитами и серпентинитами. Все перечисленные породы интрудируются и мигматизируются гранитами, массивы которых располагаются вдоль нижнепротерозойских структурных зон. В архейском основании эти и, возможно, более ранние архейские граниты, образуют отдельные массивы, окруженные мигматитовыми полями. Средние части разреза гимольско-парандовской серии прорываются габбро-диабазами, кварцевыми порфирами, кератофарами и плагиопорфирами. С последними связаны промышленные залежи серно-

колчеданных руд Ведлозерского месторождения. В центральной части листа, в районе оз. Тулмозера, архейские и нижнепротерозойские комплексы пород с угловым несогласием перекрыты пологолежащими среднепротерозойскими кварцито-песчаниками, аркозами, доломитами и сланцами туломозерской и заонежской свит, слагающими Туломозерскую мульду. Карбонатные породы и сланцы заонежской и отчасти туломозерской свит интрудированы силами среднепротерозойских диабазов и габбро-диабазов. К верхнепротерозойской подгруппе принадлежат посторогенные позднепротерозойские интрузии гранитов рапакиви (Салминский и Улялгеский массивы). Отнесение гранитов рапакиви к низам верхнего протерозоя сделано в соответствии с легендой, принятой в СЗТГУ. В согласии же с современными геохронологическими данными /12/ граниты рапакиви относятся к верхам среднего протерозоя. К позднепротерозойским образованиям, предположительно связанным с процессами рифейской (?) активизации, отнесены грейзенизированные граниты и грейзены, локализующиеся в зоне разлома восточнее оз. Синемуксы.

Увязка с площадью западного листа Р-36-XXI полная. На востоке большая часть пограничной территории листа Р-36-XXII занята четвертичными отложениями, которые протягиваются и на территорию листа Р-36-XXI. На карте описываемого листа Р-36-XXI четвертичные отложения сняты, так как детальные геофизические работы и пробуренные здесь скважины позволяют расшифровать геологическое строение этой территории. Увязка с районом северного листа Р-36-XV дана ниже, при обсуждении стратиграфии нижнего протерозоя.

АРХЕЙСКАЯ ГРУППА Беломорская серия Нижняя (керетьская) толща ($AR\beta\ell_1$)

Биотитовые гнейсы, гранито-гнейсы и мигматиты условно отнесены к породам нижней толщи беломорской серии. Гнейсы образуют пластиообразные тела, обрамляющие архейские гнейсогранитные и гнейсо-гранодиоритовые массивы, либо встречаются в них самих в виде широобразных тел. Простижение гнейсовидности в гнейсах совпадает с гнейсовидностью окружающих ими гнейсо-гранитов. Вместе с последними они образуют фундамент карелид. Направление простирания гнейсовидности меняется от меридионального до северо-западного 330° и до субширотного. Падение в гнейсах, расположенных между массивами, крутое $70-90^\circ$. В гнейсах, залегающих внутри

массивов, наблюдается пологое залегание гнейсовых, меняющееся от 5 до 20°. По внешнему облику биотитовые гнейсы представляют собой серые мелкозернистые гнейсовые породы со свойственными им гранобластовыми структурами. Гнейс состоит (в %) из биотита - 20, кварца - 40 и плагиоклаза ряда олигоклаза-андезина - 30. В подчиненных количествах (до 10%), встречаются эпидот, кальцит, хлорит и рудный минерал. Аксессорные минералы - апатит и циркон.

Нерасщепленные нижняя (керетьская) и средняя
(хетоламбинская) толщи (AR $\beta\ell_{1+2}$)

Рассматриваемые толщи включают в себя биотит-амфиболовые, биотитовые, амфиболовые гнейсы и мигматиты. Эти породы располагаются в промежутках между гнейсо-гранитными массивами (ядрами). Биотит-амфиболовые, биотитовые и амфиболовые гнейсы связаны между собой взаимопереходами и через зону гранито-гнейсов и теневых мигматитов переходят в гнейсо-граниты и гнейсо-гранодиориты. Широобразные тела и полосы биотит-амфиболовых гнейсов встречаются внутри гнейсо-гранодиоритовых массивов, где ассоциируют с полевошпатовыми амфиболитами. Мощность нерасщепленной керетьской и хетоламбинской толщ превышает 500 м и точно не устанавливается. Биотит-амфиболовые гнейсы - зеленовато-серые средне- и мелкозернистые гнейсовые породы, обладающие гранонематобластовыми структурами. По составу они почти аналогичны биотитовым гнейсам и отличаются от них лишь наличием призматических зерен обычной зеленой роговой обманки, количество которой достигает 15-20%. В амфиболовых гнейсах содержание роговой обманки повышается до 30% и по мере увеличения количества амфиболя они переходят в полевошпатовые амфиболиты. Полевошпатовые амфиболиты - темно-зеленые мелкозернистые породы, обладающие гранобластовой и нематогранобластовой структурами с реликтами габбровой. Основными породообразующими минералами являются роговая обманка и плагиоклаз № 43, либо № 30-35. В незначительных количествах присутствуют биотит, апатит и сфен. Плагиоклаз часто соссюритизирован и альбитизирован, а роговая обманка замещается биотитом и хлоритом.

Архейский возраст амфиболитов определяется по тесной ассоциации их с архейскими биотит-амфиболовыми гнейсами и гнейсо-диоритами. Изотопный возраст аналогичных полевошпатовых амфиболитов, установленный K-Ar методом (по амфиболу в соседнем с севера районе), равен 2500-2700 млн. лет (Кратц и др., [8]).

Присутствие в амфиболитах реликтовых габброидных структур позволяет предположить их первичное матматическое образование.

Гнейсы послойно мигматизированы плагиомикроклиновыми гранитами. Мигматиты представляют собой ясно полосчатые породы; полосы субстрата, по составу соответствующие биотитовому либо биотит-амфиболовому гнейсу, чередуются с лейкократовыми прослоями кварц-микроклин-плагиоклазового состава. Мощность полос варьирует в широких пределах от нескольких миллиметров до 0,5 м. Микроклин, присутствующий в мигматизированных гнейсах и мигматитах, имеет решетчатое строение, количество его в породе зависит от степени мигматизации, колебляясь от 1 до 40-60%. В гнейсах с ненарушенной гранобластовой структурой микроклин имеет ксеноморфное развитие, расположаясь в межзерновых пространствах. В зонах грануляции и катаклиза, где явления кварцевого и калиевого метасоматоза проявлялись наиболее интенсивно, образовались прослои кварц-микроклинового состава, причем количество микроклина в них достигает 60%. Биотит гнейсов замещается мусковитом. Аналогичные сильно мигматизированные гнейсы наблюдаются в керетьской и хетоламбинской толщах беломорской серии архея, с которыми условно и проведена корреляция описанных выше образований.

АРХЕЙСКО-НИЖНЕПРОТЕОЗОЙСКИЕ ОБРАЗОВАНИЯ (AR-PR₁)

Толща лептитов и метаморфизованных эффузивов андезитового и андезито-базальтового состава

Описываемая толща, сложенная лептитами и кристаллическими сланцами по основным и средним эффузивам, выделена нами в 1964 г. в результате полевых исследований районов оз. Кавадъярви, д. Палаахты, бурения близ оз. Синемуксы и ревизионного просмотра керна старых скважин, пробуренных у д. Гилькожи, в районе х. Григорьева и у оз. Ведлозера. Описываемые породы слагают нижние горизонты Коватьярвинского и Синемукского прогибов, залегая на архейских гнейсо-гранитах и перекрываюсь карбонатными породами коватьярвинской и синемукской свит. Разновидности метаморфизованных эффузивов характеризуются хорошо сохранившимися микропойкилитовыми и афировыми структурами лав. Опорные разрезы толщи описаны в районе д. Палаахты, почему ей и предлагается присвоить название палаахтинской (табл. I). Амфиболовые сланцы встречены во всех опорных разрезах. Они представляют собой темносерые тонкозернистые породы с реликтами порфировидных структур. Лепиты были установлены в 0,6 км северо-западнее оз. Кавадъярви, где они переслаиваются с пироксеновыми и амфиболовыми сланцами, перекрываются горизонтом

Таблица I

Опорные разрезы паллаахтинской толщи лептитов и метаморфизованных эфузивов андезитового и андезито-базальтового состава

Свита, толщца	Район д. Гильюоки и р. Тулемайоки (бурговой профиль 1963 г. и обнажения 1963 г.)	Мощность, м	Район д. Паллаахти (бурговой профиль 1964 г. и обнажения 1963 г.)	Мощность, м	Район д. Веллозеро (бурговые профили 1954-1960 гг., хут. Григорьева)	Мощность, м
	Толща кварц-серийцит-карбонатных, альбит-титановых, графитистых и других сланцев	80	Толща кварц-серийцит-карбонатных, альбит-титановых, графитистых и других сланцев	90	Толща карбонатные, переслаивающиеся с биотитами и кварцитами	10
	Скарнированные карбонатные городы	20	Скарнированные карбонатные городы, переслаивающиеся с биотитами и кварцитами	10	Пироксеновые, дунит-пироксеновые, альбит-амфиболовые сланцы (метаморфизованые основные и средние эфузивы)	100
	Дутироксеновые и гиперстеновые сланцы, переслаивающиеся с амфиболом (биотитами) и плагиосланцами (метаморфизованные эфузивы основного и среднего состава)	100	Пироксен-амфиболовые, альбит-амфиболовые и амфиболовые плагиосланцы (метаморфизованые основные и средние эфузивы)	100	Пироксеновые, дунит-пироксеновые, альбит-амфиболовые сланцы (метаморфизованые основные и средние эфузивы)	100
	Амфибол-биотитовые плагиосланцы, переслаивающиеся с кварц-полевошпатовыми породами (лептитами)	122	Темно-серые амфиболовые сланцы (метапирокситы), переслаивающиеся с графитистыми сланцами	200	Темно-серый амфиболовый сланец (метапироксит) с прослоями кварц-полевошпатовых и графитистых сланцев	220
	Темно-серые амфиболовые сланцы (метапирокситы)	36			Гнейсо-граниты	
	Основание не установлено					

карbonатных пород ковадъярвинской свиты. Мощность лептитовых прослоев - 3-6 м. Д.С. Желубовский /42/ относил лептиты к биотитовым парасланцам. Мощность толщи древнейших эфузивов, срезаемых гранитами рапакиви, здесь неполная и составляет 65 м. По внешнему виду лептиты представляют собой серые тонкополосчатые сливные породы, в которых кварц-плагиоклавые и кварцевые прослои чередуются с полосами, насыщенными буроватым биотитом. Мощность полос варьирует в пределах миллиметров и сантиметров. Простижение полосчатости 310°СВ , падение вертикальное, либо юго-западное под углом 70° под граниты рапакиви. Наличие многочисленных параллельных кварцевых слойков придает породе фельзитовый облик. Лептиты рвутся гранитами рапакиви, в последних присутствуют остроугольные ксенолиты лептитов - размером 2x3 см в поперечнике. Во вмещающих лептитах контактные изменения еле заметны. Они выражены слабым окварцеванием и мусковитизацией. Структура лептитов афировая с микропойкилитовой структурой основной массы. Последняя состоит из зерен кварца размером 0,8-1 мм, содержащих включения микропризматических кристаллов хлоритизированного альбита. В межзерновых пространствах кварца развивается калиевый полевой шпат, а на отдельных участках выделяются скопления зерен хлоритизированного плагиоклаза (альбит-олигоклаза). Буровато-коричневый биотит, группируясь в прослои, обуславливает флюидальную текстуру, которая подчеркивается наличием многочисленных кварцевых прослоев в мощность 2-5 см. Лептит состоит (в %) из плагиоклаза (альбит и альбит-плагиоклаза) - 35, кварца - 50, биотита - 10, калиевого полевого шата, мусковита - 5 и рудного минерала, рассеянного в породе. Аксессорные минералы представлены апатитом и турмалином, ассоциирующими с кварцем.

Альбит-кварцевый состав эфузивов и свойственные им микропойкилитовые структуры позволяют сопоставить их с геллефлинтами Центральной Швеции.

В работах Д.С. Желубовского /42/ и В.А. Соколова /7/ кристаллические сланцы Кавадъярви, несмотря на наличие в них микропойкилитовых и афировых структур, относились не к лавам, а к парасланцам, ороговикованным в контакте с гранитами рапакиви.

При сопоставлении химического анализа кварц-биотитовых сланцев Кавадъярви с химическим анализом кварцевых порфиров Свекофенской зоны Южной Финляндии устанавливается их сходство по основным компонентам (табл.2), что также указывает на возможную принадлежность кварц-биотитовых сланцев к группе кислых эфузивов.

Таблица 2

№/п	SiO ₂	TiO ₂	Al ₂ O ₃	Fe ₂ O ₃	FeO	MnO	CaO	MgO	K ₂ O	Na ₂ O ₃	п.п.п	H ₂ O	Σ
1	67,63	0,52	15,73	0,96	3,86	0,08	1,38	2,19	3,72	3,25	1,05	0,16	100,13
2	67,58	0,67	16,71	1,04	2,52	0,06	1,32	3,80	3,14	2,82	0,47	0,07	96,20

1 - кварц-биотитовые сланцы района Кавадъярви /42/

2 - кварцевый порфир Свекофенской зоны /8/

Двуправковые кристаллические сланцы района р. Тулемайоки и д. Гилькожи. В русле р. Тулемайоки близ моста у д. Гилькожи наблюдаются выходы двупироксеновых кристаллических сланцев, падающих под углом 30–40° на юго-запад под граниты рабакиви. Аналогичные сланцы вскрыты – д. Гилькожи в ряде скважин 1954–1955 гг. (см. табл. I). Макроскопически это тонкополосчатые зеленовато-серые породы, с чередующимися темными и зеленоватыми слойками мощностью от 1–2 мм до 2 см. Зеленоватые прослои состоят из пироксенов (25–30%) (моноклинного пироксена и гиперстена) и мелких зерен серицитизированного пластика из ряда андезина (55–65%). Структура зеленоватых прослоев аллотриоморфозернистая, в участках развития пироксенов с пойкилитовыми вростками пластика – пойкилитовая. Зеленоватые прослои по минералогическому составу, пойкилитовым и аллотриоморфозернистым структурам соответствуют пироксеновым метаандезитам. Темные полосы насыщены амфиболом до 20%. Амфибол представлен бурой и зеленой обыкновенной роговой обманкой и актинолитом. Структура меланократовых прослоев – гетеронематобластовая. Рудный минерал в виде мелких зерен приурочен к пироксену. Карбонат развивается по пироксену в ассоциации с пренитом и хлоритом. Аксессорные минералы представлены сфеном и апатитом.

В пологолежащих кристаллических сланцах наблюдается поперечное смятие. К поперечным полосам смятия, ориентированным под углом 30–40° к основной полосчатости, приурочено интенсивное окварцевание. На пересечении основной полосчатости и полос смятия образуются овальные стяжения размером до 10 см по длинной оси, сложенные амфиболизированным моноклинным пироксеном и гиперстечом (58%), серицитизированным пластика из ряда андезина (30%), обыкновенной роговой обманкой, замещающейся актинолитом (10%) и незначительным количеством рудного минерала. Наличие в кристаллических сланцах р. Тулемайоки полос гиперстеновых метаандезитов со свойствен-

ными им аллотриоморфозернистыми и пойкилитовыми структурами, дает основание относить кристаллические сланцы к метаморфизованным эфузивам преимущественно среднего состава.

Кристаллические сланцы близ д. Палалахты имеют облик полосчатых, местами плойчатых плотных, тонкозернистых пород, в которых видны темные и светлые "слои течения". Простижение "слоев течения" меняется от 40 до 80° СВ и падают они на юго-восток под углом 60–70°. Светлые прослои состоят из полигонально очерченных зерен андезина № 30 и зерен кварца, образующих торцовую структуру. Наряду с торцовыми встречаются порфировидные структуры, обусловленные наличием в основной массе вкрапленников андезина, ориентированных по направлению полосчатости. Андезин и кварц составляют 30–40%. Амфибол – зеленая роговая обманка и актинолит составляют 50–60% и вместе с пластинами коричневого биотита группируются в тонкие меланократовые слойки со свойственной им лепидогранонематобластовой структурой. Моноклинный пироксен-диопсид в реликтовых зернах присутствует в амфиболе в количестве 3–5%. Аксессорные минералы представлены сфеном и апатитом. Рудный минерал в виде пыли распределен по всей породе. Присутствие в кристаллических сланцах д. Палалахты порфировидных структур и тонких полос кварц-андезинового и амфиболового состава может указывать на принадлежность их к взаимопересящающимся эфузивам среднего и основного состава. Мощность толщи сланцев, вскрытых в районе д. Палалахты скважинами 1954 г., составляет 250–300 м (см. табл. I). Кристаллические сланцы д. Палалахты залегают на гнейсогранитах, находящихся в 8-ми метрах к северу от их выходов. Каких-либо эндоконтактных изменений в гнейсогранитах не наблюдается. В самих же эфузивах имеет место развитие наряду с порфировидными роговико-вых структур, указывающих на кристаллизацию их под влиянием больших температур.

Двуправковые кристаллические сланцы района оз. Синемуксы вскрыты скв. I на глубине 250 м в восточном крыле Синемукской структуры. По данным бурения приведен следующий разрез (сверху вниз):

- | | |
|---|-----|
| 1. Горизонт карбонатных пород синемукской свиты | |
| 2. Зона нарушения с жилами грейзенированного лейко-кратового гранодиорита | 7 м |
| 3. Пироксеновый кристаллический сланец (по эфу-зиву) | 5 м |
| 4. Грейзен | 2 м |

5. Грейзенизированный гранит 10 м
 6. Пироксеновый кристаллический сланец (по эфузиву) 10 м

В 2-х км к северо-востоку от скв. I в скв. 2 (1964 г.) установлены архейские гнейсо-граниты, в которых гнейсовидность согласна с направлением полосчатости кристаллических сланцев. Пироксеновый кристаллический сланец – зеленоватая порода афанитового сложения. Текстура полосчатая, обусловлена ориентированной удлиненных зерен пироксена и табличек плагиоклаза в одном направлении. Структура мостовидная, за счет развития зерен плагиоклаза с полигональными ограничениями, в местах развития крупных, до 1-2 мм в длину, кристаллов пироксена, переполненных включениями табличек плагиоклаза – пойкилитовая. Меланократовые прослои состоят (в %) из амфибола – 35, пироксена (диопсид либо гиперстен) – 5, плагиоклаза Ab_{46} – 35, биотита – 10, карбоната – 15. Лейкократовые прослои на 60-70% сложены андезином № 32-45, диопсидом – 10-20%, гиперстеном – 10% и красновато-бурым биотитом – 10%. В отдельных прослоях вместо андезина находится лабрадор. Иногда в породе присутствует кварц до 15%. Аксессорные минералы – апатит и сфен. Вторичные изменения кристаллических сланцев – слабая серицитизация и карбонатизация плагиоклаза, замещение пироксена амфиболом, биотитом и хлоритом. В меланократовых прослоях зеленовато-бурая роговая обманка осветляется и замещается синевато-зеленой роговой обманкой и карбонатом.

Породам толщи свойственны текстуры течения – линейность, полосчатость и местами сохранившиеся микропойкилитовые, афировые и порфировидные структуры. Описанные породы облекают гнейсограниты основания. Совокупность этих признаков позволяет определить их как древнейшие лавы. Среди них выделяются лептиты – древнейшие метаморфизованные кислые эфузивы, двупироксеновые, гиперстеновые и амфиболовые кристаллические сланцы с реликтами порфировидных и пойкилитовых структур, образовавшиеся по средним и, частично, по основным эфузивам.

Характерной особенностью рассматриваемых пород является их полиметаморфический характер. Большая часть пород, относимых к палалахтинской толще сланцев претерпела по крайней мере двухкратный метаморфизм: более ранний гранулитовый и более поздний – амфиболовый. Кроме того, в ряде мест встречаются минеральные ассоциации с эпидотом и серицитом, свидетельствующие о еще более низкотемпературных процессах метаморфизма.

Палалахтинская толща по петрографическому составу и положению в разрезе может быть сопоставлена с гиперстеновыми сланцами Северо-Западного Приладожья (например, район Койонсари, где они

слагают низы разреза, залегая в ядре антиклинальной структуры). В.А.Глебовицким эти породы рассматриваются аналогами сортавальской серии ладожского комплекса. В тех разрезах, где палалахтинская толща представлена преимущественно кислыми вулканитами (лептитами), она имеет много общего с нижними частями разреза свекофенния Центральной Швеции, где наряду с осадочными породами (карбонатными и железистыми кварцитами) преобладающими являются кислые вулканиты (лептиты) /5/. Близкий разрез имеет и свекофенний Южной Финляндии. В районе Ориярви, например, в разрезе преобладают лептиты, которые переслаиваются с амфиболитами и кальцитовыми гнейсами (известковистыми песчаниками).

В Центральной Швеции и Южной Финляндии в лептитовой формации располагаются месторождения железных, колчеданных полиметаллических и медно-колчеданных руд (Фалун, Гренгесберг, Сала и др. в Центральной Швеции; Ориярви, Айала – в Финляндии).

Учитывая перспективность древнейших эфузивов на поиски связанных с ними медно-колчеданных руд, а также их особый антиактуалистический характер, выделяем эти образования в самостоятельную толщу.

Древнейшие эфузивы на территории листа пространственно тесно ассоциируют с архейскими гнейсо-гранитами основания. Вместе с ними они трансгрессивно перекрываются карбонатно-терригенными и вулканогенно-терригенными образованиями синемукской и коватъярвинской свит, принадлежащими к нижнепротерозойской подгруппе. На основании указанных соотношений пород, возраст древнейших эфузивов условно определяется как архейско-нижнепротерозойский (верхнеархейский). Это положение находится в соответствии с представлением И.А.Гиляровой /30, 31/ относительно докарельского (верхнеархейского) возраста лептитовых пород района оз. Кавадъярви.

ПРОТЕРОЗОЙСКАЯ ГРУППА

В пределах описываемой площади протерозойские осадочно-вулканогенные и осадочные метаморфические комплексы пород представлены образованиями нижней и средней подгрупп.

НИЖНЯЯ ПРОТЕРОЗОЙСКАЯ ПОДГРУППА

Гимольско-парандовская серия

На территории листа гимольско-парандовская серия представлена метаморфизованными породами синемукской, коватъярвинской, хаутоварской и ялонварской свит.

Синемукская свита ($PR_1 \sin$)

Породы выделенной нами синемукской свиты распространены в северной и южной части листа, где они слагают нижние горизонты Чалкинско-Ведлозерского, Улялегского и Синемукского синклинальных прогибов. В синемукской свите выделяются два типа разрезов: терригенно-вулканогенный и терригенно-карбонатный. Терригенно-вулканогенный тип разреза устанавливается в северной половине листа, в Чалкинско-Ведлозерском и Улялегском прогибах. Терригенно-карбонатный тип - в южной части листа, в Синемукском прогибе. Ниже приводится описание выделенных типов разрезов.

Терригенно-карбонатный тип разреза. Послойное описание разреза приведено нами по скв. I (1964 г.), расположенной в 4 км к северо-востоку от оз. Синемука. Скв. I вскрывает четвертичные отложения мощностью 104 м. Ниже наблюдаются кристаллические породы:

I. Кора выветривания по гранитной жиле плагиоклаз-микроклинопертитового состава

1 м

2. Каолинитовая кора выветривания на биотит-кордиеритовых сланцах

8 м

3. Глинисто-гематитовый прослой

1 м

4. Рыхлая зона выветрелых кордиерито-биотитовых сланцев. Мощность коры выветривания

18 м

5. Кордиерит-биотитовые и гранат-биотитовые кристаллические парасланцы с вкрапленностью пирита

6 м

6. Гиперстеновые и двупироксеновые тонкополосчатые кристаллические сланцы по эфузивам среднего состава

4 м

7. Биотит-кордиеритовый парасланец, метасоматически измененный

21 м

8. Пироксен-гранат-плагиоклазовый скарн

4 м

9. Биотит-кордиеритовые и гранат-кордиерит-биотитовые мигматизированные кристаллические парасланцы

32 м

Мощность толщи кристаллических парасланцев

67 м

10. Плагиоклаз-кордиерит-силлиманитовый скарн со шпинелью

1 м

11. Горизонт скарнированных мраморизованных доломитизированных известняков, в подошве превращенных в tremolit-актинолитовый скарн

36 м

Мощность толщи синемукской свиты 122 м

12. Тектоническая зона с приуроченными к ней прожилками грейзенизированного пегматита, сиенита и лейко-

кратового гранодиорита	7 м
13. Гиперстеновые и двупироксеновые кристаллические сланцы по эфузивам среднего состава	5 м
14. Грейзенизированные граниты и грейзены	12 м
15. Двупироксеновые и гиперстеновые кристаллические сланцы по эфузивам среднего состава	10 м
Мощность Палалахтинской толщи 34 м.	
Мощность всего терригенно-карбонатного типа разреза	153 м
В верхней части разреза развивается дочетвертичная каолинитовая кора выветривания по биотит-кордиеритовым сланцам и секущим их гранитным жилам. Коры выветривания на гранитной жиле имеет вид желтовато-буровой каолинизированной массы с зернами микроклинопертита и кварца. Плагиоклаз полностью замещен гидросерицитом и каолинитом. Биотит превращен в бесцветную гидрослюду. В участках сохранивших очертания зерен плагиоклаза видны реликты гранитной структуры. Коры выветривания по биотит-кордиеритовым сланцам образована красно-бурым рыхлым материалом. Рыхлый материал состоит из каолинита, гидратизированного биотита, зерен кварца и зерен кордиерита, замещенного серофитом. Вся порода насыщена пелитовыми частицами гидроокислов железа. Возраст каолинитовой коры, перекрываемой флювиогляциальными отложениями, дочетвертичный. На глубине 18 м под корой выветривания находится кордиерит-биотитовые, гранат-кордиерит-биотитовые и гранат-биотитовые парасланцы. Мощность толщи парасланцев с учетом мощности коры выветривания составляет 85 м.	
Кордиерит-биотитовые, гранат-кордиерит-биотитовые и гранат-биотитовые сланцы представляют собой серые полосчатые породы с лепидогранобластовой, а в участках развития порфиробласт кордиерита и граната - порфиробластовой структурами. Размер зерен варьирует от 0,1 до 0,3 мм в поперечнике. Текстура сланцеватая, полосчатая, ширина полосок 5-10 см. Светлые полоски кордиерит-кварц-плагиоклазового состава чередуются с серыми слойками, насыщенными биотитом. Сочетание крупных и тонких слойков придает парасланцам флишоидный характер. Парасланцы состоят (в %) из кордиерита - 15-30, андезина № 37 - 30-50, кварца - 25-50, красновато-коричневого биотита - 15-30, граната и рассеянных рудных минералов: пирита, пирротина, халькопирита, гематита, ильменита и магнетита. Аксессорные минералы представлены апатитом, цирконом и овальными зернами монацита. Толща кристаллических парасланцев подстилается горизонтом мраморизованных доломитизированных известняков.	

Горизонт доломитизированных известняков мощностью 36 м залегает в нижней части разреза синемукской свиты, перекрывая изменившиеся эфузивы палалахтинской толщи. Доломитизированный известняк представляет собой голубовато-зеленоватую породу мелко и среднезернистого сложения с размером зерен 0,5-1,5 мм. Известняк серпентинизирован и участками превращен в серпентин-тремолитовый скарн. Структура его гранобластовая, глициобластовая. Порода состоит (в %) из зерен кальцита и доломита - 50, серпентина - 10, замещающего оливин, оливина - 10, образующего мелкие 0,1-0,6 мм зерна на фоне мелкозернистого доломита, флогопита - 15, диопсида и тремолита - 15. В подчиненных количествах имеется хлорит, замещающий флогопит, и зерна бесцветного и розового граната. Из аксессорных минералов встречаются алатит, циркон и рутил. Полный химический анализ штучной пробы доломитизированных известняков дает следующий их состав (в %): SiO_2 - 1,24, TiO_2 - 0,079, Al_2O_3 - 0,26, Fe_2O_3 - 0,01, FeO - 0,25%, MnO - 0,21, CaO - 31,26, MgO - 21,44, K_2O - 0,15, Na_2O - 0,10, п.п.п. - 45,21, H_2O - 0,06, P_2O_5 - 0,03, Σ - 100,29 (анализ выполнен 26 марта 1965 г. в Центральной лаборатории СЗТГУ аналитиком В.Д.Филоновой).

Возраст пород синемукской свиты устанавливается как ранний нижнепротерозойский. Основанием к этому служит залегание ее на архейско-нижнепротерозойских породах палалахтинской толщи, наблюдаемое в скв. I, и пересечение ее жилами нижнепротерозойских гранитов.

Флишоидный характер кристаллических парасланцев и наличие в них прослоев карбонатных пород позволяют сделать вывод о терригенно-хемогенном характере отложений синемукской свиты в данном разрезе. Отличительной особенностью седиментации являлось наличие в осадках значительных количеств глинозема, свидетельствующих, возможно, о существовании в то время процессов интенсивного выветривания гнейсо-гранитов и облекающих их древнейших эфузивов. Мельчайшие зерна плагиоклаза-андезина № 37-46, являющиеся одним из главных компонентов сланцев, в стадии осадка, как полагает Х.Вяяроянен /4/, представляли переотложенный в бассейне пепловый туф. Выбросы последнего сопровождали затухающие излияния древнейших андезитовых и андезито-базальтовых лав, редкие прослои которых в виде двупироксеновых сланцев присутствуют среди парасланцев синемукской свиты в разрезе скв. I.

Породы синемукской свиты представляют собой полиметаморфические образования. Присутствие гранулитового метаморфизма устанавливается на основании присутствия минеральной ассоциации: плагиоклаз-гиперстен-моноклинный пироксен-кварц. Кроме того,

для глиноземистых сланцев обычна ассоциация кордиерита и граната, а для карбонатных пород - кальцит-оливин-диопсид. Обе ассоциации устойчивы в условиях как амфиболитовой, так и гранулитовой фации. Для парасланцев характерно развитие микрогранобластовых мелкозернистых структур и сохранившихся слоистых структур. Более поздние изменения обусловлены явлениями калиевого и кварцевого метасоматоза. В нижних горизонтах толщи парасланцев наблюдается мигматизация; вместе с поздним кварцем появляется микроклин в количестве от 5 до 40%, корродирующий зерна плагиоклаза, кордиерита и граната. В верхних горизонтах проявлены низкотемпературные гидротермальные изменения: серпентинизация, хлоритизация и серицитизация. Характерно развитие кварца вдоль сланцеватости и в трещинах катаклаза, часто выполненных переотложенными серпентинитом, хлоритом, рудными минералами и карбонатом. Явления мигматизации и кварцевого метасоматоза, возможно, следует связывать с ранними нижнепротерозойскими гранитами, жилья которых в рассматриваемом типе разреза секут синемукскую свиту.

Терригенно-вулканогенный тип разреза синемукской свиты описан в северной части листа, где сланцево-вулканогенные породы выполняют Улялегский синклинальный прогиб и развиты в краевых зонах Чалкинско-Ведлозерского прогиба. По данным Д.С.Желубовского /10/, изучавшего район с.Улялеги М.Е.Зильбера /44/ и А.И.Ивановой /46/, обследовавших Хаутоварский, Хюрсюльский и Ведлозерский участки, на этих площадях развиты толща амфиболитов и амфиболовых сланцев, переслаивающихся с биотит-амфиболовыми, гранат-биотит-амфиболовыми и графитистыми сланцами. В нижней части разреза А.И.Ивановой /46/ и М.Е.Зильбером /44/ в районе оз. Ведлозера были установлены маломощные (0,5-10 м) прослои карбонатных пород. В подошве толщи, у контакта с гнейсо-гранитами или с древнейшими метаморфизованными эфузивами, располагаются амфиболовые и биотит-амфиболовые кварциты, переслаивающиеся с цоизитовыми и эпидот-цоизитовыми плагиосланцами. Ориентировочная мощность сланцевой толщи составляет 250-300 м. Различные по составу сланцы представляют собой темно-серые и зеленовато-серые тонкополосчатые сланцеватые породы. Полосчатость и сланцеватость повторяют контуры перекрываемых ими гнейсогранитных массивов, в связи с чем простирание этих элементов варьирует от меридионального до широтного и падение их меняется в различных румбах при углах 70-80°. Амфиболовые, биотито-амфиболовые и гранато-биотитовые сланцы обладают нематобластовой, тонкогранобластовой и порфиробластовой структурами. В амфиболовых сланцах присутствуют обыкновенная зеленая роговая

обманка, олигоклаз-андезин и в небольших количествах биотит, гранат, цоизит, сфен, рутил и лейкоксен. Биотит-амфиболовые и гранат-биотитовые сланцы в значительных количествах (до 20%) содержат гранат-альмандин. Амфиболиты в виде пластовых тел мощностью от 0,5 до нескольких метров встречаются среди сланцев в верхней части разреза. Они представлены мелкозернистыми и порфиробластическими разновидностями. Мелкозернистым амфиболитам свойственны нематобластовая и микрогранонематобластовая структуры. Состав (в %) они из актинолита - 60-70, альбита и плагиоклаза ряда альбита-олигоклаза - 30-40. Из второстепенных минералов присутствуют биотит, гранат, лейкоксен и сфен. Порфиробластические амфиболиты - темно-серые рассланцованные породы, обладающие бластомилонитовой и порфиробластической структурами. Последняя обусловлена наличием сетчатых порфиробласт обыкновенной роговой обманки среди мелкозернистой массы олигоклаза, альбита, кварца, цоизита, эпидота и амфибала. Прослои биотит-амфиболовых кварцитов мощностью 3-10 м, содержащие вкрапленность магнетита и пирротина, встречены в северной части листа, где они окаймляют массив габброидов Вистуккалампи. По внешнему виду это тонкослоистая массивная порода, состоящая из биотит-амфиболовых амфиболовых и кварцитовых слойков мощностью 2-8 см. Структура их микрогранобластовая, нематогранобластовая, в кварцитовых прослоях - яшмовидная.

Возраст пород сланцевой толщи устанавливается как ранний нижнепротерозойский. Основанием к этому служит залегание их как на архейских гнейсо-гранитах фундамента, наблюдаемое в краевых зонах Чалкинско-Ведлозерской структуры (см. геологическую карту), так и на древнейших эфузивах палалахтинской толщи, что установлено бурением западнее оз. Ведлозера в районе хут. Григорьева Е.П. Молотковой /22/ и в районе Хюрсюля Е.М. Михайлук /55/. Вверх по разрезу биотит-амфиболовые сланцы и амфиболиты сменяются метадиабазами и зелеными сланцами хаутоварской свиты.

Наличие прослоев карбонатных пород и тонкополосчатых (ритично-слоистых) текстур позволяют установить седиментогенный генезис толщи. Мелкозернистая масса сланцев, образованная, в основном зернами олигоклаза и андезина, носит туфово-граувакковый характер. Яшмовидные кварциты в основании разреза могли образоваться в результате осаждения вулканических эксгалаций. Тела сланцеватых амфиболитов, наблюдающиеся в верхней части разреза свиты, можно рассматривать как силлы, связанные с начальной стадией внедрения пород спилитовой формации. Совокупность указанных признаков позволяет относить породы сланцевой

толщи к ранним вулканогенно-терригенным образованиям нижнего протерозоя.

Для пород сланцевой толщи свойственно развитие микрогранобластовых и микронематогранобластовых структур. Характерные прагенетические ассоциации: плагиоклаз (олигоклаз-андезин), эпидот и обыкновенная роговая обманка соответствуют эпидот-амфиболовой фации метаморфизма.

Корреляция разреза терригенно-вулканогенной толщи Чалкинско-Ведлозерского прогиба с разрезом терригенно-карбонатной толщи Синемукского прогиба. Терригенно-вулканогенная и терригенно-карбонатная толщи выполняют соединяющиеся между собой Синемукский, Чалкинско-Ведлозерский и Улялегский синклинальные прогибы. В районе оз. Ведлозера происходит фациальный переход от терригенно-карбонатных пород, развитых в районе оз. Синемуксы, к породам терригенно-вулканогенной толщи Улялегского и Чалкинско-Ведлозерского прогибов. Сопоставление этих образований базируется на следующих данных (рис. I). Терригенно-вулканогенная сланцевая толща, развитая в Чалкинско-Ведлозерском прогибе, залегает преимущественно на гнейсо-гранитах основания. В районе д. Хюрсюля, по данным Е.М. Михайлук /55/, она перекрывает породы палалахтинской толщи (лептиты и породы типа кинцигитов); на юге, в районе хут. Григорьева, терригенно-вулканогенная сланцевая толща ложится на пироксеновые сланцы, аналогичные кристаллическим сланцам (древнейшим эфузивам) палалахтинской толщи. Распространенная южнее оз. Ведлозера терригенно-карбонатная сланцевая толща перекрывает древнейшие эфузивы палалахтинской толщи. Залегание терригенно-карбонатной и терригенно-вулканогенной сланцевых толщ на архейско-нижнепротерозойских эфузивах и на гнейсо-гранитах основания может свидетельствовать об одновременном формировании обеих свит в различных структурно-фациальных зонах и о трансгрессивном характере их залегания.

Коватъярвинская свита ($PR_1 \frac{hv}{\lambda}$)

Коватъярвинская свита была выделена Д.С. Желубовским /42/ в районе оз. Кавадъярви. По Д.С. Желубовскому свита сложена карбонатными породами и биотитовыми парасланцами. При изучении района оз. Кавадъярви бурением Е.П. Молотковой /53/ было выделено, что карбонатные породы согласно перекрываются толщей карбонатных, кварцево-серicitовых, амфиболовых и графитистых слан-

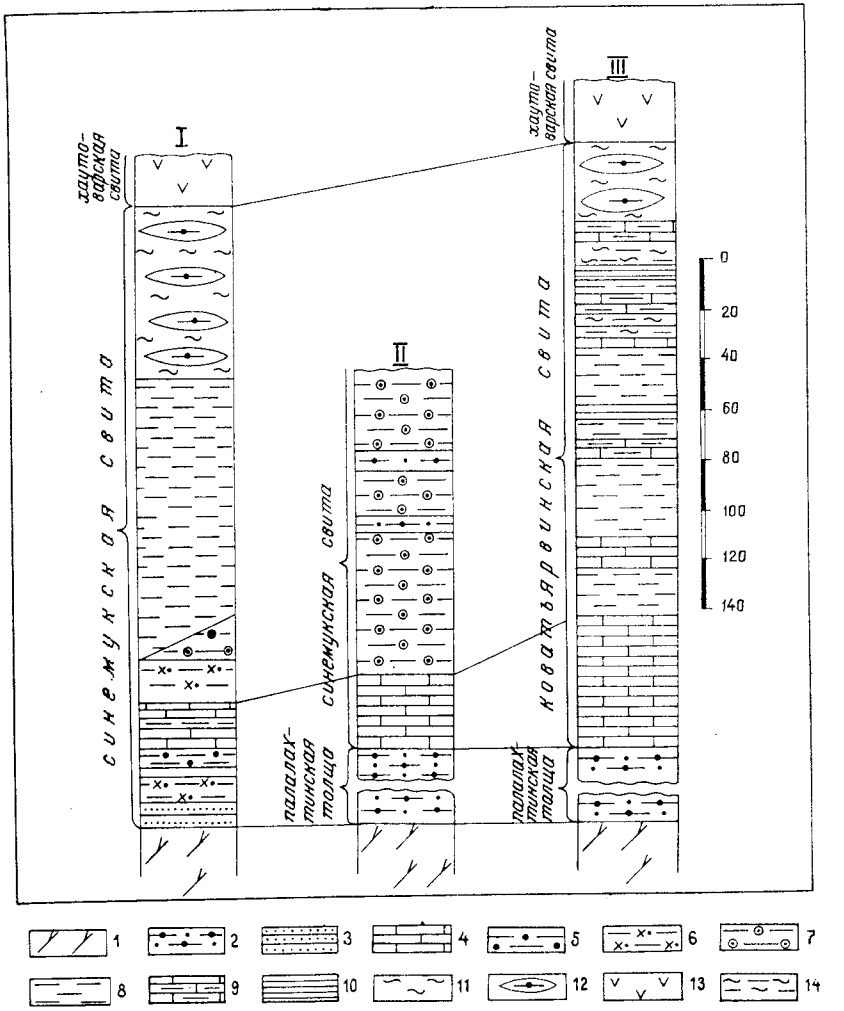


Рис. I. Корреляция разрезов синемукской и коватъярвинской свит

1 - гнейсо-граниты основания, 2 - лептиты, амфиболовые и дву-пироксеновые кристаллические сланцы, 3 - биотит-амфиболовые кварциты, 4 - доломитизированные известняки и доломиты, 5 - гранат-биотитовые сланцы, 6 - цоизитовые и цоизит-эпидотовые сланцы, 7 - кордиерит-биотитовые сланцы, 8 - биотитовые и биотит-амфиболовые сланцы, 9 - карбонатные сланцы, 10 - графитистые сланцы, II - амфиболовые сланцы, I2 - порфиробластические и сланцеватые амфиболиты, I3 - метадиабазы (спилиты), I4 - кварц-серicitовые сланцы.
 I - разрез в районе Чалкинско-Бедлозерского синклинального прогиба; II - разрез в районе Синемукского прогиба (в 4-х км к северо-востоку от оз. Синемуксы); III - разрез в районе оз. Ка-гадъярви

цев. Карбонатные породы и сланцы, аналогичные коватъярвинским, были обнаружены южнее бурением в 4 км к востоку от д. Палалахты и нами близ оз. Хисъярви, где они были описаны в 1964 г. при редакционно-увязочных маршрутах. С учетом этих данных мы несколько изменили прежний объем коватъярвинской свиты за счет присоединения к ней толщи карбонатных, кварц-серicitовых и графитистых сланцев. Помимо этого, из состава коватъярвинской свиты исключены биотитовые сланцы, описанные Ю.С. Желубовским. Они отнесены автором записи к палалахтинской толще архейско-нижне-протерозойского возраста.

Образования коватъярвинской свиты слагают южную и юго-западную часть нижнепротерозойской, опрокинутой на северо-восток, Коватъярвинской синклинали, сложенной сланцами и карбонатными породами, круто падающими на юго-запад под углом 80–85°. С учетом имеющихся данных, сводный разрез коватъярвинской свиты имеет следующий вид (сверху вниз):

- I. Толща кварцево-серicitовых, карбонатных, графитистых и амфиболовых сланцев 150–200 м
 2. Зеленовато-серые полосчатые доломиты 50–70 м
- Мощность свиты 200–270 м.

Верхние горизонты свиты сложены взаимопереслаивающимися карбонатными, кварц-серicitовыми, амфиболовыми и графитистыми сланцами, обладающими тонкой ритмичной полосчатостью. Среди сланцев изредка встречаются маломощные (5–10 м) пластовые тела метадиабазов и сопровождающие их зеленые сланцы. Кварц-серicitовым и карбонатным сланцам свойственны микрогранобластовые и микролепидогранобластовые структуры. Карбонатные сланцы состоят (в %) из зерен кальцита – 45, кварца – 30, чешуек хлорита – 25, мусковита и рутила. Кварцево-серicitовые сланцы образованы серicitом – 80%, кварцем – 10–15% и темно-коричневым биотитом – 5–10%. Рудный минерал – пирротин. Кварц в сланцах присутствует в мелких зернах и в небольших линзовидных скоплениях. В многочисленных прослоях кварц-серicitовые сланцы насыщены графитом либо альбитом, в связи с чем возникают их графитистые и кварц-серicit-альбитовые разновидности. Спектральным анализом в графитистых сланцах, содержащих вкрапленность пирротина, установлены повышенные, по сравнению с клярковыми, содержаниями (в %): меди – 0,01 и титана – 1.

Горизонт карбонатных пород сложен пачкой зеленовато-серых скарнированных доломитов. Зеленовато-серые ритмично-слоистые доломиты вскрываются в главном карьере месторождения Коватъярви и в обнажениях, описанных на этом участке Ю.С. Желубовским /42/

и В.В.Яковлевой (1964 г.). Ритмичная слоистость обусловлена чередованием темных и светлых прослоев мощностью от мм до десятков сантиметров. Простижение слоистости 320° СЗ, падение на юго-запад под углом 70° . Светлые прослои сложены скарнированным голубовато-серым доломитом. Процесс скарнирования проявляется в образовании вдоль плоскостей напластования серпентина, замещающего оливин. По этим же направлениям развиваются скопления эпидота диопсида, тремолита и возникают прослои звездчатых тремолит-диопсидовых скарнов, к которым приурочены залежи сфалерит-магнетитовых руд месторождения Коватъярви. Д.С.Желубовский /39/ связывал оруденение с гранитами рапакиви, в то время как М.А.Гилярова /30, 31/ источником руд считала докарельские (наши нижнепротерозойские) граниты. Тесная ассоциация карбонатных пород с толщей древнейших эфузивов (AR-PR₁), сопоставляемых с рудоносной лептитовой серией Швеции, а также пассивность магмы рапакиви в отношении рудообразования вследствие их "сухости" /63/, позволяет автору присоединиться к мнению М.А.Гиляровой /31/.

Пачка зеленовато-серых скарнированных доломитов на участке оз.Кавадъярви подстилается лептитами, которые вместе с ними рвутся гранитами рапакиви.

Возраст свиты устанавливается как нижнепротерозойский. Основанием к этому служит наличие коры выветривания на карбонатных и серицитовых сланцах, слагающих верхние горизонты свиты, которые перекрываются аркозами и кварцito-песчаниками нижней подсвиты туломозерской свиты. Подобные соотношения указанных пород и кора выветривания на крутопадающих карбонатных и кварцево-серицитовых сланцах, наблюдаются в восточном крыле Туломозерской мульды, где они были описаны нами в процессе проведения контрольных маршрутов 1964 г. В.А.Соколов /7/, относя породы Коватъярвинского района к нижнему протерозою, сопоставлял биотитовые сланцы (лептиты) с ладожскими парасланцами, а карбонатные породы и метадиабазы относил к сортавальской серии. В связи с тем, что биотитовые сланцы по мнению авторов данной записки оказались не парасланцами, а архейско-нижнепротерозойскими (по М.А.Гиляровой /31/, верхнеархейскими) лептитами, то представляется более целесообразным относить перекрывающие их образования коватъярвинской свиты к самому раннему нижнему протерозою.

Присутствие горизонта доломитов в основании сланцевой толщи и наличие в ней ритмичной слоистости свидетельствует об осадочном происхождении слагающих ее пород. Вначале отлагались хемогенные осадки – доломиты. Затем происходил привнос пепловых

туфов, осаждавшихся в бассейне вместе с тонкозернистым терригенным материалом. В результате возникали флишоидные туффиты, которые под влиянием процессов метаморфизма превратились в сланцы различного состава. К сланцам осадочно-туфогенного происхождения можно отнести кварц-серицит-альбитовые сланцы. Сланцы осадочного генезиса представлены взаимопересялаивающимися тонкополосатыми карбонатными, графитистыми и кварц-серицитовыми новидностями.

Породам свиты свойственны различные парагенетические ассоциации, свидетельствующие о двух этапах метаморфизма. В горизонте карбонатных пород имеют место две ассоциации: ранняя и поздняя. Ранняя представлена кальцитом-оливином-диопсидом, что соответствует амфиболитовой фации регионального метаморфизма. Поздняя ассоциация: серпентин-актинолит отвечает фации зеленых сланцев. Низкотемпературные изменения доломитов второго этапа метаморфизма, возможно, происходили под влиянием водных растворов, связанных с позднее внедрившимися спилитами хаутоварской свиты. Преобладание в сланцах ассоциации зелено-сланцевой фации (кварц-серицит-альбит-карбонат) свидетельствует о его широком развитии.

Корреляция пород синемукской и коватъярвинской свит (см. рис. I) возможна на основании следующих данных. Свиты выполняют соединяющие между собою Чалкинско-Ведлозерский, Коватъярвинский и Синемукский нижнепротерозойских лептитах и кристаллических сланцах по древнейшим эфузивам.

Наличие единого карбонатного горизонта в основании синемукской и коватъярвинской свит позволяет предположить их одновременное образование. После формирования карбонатных пород, в Коватъярвинском прогибе нарастал спилитовый вулканизм, предопределивший накопление осадочно-туфогенной сланцевой толщи. В то же время в более обширном Синемукском прогибе, сразу после образования карбонатных пород начали отлагаться терригенные глиноземистые осадки. В процессе метаморфизма, в условиях амфиболитовой фации, они были преобразованы в кордиерит-биотитовые, и гранат-биотитовые сланцы. В Чалкинско-Ведлозерском прогибе происходило накопление граувакко-сланцевых толщ, фациальный характер которых предопределялся проявлением спилитового вулканизма. Приведенное сопоставление разрезов позволяет нам рассматривать коватъярвинскую свиту как возрастной аналог синемукской свиты.

Хаутоварская свита (PR_1, ℓ_1)

Хаутоварская свита, представленная породами спилитовой формации и комплексом туфогенных и туфогенно-осадочных сланцев, распространена в центральной части Чалкинско-Ведлозерского и в северо-восточной части Коватъярвинского синклинальных прогибов. В районе оз. Кавадъярви она перекрывает сланцевую толщу коватъярвинской свиты, а в Чалкинско-Ведлозерском синклинальном прогибе, в районе северо-западнее ст. Хаутоваара и в других местах, ложится на биотит-амфиболовые сланцы синемукской свиты, либо текстурически надвинута на гнейсо-граниты. Сводный разрез свиты составлен З.А.Бурцевой по материалам геологоразведочных и поисковых работ Г.О.Глебовой-Кульбах /32/ и М.Е.Зильбера /44/ для территории смежного листа Р-36-ХУ в районе д.Хаутоваара. Описание сводного разреза заимствовано у З.А.Бурцевой, с дополнением его данными геологических исследований контрольных маршрутов 1964 г. В верхней части разреза развиты покровы осланцованных метадиабазов и металпорфиритов. Нижняя часть разреза сложена толщей туфогенных зеленых сланцев, содержащей редкие пластовые тела метадиабазов. Мощность свиты по данным бурения составляет 200-250 м. Метадиабазы и образовавшиеся по ним зеленые сланцы представляют собой зеленовато-серые породы афанитового сложения, обладающие микрогранонематобластовой и фибробластовой структурами. Состоят (в %) они из актинолита - 60, плагиоклаза (альбит-олигоклаза) - 30, кварца - 5, и вторичных минералов - эпидота, хлорита и карбоната. Хлорит и карбонат образуют секущие и пологие жилки. К отдельным прослойным микропроявлениям приурочены олигоклаз, кварц, пирит и пирротин. Помимо этого, пирит и пирротин в виде мельчайших зерен рассеяны по всей ткани сланца. Метапорфиты - зеленовато-серые мелкозернистые, часто афанитовые, массивные либо сланцеватые породы. Структура их бластопорфировидная, основной массы - микрогранобластовая. На фоне мелкозернистой массы, сложенной актинолитом, альбитом, биотитом, цоизитом и эпидотом, выделяются мелкие вкрапленники плагиоклаза и округлые мицелии, выполненные эпидотом и альбитом. Толща зеленых сланцев, залегающая в нижней части разреза свиты, сложена альбит-хлоритовыми, цоизит-плагиоклаз-хлоритовыми и другими разновидностями плагиосланцев. Все перечисленные сланцы находятся в тонком взаимопересяживании. Макроскопически они представляют собой зеленые тонкослоистые и тонкорассланцованные породы с микролепидогранобластовыми структурами. В состав сланцев входят

хлорит, кварц, плагиоклаз ряда олигоклаз-андезин, либо альбит-олигоклаз и минералы эпидот-циозитовой группы. В зависимости от количественных соотношений главных пордообразующих минералов и выделяются указанные выше разновидности сланцев. Второстепенные минералы представлены серицитом, кальцитом и актинолитом. В районе Хаутоварского месторождения и к востоку от него в Хаутоварско-Игнайлловской синклинали, зеленокаменные породы хаутоварской свиты перекрываются толщей сланцев и плагиопорфиров, аналогичных сланцам и плагиопорфиром верхней подсвиты ялонварской свиты, распространенной за пределами листа в районе д. Ялонваара.

Возраст хаутоварской свиты нижнепротерозойский. Верхний возрастной предел определяется по налеганию на нее сланцев и плагиопорфиров верхней подсвиты ялонварской свиты. Нижней возрастной границей является толща сланцев коватъярвинской и синемукской свит, подстилающая метадиабазы хаутоварской свиты на северо-восточном берегу оз. Кавадъярви и в районе р. Шуи северо-западнее ст. Хаутоваара. Породы хаутоварской свиты являются вулканогенными образованиями спилитового ряда, метаморфизованными в зеленосланцевой фации.

Ялонварская свита

Верхняя подсвита (PR_1, ℓ_2)

Толща сланцев и порфириодов, отнесенная к верхней подсвите ялонварской свиты, распространена в Чалкинско-Ведлозерском синклинальном прогибе, где она выполняет синклинали низшего порядка: Хаутоварско-Игнайлловскую, Ведлозерскую и Вистуккалампинскую. Разрез толщи был описан Г.О.Глебовой-Кульбах /32/ при разведке Хаутоварского месторождения серного колчедана, расположенного на территории соседнего листа.

В верхних горизонтах подсвиты развиты плагиопорфир и андезиты и частично интрузивные кератофиры. Эффузивы и кератофиры превращены в порфириоды, серицит-кварцевые сланцы и вторичные кварциты. Плагиопорфир и андезиты серого цвета, массивные, обладают порфировидной структурой. Среди мелкозернистой массы, состоящей из альбита, кварца, хлорита и биотита, наблюдаются порфировидные вкрапленники плагиоклаза размером 2x2 мм. В плагиопорфирах вкрапленники представлены олигоклаз-альбитом и альбитом, в андезитах - андезином. Отмеченные разновидности связаны между собой постепенными переходами. На контактах с вмещающими породами и в зонах тектонических нарушений плагиопорфир превращены в

порфириоиды, серицит-кварцевые и кварц-серицитовые сланцы. Порфириоиды по составу аналогичны плагиопорфирам и отличаются лишь незначительным содержанием в них вторичного кварца, альбита и микроклина. Они рассланцованны и имеют бластопорфировидную структуру с микролепидогранобластовой структурой основной массы.

Серицит-кварцевые и кварц-серицитовые сланцы представляют собой более сильно рассланцованные плагиопорфиры. Они серого и зеленовато-серого цвета, тонкозернистые и тонкополосчатой и сланцеватой текстурой. Полосчатость обусловлена чередованием прослоев, в разной степени обогащенных серицитом и хлоритом. Мощность слойков 3-5 мм. Структура сланцев гранобластовая, лепидогранобластовая. Основными породообразующими минералами являются кварц, серицит и хлорит. Из второстепенных присутствуют цоизит, актинолит, биотит и карбонат. В отдельных разновидностях сланцев наблюдаются реликты бластопелитовых и бластоалевролитовых структур и тонкое переслаивание их с графитистыми сланцами. Это свидетельствует о том, что в толще эфузивов наряду со сланцами, образовавшимися по эфузивам, присутствуют и сланцы осадочно-туфогенного происхождения.

В низах разреза залегают графит-серицит-кварцевые и графитовые сланцы, содержащие маломощные прослои кварц-серицитовых, хлорит-серицит-кварцевых сланцев, метадиабазов и плагиопорфиров. Графит-серицит-кварцевые и графитовые сланцы темно-серого цвета, мелкозернистые, тонкорассланцованные и тонкослоистые. Слоистость в них обусловлена чередованием прослоев, различно обогащенных графитом, с прослойками кварц-серицитовых сланцев. Описываемые сланцы состоят из кварца, серицита, хлорита, графита и мелкокристаллической вкрапленности пирита, пирротина, и реже халькопирита. Структура их микролепидогранобластовая, бластопелитовая и бластоалевролитовая.

К породам верхней подсвиты ялонварской свиты приурочены пирито-пирротиновые руды, промышленные залежи которых встречаются с вторичными кварцитами и серицитовыми сланцами.

Возраст свиты поздний нижнепротерозойский, устанавливается по положению ее в верхней части разреза нижнепротерозойской подгруппы. Характерно, что нижнепротерозойскими гранитами свита не рвется. Генезис ее осадочно-вулканогенный, определяется наличием в разрезе эфузивов, находящихся в переслаивании со сланцами осадочно-туфогенного происхождения, в которых имеются реликты бластоалевролитовых и бластопелитовых структур. По характерной ассоциации пород свиты: плагиопорфиры-андезиты-кварцевые порфиры, она была отнесена Г.О.Глебовой-Кульбах /32/ к кератофировой формации.

Для пород свиты свойственны минеральные ассоциации серицит-хлорит-альбит, серицит-хлорит-кварц, определяющие ее метаморфизм в условиях зеленосланцевой фации. Более поздние гидротермальные изменения, вызвавшие образование вторичных кварцитов, являются локальными и, по мнению Г.О.Глебовой-Кульбах /32/, своим возникновением обязаны процессам формирования колчеданных руд, связанных с дайками плагиопорфиров.

Сопоставление стратиграфической схемы нижнего протерозоя, принятой для территории данного листа, со схемой района смежного листа, Р-36-ХУ (автор З.А.Бурцева, редактор В.А.Перевозчикова) показывает ряд различий как в наименовании отдельных свит, так и в их последовательности.

Нижняя – синемукская свита, по объему соответствует межозерской свите, показанной на листе Р-36-ХУ. Терригенно-вулканогенные образования межозерской свиты, развитые на территории листа Р-36-ХУ, по формационному характеру резко отличаются от лептитовой серии пород межозерской свиты разреза Гимол. Поэтому представляется более верным терригенно-вулканогенную серию пород, распространенную на территории листов Р-36-ХУ и Р-36-ХХI, не соопасставлять с лептитовой серией Гимол, а отнести ее к терригенно-вулканогенным образованиям синемукской свиты. Различия в последовательности свит верхней части разреза связаны с разным пониманием геологического строения Чалкинско-Ведлозерской структуры. На территории листа Р-36-ХУ Чалкинско-Ведлозерская структура рассматривалась как простая синклиналь. Позднее было установлено более сложное ее строение; в центральной части Г.О.Глебовой-Кульбах и др. /6/ выделен ряд антиклинальных структур низшего порядка и В.В.Яковлевой /69/ – осевая линейная антиклиналь. Тем самым, в центральной части структуры выходят на поверхность не самые верхние, а нижние части разреза – метадиабазы и зеленые сланцы хаутоварской свиты. Толща кварцево-серицитовых, хлоритовых, графитистых сланцев и плагиопорфиров на территории листа Р-36-ХУ выделена под названием нижней подсвиты бергаульской свиты (b_1'). Автор данной записи для этой толщи пород считает более правильным сопоставление с ялонварской свитой (верхней подсвитой), описанной Л.Н.Потрубович на территории соседних к западу листов. Л.Н.Потрубович нижнюю часть разреза, сложенную спиллитами (метадиабазами и зелеными сланцами), выделила в нижнюю подсвиту, а верхнюю его часть, образованную толщей сланцев и порфириоидов, отнесла к верхней подсвите. Типовой разрез ялонварской свиты полностью сопоставим с разрезом серии пород, слагающих Чалкинско-Ведлозерскую структуру. При этом хаутоварская сви-

та и верхняя подсвита бергаульской свиты З.А.Бурцевой /2/ являются аналогами нижней подсвиты ялонварской свиты. Толща сланцев и плагиопорфиров, обозначенная З.А.Бурцевой /2/ как нижняя подсвита бергаульской свиты, является аналогом верхней подсвиты ялонварской свиты. Учитывая изложенное, в Чалкинско-Ведлозерском прогибе авторы записи выделяют не бергаульскую свиту, типовой разрез которой удален на сотни километров, а верхнюю подсвиту ялонварской свиты.

СРЕДНЯЯ ПРОТЕРОЗОЙСКАЯ ПОДГРУППА

К осадочно-метаморфизованным образованиям средней подгруппы относятся образования сегозерско-онежской серии, на территории листа представленные сланцево-карбонатными породами туломозерской и заонежской свит.

С е г о з е р с к о - о н е ж с к а я с е р и я

Туломозерская свита

Породы туломозерской свиты слагают окраинные части Туломозерской мульды, залегая на коре выветривания гнейсо-гранитов основания и на коре выветривания серцит-карбонатных сланцев коватъярвинской свиты. Разрез туломозерской свиты детально изучен в процессе бурения на гематит в районе рудников Режунсельга, Суонансельга и Ануфриансельга О.Н.Анищенковой /21/ и Ю.С.Желубовским /38/.

В основании свиты залегает толща, слагаемая аркозовыми кварцито-песчаниками, пестрыми песчано-глинистыми, глинистыми и карбонатными сланцами. Верхняя часть свиты образована доломитизированными известняками с прослоями аутогенных брекций, песчано-глинистыми, глинистыми сланцами, кварцито-песчаниками, содержащими пласты гематитовых руд и пачкой метаморфизованных доломитов. Мощность туломозерской свиты составляет 300 м. Толща аркозовых кварцито-песчаников, глинистых и карбонатно-глинистых сланцев, залегающая в нижней части разреза, слагает нижнюю подсвиту. Верхняя доломито-сланцевая часть свиты выделяется как верхняя подсвита.

Нижняя подсвита ($PR_2 \ell'$)

Отложения нижней подсвиты окаймляют Туломозерскую мульду, прослеживаясь в северо-западном и восточном крыльях структуры.

Мощность подсвиты колеблется от 0 до 60 м. В основании залегают маломощные слои аркозовых кварцито-песчаников и линзы конгломерато-брекций, в которых обломки представлены метапорфиритом, кварцитом, кварцево-карбонатными и серicitовыми сланцами. Сланцевая конгломерато-брекция наблюдалась нами в основании свиты в 2 км юго-западнее д. Саригора. Брекция постепенно переходит в кору выветривания, развивающуюся на вертикально падающих сланцах коватъярвинской свиты. Выше кварцито-песчаников располагается буровато-серый доломитовый известняк, содержащий прослои кварцито-песчаников и песчано-глинистых сланцев. Доломитовый известняк перекрывается красновато-бурыми кварцито-песчаниками, содержащими прослои песчано-глинистого сланца и доломита. Породы нижней подсвиты перекрываются доломитами и известняками верхней подсвиты.

Верхняя подсвита ($PR_2 \ell_2$)

Верхняя подсвита в основании сложена пачкой песчано-глинистых сланцев и кварцито-песчаников, содержащих прослои гематитовых руд. Верхняя часть подсвиты сложена двумя пачками метаморфизованных доломитов. Доломиты нижней пачки представляют собой светло-розовые средне- и мелкокристаллические породы. В них присутствуют маломощные (1,5-2 м) прослои доломитового известняка, глинистых сланцев и кварцито-песчаников. Выше по разрезу они перекрываются разноцветными доломитами второй пачки, содержащими прослои сланцев и аутогенных доломитовых брекций. Разноцветные доломиты – серые, буровато-серые, пятнистые, мелко- и крупнозернистые породы, обладающие тонкой слоистостью. Слоистость обусловлена чередованием прослоев доломита с глинистыми и песчано-глинистыми сланцами. Мощность прослоев колеблется от нескольких миллиметров до 2 м. Доломиты на 90-95% состоят из доломита и небольшого количества кварца – 5%. Из второстепенных минералов присутствуют тальк, хлорит, кальцит, гематит, магнетит и пирит. Доломитизированные известняки макроскопически не отличаются от доломитов. Среди них выделяются разновидности, целиком состоящие из кальцита, окварцованные и кварцодержащие известняки. Структура их гранобластовая и гетерогранобластовая.

Глинистые и песчано-глинистые сланцы представляют собой зеленовато-серые тонкозернистые слоистые породы. Им свойственны пелитовая и алевролитовая структуры. Глинистые сланцы состоят из глинистого вещества. Песчано-глинистые сланцы отличаются присутствием кварца до 15%.

Кварцито-песчаники - светло-серые мелкозернистые породы, состоящие из зерен кварца, сцементированных карбонатным материалом. Структура бластопсаммитовая. Описанная пачка известняков и доломитов с прослойками песчано-глинистых сланцев и кварцито-песчаников перекрывается горизонтом доломитов, песчано-глинистых сланцев и кварцито-песчаников, содержащих пласты, линзы и прожилки гематитовой руды. Мощность пластов гематитовых руд меняется от нескольких сантиметров до 2 м. Мощность продуктивного горизонта в восточном крыле мульды на участке месторождения Рекунсельга составляет 6 м. Мощность всей пачки, в том числе и продуктивного горизонта, 150-180 м.

Пачка мраморизованных доломитов слагает верхнюю часть разреза туломозерской свиты, залегая на песчано-сланцево-доломитовом горизонте. Доломиты обладают светлорозовой окраской, средне- и крупнозернистым сложением. Состоят они из доломита, небольших количеств кальцита, кварца и рудных минералов. Из вторичных минералов присутствуют хлорит и тальк. Структура гранобластовая.

Все описываемые разновидности пород характеризуются отчетливо выраженной слоистостью, обусловленной чередованием слоев различного состава, окраски и зернистости. Доломиты верхней пачки согласно перекрываются углисто-глинистыми сланцами заонежской свиты.

Заонежская свита

Нижняя подсвита ($PH_2^{jn}n_1$)

Отложения заонежской свиты, представленные углисто-глинистыми, глинистыми, карбонато-глинистыми и доломитовыми сланцами, прослеживаются в меридиональном направлении западнее деревень Колатсельга и Сона. Располагаются они в центральной части Туломозерской мульды, подстилая силлы среднепротерозойских диабазов. Редкие обнажения сланцев, принадлежащие к нижней подсвите, приурочены к заболоченным депрессиям, поэтому разрез ее описан неполностью.

Разрез нижней подсвиты начинается доломитовыми и карбонато-глинистыми сланцами, переходящими в глинистые сланцы. Доломитовые сланцы - зеленовато-серые тонкослоистые породы, состоящие из зерен доломита и незначительных количеств кальцита, кварца, хлорита, серицита, биотита и пирита. Структура их микрогранобластовая. Карбонато-глинистые сланцы отличаются от доломитовых более темной окраской и наличием глинистого вещества, частично пере-

кристаллизованного и замещенного серицитом. Вверх по разрезу содержание карбоната в сланцах уменьшается и они постепенно переходят в тонкослоистые глинистые сланцы. В верхних горизонтах подслиты глинистые сланцы сменяются углисто-глинистыми (шунгитоносными) сланцами. Углисто-глинистые сланцы - черные очень плотные тонкослоистые породы, состоящие из тонкораспыленного углистого вещества, глинистых частиц и кварца. Структура их бластопелитовая. Мощность прослоев углисто-глинистых сланцев меняется от нескольких сантиметров до 8-10 м. На углисто-глинистых сланцах залегает силл среднепротерозойских диабазов. В экзоконтакте образуются адиолы, состоящие из вторичного альбита, редких порфиробласт актинолита и вторичного кальцита.

КАЙНОЗОЙ ЧЕТВЕРТИЧНАЯ СИСТЕМА

На описываемой территории четвертичные отложения распространены повсеместно. В южной части листа они полностью перекрывают докембрийские кристаллические породы и имеют мощность от 0,5 до 100 м. Площадное распространение четвертичных отложений отражено на карте м-ба I:500 000 (рис.2), составленной по материалам предшествующих геологических съемок и редакционно-увязочных маршрутов автора. Расчленение четвертичных отложений произведено по стратиграфической схеме, разработанной для карельской серии листов и утвержденной НРС ВСЕГЕИ, в соответствии с унифицированной стратиграфической схемой четвертичных отложений Европейской части СССР, принятой МСК в 1964 г. В составе четвертичной системы выделяются современные и верхнечетвертичные отложения.

Верхнечетвертичные отложения

Верхнечетвертичные отложения относятся к нижнекарельским ледниковым слоям и слоям бассейна Балтийского моря карельского ледникового подгоризонта (Н.И.Алухтин, И.М.Экман /I/).

Нижнекарельские ледниковые слои

Нижнекарельские ледниковые слои образованы ледниковыми, флювиогляциальными и озерно-ледниковыми отложениями.

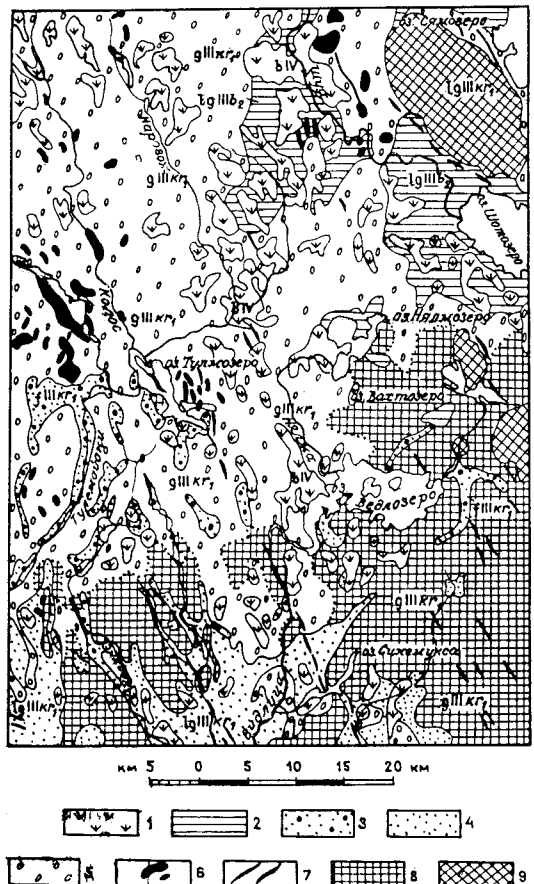


Рис.2. Карта четвертичных отложений

Современные отложения: 1 - биогенные отложения (*bIV*) - торф.

Верхнечетвертичные отложения: осташковский горизонт; карельский ледниковый подгоризонт; слои бассейна Балтийского моря: 2 - озерно-ледниковые отложения второго балтийского ледникового озера (*lgIIIh₂*) - супеси, суглинки, пески и реже ленточные глины; нижнекарельские ледниковые слои: 3 - флювиогляциальные отложения (*fIIIh₁*) - пески разнозернистые с прослойями галечников; 4 - озерно-ледниковые отложения (*lgIIIh₁*) - тонко- и мелкозернистые пески, суглинки, супеси; 5 - ледниковые отложения (*gIIIh₁*) - валунные пески, супеси, суглинки; 6 - выходы дочетвертичных кристаллических пород; 7 - озера; 8 - холмисто-грядово-моренный ландшафт; 9 - камы

Ледниковые отложения (*gIIIh₁*) имеют широкое распространение за исключением южной и северо-восточной части листа, где развиты песчаные и песчано-галечные отложения водно-ледникового генезиса. Моренный покров, залегающий на до-камбрийских кристаллических породах, имеет различную мощность, которая колеблется от 0,5 м на вершинах возвышенностей до 40-100 м в депрессиях коренного ложа юго-восточной части листа. В этом районе южнее оз. Ведлозера развит грядово-холмистый ландшафт.

Морена сложена валунными песками, супесями и суглинками.Петрографический состав валунов отвечает составу подстилающих морену кристаллических образований и представлен разновидностями коренных пород, развитых на территории листа: гранитами рапакиви, гнейсо-гранитами, амфиболитами, диабазами, кварцito-песчаниками, зелеными сланцами и другими породами. Размеры валунов и галек колеблются от нескольких сантиметров до 1,5-2,0 м в поперечнике. Степень окатанности различна, наряду с хорошо окатанными валунами, встречаются обломки и щебень сланцеватых пород. Морена на отдельных участках фациально замещается или перекрывается флювиогляциальными и озерно-ледниковыми отложениями.

Флювиогляциальные отложения (*fIIIh₁*) слагают озера и долинные занадры. Озы распространены в южной и северо-восточной частях листа, где они образуют цепочки гряд высотой 5-15 м, длиной 0,2-0,8 м и более. Озы вытянуты в северо-западном направлении. Сложены они кварц-полевошпатовыми разнозернистыми песками с прослойями галечников, в которых местами наблюдается косая слоистость. Разнозернистые пески кварц-полевошпато-слюдистого состава, слагающие долинные занадры, образуют террасированные равнины, прослеживающиеся вдоль долин рек Тулемайоки, Эньяйоки и долин других мелких речек, протекающих в южной половине площади листа.

Флювиогляциальные отложения залегают на морене или на кристаллических породах. Мощность их колеблется от 3 м и пределах террасированных равнин до 15 м и более - в озах.

Озерно-ледниковые отложения (*lgIIIh₁*) распространены на территории южной половины листа в районе оз. Синемуксы и на северо-востоке, на площади, ограниченной Сямозером и Шотозером. Они представлены тонко- и мелкозернистыми песками, суглинками и супесями. Эти отложения слагают камы и равнинные участки. Камы - холмы высотой 10-40 м, сложены мелко- и тонкозернистыми песками, содержащими прослой галечников мощностью от 0,1 до 2-3 м и глин. В разрезах камов обычно видна

облекающая слоистость. Часто на камах наблюдается чехол аблационной морены.

В составе озерно-ледниковых отложений, слагающих равнинные участки территории к западу и юго-востоку от оз. Синемукс, распространены тонкозернистые пески и супеси. Они залегают на ледниковых отложениях и имеют мощность 15–20 м, что наблюдается в песчаных карьерах близ д. Рогокоска и в других местах.

Слои бассейна Балтийского моря ($1gIIIb_2$) представлены озерно-ледниковыми отложениями, связанными с трансгрессией второго балтийского ледникового озера, которая, по данным Н. И. Агухтина, И. М. Экмана и др. /1/, на территории листа распространялась вдоль долины р. Шуи до абсолютных отметок 95–105 м. Озерно-ледниковые отложения залегают на морене или коренных породах. Мощность их по данным Г. П. Гукова /35/ колеблется от 4 до 13 м. Наиболее широко среди них развиты пески и супеси, глины и суглинки встречаются реже. Пески желто-серые мелкозернистые, разнозернистые, слоистые, местами с суглинистыми и гравелистыми прослойями. На отдельных участках пески чистые, хорошо отсортированы. Содержание пылеватых частиц в них составляет 5–20%. Супеси, суглинки и глины, кроме маломощных прослоев в песках, слагают выдержаные по простиранию пласти мощностью от 2 до 6 м. Встречаются они вдоль северо-западного берега оз. Шотозера (д. Корьяла) и в долине р. Шуи (д. Улялега).

Разрез толщи суглинков и глин в районе д. Улялега описан Г. П. Гуковым /35/ и представляется в следующем виде: супесь – 0,00–0,69 м; суглинок тяжелый – 0,69–2,19; глина серая – 2,19–6,19 м.

Супеси, суглинки и глины имеют голубовато-серый и серый цвет и характеризуются ленточной слоистостью, обусловленной чередованием тончайших (0,1–5 мм) песчаных и глинистых прослоев. По литологическому составу супеси и суглинки делятся на легкие, средние и тяжелые.

Современные отложения

К современным образованиям относятся биогенные (торфяно-болотные), озерные, аллювиальные и элювиально-делювиальные отложения. Аллювиальные, озерные и элювиально-делювиальные осадки имеют незначительную мощность и крайне ограниченное распространение.

Биогенные (торфяно-болотные) отложения (4IV), представленные сфагновыми торфами,ши-

роко распространены. Они развиты в южной, юго-восточной и северо-восточной частях площади листа. Наиболее крупное (8–10 км²) Финское торфяное болото расположено к западу и северо-западу от оз. Ведлозера. Торф бурый, коричнево-бурый, слабо уплотненный, плохо и среднеразложившийся. Наиболее интенсивное развитие торфяников, по данным И. М. Экмана /68/, началось здесь, как и в целом по Карелии, со времен среднего голоцен. Торф залегает преимущественно на нижнекарельской морене и позднеледниковых осадках.

Озерные отложения развиты, главным образом по побережью крупных озер: Сямозера, Шоозера, Ведлозера, Тулмоозера и других. Они слагают узкие пляжи шириной 3–4 м и представлены сортированными тонкослоистыми кварц-полевошпатовыми песками, реже супесями и галечниками. Залегают озерные отложения на коренных породах, либо на флювиогляциальных или ледниковых отложениях. Мощность их не превышает 1,5–3 м.

Аллювиальные отложения слагают русло и пойменные террасы рек. В составе пойменного аллювия рек Видлица, Эньяйоки, Куры и множества других мелких речек, протекающих среди озерно-ледниковых отложений, преобладают кварц-полевошпатовые пески или тонкие супеси и суглинки. Реки Наровож, Колласйоки и Сона в районе северной части листа промывают себе путь в моренном покрове, русла их заполнены валунами, отмытыми из морены. Река Тулемайоки протекает среди элювиально-делювиальных отложений гранитов рапакиви и в составе руслового аллювия преобладают кварц-полевошпатовые пески. Элювиально-делювиальные отложения встречаются в поле развития коренных пород в пределах Салминского массива гранитов рапакиви к западу от р. Тулемайоки, в районах оз. Кавадъярви, Тулмозера, оз. Хорсюльского, Ведлозера и в других местах. В пределах Салминского и Улялеского массивов гранитов рапакиви на склонах и вершинах возвышенностей располагаются элювиально-делювиальные развали. Они состоят из глыб, щебня и дресвы гранитов рапакиви. В северной части листа встречаются скопления глыб гнейсо-гранитов, а в районе р. Соны, оз. Кавадъярви, Няльмозера – глыбы и обломки метадиабазов, зеленых сланцев и доломитов.

ИНТРУЗИВНЫЕ ОБРАЗОВАНИЯ

Самыми древними интрузивными образованиями являются ранние архейские гнейсо-граниты, гнейсо-гранодиориты и гнейсо-диориты. Более молодое возрастное положение занимают плагиомикроклиновые

граниты, сопровождающиеся мигматитами, выделяемые как нерасчлененные образования архейско-нижнепротерозойского возраста. К ранним нижнепротерозойским интрузивным образованиям относятся метагаббро, габбро-амфиболиты, амфиболизированные габбро-диабазы и сланцеватые амфиболиты, секущиеся перидотитами, пироксенитами, метагаббро-норитами и габбро-диабазами. Весь этот комплекс пород рвутся кварцевыми порфирами и кератофирами. Нижнепротерозойские граниты на территории листа представлены синорогенными плагиогранитами, гранодиоритами и плагиомикроклиновыми гранитами, интрудирующими образования нижнепротерозойской подгруппы. Среднепротерозойскими интрузиями являются силлы габбро-диабазов, внедрившихся в карбонатно-сланцевые и сланцевые толщи туломозерской и заонежской свит. Ранние верхнепротерозойские интрузии представлены гранитами рапакиви и основными породами этого комплекса: габбро-норитами, лабродоритами и анортозитами. К более поздним образованиям, секущим граниты рапакиви, относится комплекс оливиновых диабазов и базальтов. В качестве самых молодых интрузий, предположительно позднепротерозойского возраста, нами выделены грейзенизированные граниты, связываемые с процессами рифейской (?) активизации.

РАННИЕ АРХЕЙСКИЕ ИНТРУЗИИ

Среди ранних архейских интрузивных образований выделяются олигоклазовые гнейсо-граниты, биотитовые гранодиориты и рогово-обманковые гнейсо-диориты.

Гнейсо-граниты и биотитовые гранодиориты ($\tau_1 \text{AR}$) образуют сближенные оваловидные массивы, узкие зоны между которыми сложены мигматитами и гнейсами хетоламбинской и керетьской толщ. Занимают они примерно около 35% площади листа. Среди олигоклазовых гнейсогранитов и биотитовых гранодиоритов выделяются гнейсовидные и полосчатые разновидности типа гранито-гнейсов и мигматитов. Все эти породы связаны между собой постепенными переходами.

Гнейсо-граниты – серые среднезернистые породы, обладающие гнейсовидной, реже массивной текстурой. Главными породообразующими минералами являются (в %) олигоклаз $\# 28 - 60-70$, кварц – 25-30, коричневый биотит – 5 и микроклин 0-5. Из вторичных минералов развиты хлорит (по биотиту), серицит, цоизит, эпидот, замещающие плагиоклаз. В единичных зернах встречаются обыкновенная зеленая роговая обманка с $CNg = 12^\circ$ и плеохроизмом (по Ng – изумрудно-зеленый, по Np – травяно-желтый). Микроклин свежий,

образует неправильные зерна с извилистыми контурами. Аксессорные минералы представлены сфером, орбитом, апатитом. Структура гнейсо-гранитов гранобластовая и гнейсогранитная. В зонах дробления – катакластическая. В участках интенсивной грануляции возникает мелкозернистый агрегат кварца, плагиоклаза, эпидота и биотита, среди которого выделяются "очки" плагиоклаза размером $1 \times 2,5$ мм и структура становится очковой.

Гранодиориты связаны постепенными переходами с гнейсо-гранитами. По внешнему виду это темно-серые среднезернистые породы с бластопорфировидной структурой. Бластопорфировидные вкрапленники длиной от 3 мм до 2 см представлены табличками плагиоклаза-олигоклаза $\# 24$, переполненными включениями зерен цоизита и эпидота. Основная масса образована агрегатом зерен плагиоклаза и кварца, в котором присутствуют скопления чешуек коричневого биотита, часто в ассоциации с обычной зеленой роговой обманкой. В отдельных участках наблюдается ориентированное расположение табличек плагиоклаза, обуславливающих линейную текстуру породы. Из аксессорных минералов встречаются сфер, орбит, апатит.

В рассматриваемом комплексе пород в различной степени развиты явления мигматизации, связанные с воздействием более молодых архейско-нижнепротерозойских и нижнепротерозойских плагиомикроклиновых гранитов.

Гнейсо-диориты ($\delta_1 \text{AR}$) расположены в районе оз. Суолампи, севернее д. Палалахты. Они слагают изометричные тела величиной 2×3 км, находящиеся внутри гнейсо-гранитных массивов, либо в виде линзообразных тел длиной 4-6 км и шириной 0,3-0,5 км залегают в их краевых частях. С окружающими гнейсо-гранитами они связаны постепенными переходами.

Гнейсо-диориты – серые массивные, реже гнейсовидные породы, обладающие гранобластовыми структурами, среди которых встречаются участки гранитных структур. Изменения зернистости породы и переходы гранобластовых структур в гранитные настолько незаметны, что в действительности очень трудно найти границу между гнейсовидными и массивными разновидностями диоритов. По петрографическому составу они близки гранодиоритам, отличаясь от последних большей основностью плагиоклаза $\# 32$ (60%), повышенным содержанием зеленой роговой обманки и биотита (примерно 40%) и повышенным содержанием магнетита (1-2%). Аксессорные минералы представлены сфером, орбитом и апатитом.

Для области развития ранних архейских гранитов характерны слабо положительные и отрицательные значения поля ΔT . В районах

развития амфиболовых гнейсо-диоритов оз. Суолампи и к востоку от оз. Тулмозера оно становится положительным, характеризуясь интенсивностью от 100 до 300 гамм (рис.3). Отрицательное значение поля ΔT М.С. Сипакова /64/ объясняется отсутствием магнитных минералов в гнейсогранитах и гранодиоритах северо-восточной части листа. Положительное магнитное поле вызвано несколько повышенным количеством равномерно рассеянного магнетита в амфиболовых гнейсо-диоритах и гранодиоритах, распространенных в районах оз. Суолампи и д. Палалахты.

Гравитационное поле, наблюдающееся над гнейсогранитами северной части листа, по данным А.И. Пахтеля /58/ характеризуется отрицательным и слабо положительными значениями Δg . У северной границы территории и западнее озер Шотозеро и Сямозеро выделяются отрицательные локальные аномалии, свидетельствующие о некотором увеличении мощности гнейсо-гранитного слоя на этих участках.

Возраст гнейсо-гранитов и гранодиоритов определяется как архейский на основании тесной взаимосвязи их с биотитовыми и биотито-амфиболовыми гнейсами, сопоставляемыми с породами керетьской и хетоламбинской толщ. Верхний возрастной предел гнейсо-гранитов и гнейсо-диоритов устанавливаем по перекрыванию их в районе д. Палалахты кристаллическими сланцами и лептитами палалахтинской толщи, относимой к архейско-нижнепротерозойским (верхнеархейским) образованиям.

АРХЕЙСКО-НИЖНЕПРОТЕРОЗОЙСКИЕ ИНТРУЗИИ

Плагиомикроклиновые граниты и мигматиты ($1AR-PR_1$) распространены в центральной части территории листа. Здесь они в виде овальных тел длиной 7 км и шириной 2 км приурочены к тектонической зоне, располагающейся вдоль массива, сложенного гнейсо-диоритами, гранито-гнейсами и амфиболитами керетьской и хетоламбинской толщ. Тела плагиомикроклиновых гранитов сопровождаются зонами мигматитов.

Граниты представляют собой серовато-розовую мелкозернистую массивную породу, в отдельных участках обладающую полосчатой текстурой и гнейсовидностью. Направление гнейсовидности и полосчатости варьирует от северо-западного до северо-восточного и субширотного. Структура массивных разновидностей гранитовая. Состоит (в %) они из плагиоклаза (олигоклаза-альбита № 13) - 40, микроклина - 10-25, биотита - 15, кварца - 20 и магнетита - 1. Микроклин распределен в породе неравномерно. Он образует круп-

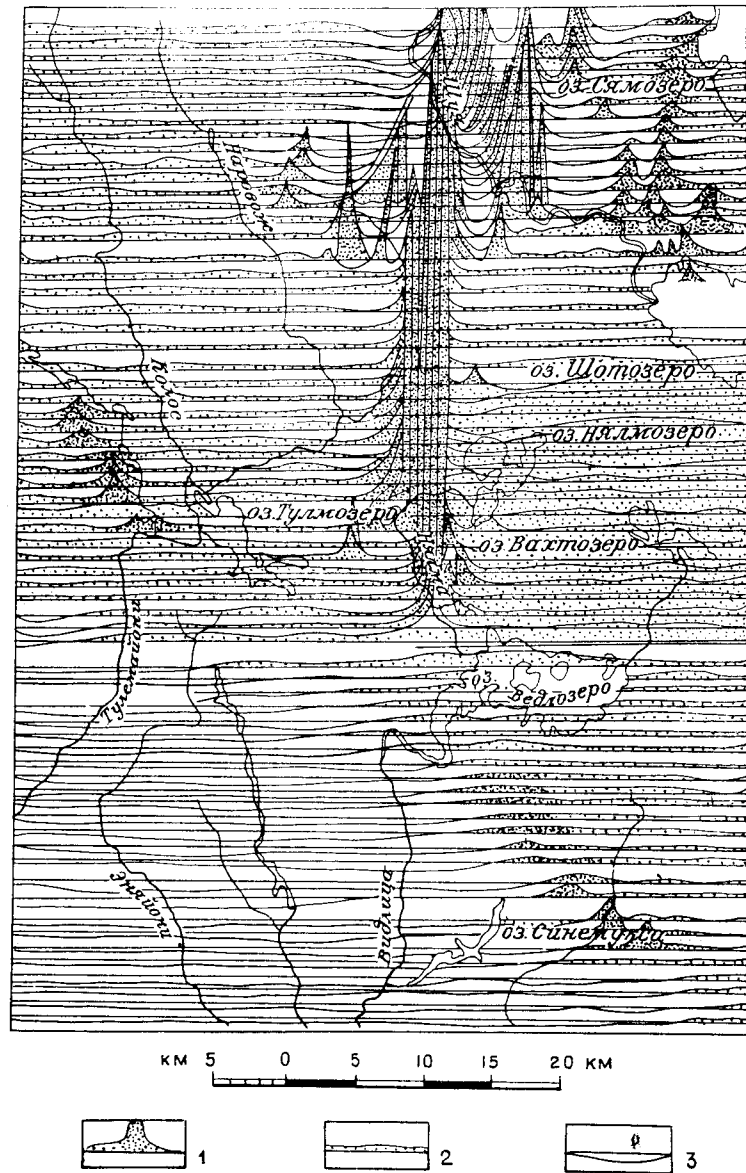


Рис.3. Схема аномального магнитного поля
(графики ΔT)

- 1 - график положительных значений поля ΔT , (I см - 6000 гамм);
- 2 - график положительных значений поля ΔT , (I см - 2500 гамм);
- 3 - график отрицательных значений поля ΔT , (I см - 2500 гамм)

ные порфиробласти, либо мелкими зернами насыщает послойные зоны рассланцевания.

Изотопный возраст аналогичных плагиомикроклиновых гранитов, находящихся на смежных с севера площадях в районе озер Яглярви - Суриярви, определенный Rb-Sr изохронным методом, по данным С.Б.Лобач-Кученко /8/, составляет 2190 млн. лет.

РАННИЕ НИЖНЕПРОТЕРОЗОЙСКИЕ ИНТРУЗИИ

Габбро-амфиболиты, метагаббро, амфиболизированные габбро-диабазы и сланцеватые амфиболиты (NPR₁) образуют кругопадающие интрузивные тела, приуроченные к разломам. Серия массивов основных пород располагается в поясе параллельных разломов, прослеживающихся от оз.Хисъярви до оз.Тулмозера. Встречаются они в разломах Чалкинско-Ведлозерского синклинального прогиба, обраzuющихся вдоль его сочленения с гнейсо-гранитами основания. Ассоциируя с актинолитовыми сланцами и порфироидами, амфиболизированные габбро-диабазы и метагаббро слагают ядро Няльмозерской антиклинали. Описание основных интрузивных пород дается по материалам О.Н.Анищенковой /22/, А.И.Ивановой /46/ и личным наблюдениям автора, проведенным в маршрутах 1964 г. Амфиболизированные габбро-диабазы описаны в районе оз.Хисъярви и близ истока р.Тулемайоки, где они слагают массивы длиной 0,5-1 км и мощностью 300-500. По внешнему виду это зеленовато-серые массивные мелко- и среднезернистые породы. Структуры их ойтовая, пойкилооитовая, бластогабброоитовая. Минералогический состав (в %): плагиоклаз-андезин-лабрадор - 30-40, амфибол-актинолит и обыкновенная роговая обманка - 60-70, в небольших количествах присутствуют кварц, эпидот, биотит, хлорит и лейкоксен. Аксессорный минерал - апатит. Для описанных габбро-диабазов характерно наличие лейкоксенизированного титансодержащего минерала, в то время как сульфидная минерализация проявлена очень слабо. Метагаббро отличаются от амфиболизированных габбро-диабазов наличием вместо актинолита обычновенной роговой обманки до 80%. Тела метагаббро секут актинолитовые сланцы верхних частей разрезов коватъярвинской и синемукской свит. В то же время по данным А.И.Ивановой /46/ они секутся жилами плагиопорфиров. На основании этих соотношений возраст описанных пород определяется как ранний нижнепротерозойский.

Метапериодотиты, серпентиниты, метапироксениты, метагаббро, габбро-нориты и охиолиты (NEPR₁) сосредоточены в Чалкинско-Ведлозерском синклинальном прогибе, где они приурочены к Хюрсюльской и Хаутоварско-Игнайловской синклиналям низшего порядка. Помимо этого, они встречаются в Улялегском прогибе, а также среди архейских гнейсо-гранитов и гнейсо-диоритов в районе оз.Суолампи.

В Хаутоварско-Игнайловском синклинальном прогибе, в его южной части, находятся мелкие (до сотен метров) линзообразные тела охиолитов-метаоливинитов, метапериодотитов и метапироксенитов, превращенных в сланцы хлорит-тремолит-серпентинитового, актинолит-тремолитового состава и серпентиниты. По внешнему виду это рассланцованные темнозеленые породы, с прожилками серпентина и карбоната. Структура петельчатая, нематогранобластовая, фибробластовая. Серпентиновые разновидности состоят (в %) из серпентина - 30-50, tremolita - 35-50, хлорита - 8-15, карбоната - 2, магнетита - до 8 и редких зерен сульфидов. В tremolитовых сланцах основными минералами являются (в %): tremolit - 40-80 и хлорит - 20-60. Из рудных минералов встречаются в виде вкрапленности зерна магнетита, халькопирита, пирротина и пирита. По данным химических анализов (С.М.Брэслер /27/) содержание никеля в серпентиновых разновидностях колеблется от 0,16 до 0,18%. Химический состав метаоливинитов Игнайлы, известный из работы А.И.Богачева /25/, следующий (в %): SiO₂ - 40,91, TiO₂ - 0,29, Al₂O₃ - 4,56, FeO - 6,53, MnO - 0,26%, MgO - 36,28, CaO - 2,40, Na₂O - 0,27, K₂O - 0,02, H₂O - 0,42, Fe₂O₃ - 9,48, S - 0,07, NiO - 0,15, CoO - сл., CuO - н.о., Cr₂O₃ - 0,55, V₂O₅ - н.о., P₂O₅ - 0,1, п.п.п. - 14,68, Σ - 100,56.

В северной части Хюрсюльского прогиба располагается Хюрсюльский массив ультраосновных пород. Длина массива 9 км, ширина 2,5-3 км. По результатам металлогенических исследований А.И.Богачева /25/, В.В.Яковлевой /69/ и геофизических работ М.К.Дорофеевой /66/, Хюрсюльский массив представляет интрузию трещинного типа. В северной и центральной части он сложен пологопадающими на юг метаоливинитами и метапериодитами, перекрывающимися габброидными породами. В южной части массива доминируют кругопадающие метагаббро, метагаббро-диабазы и габбро-амфиболиты, перемежающиеся с телами метаоливинитов, серпентинитов и метапериодотитов. Наличие на этом участке, по данным А.И.Пахтеля /58/, гравитационного максимума указывает на возможное продолжение интрузии до глубины 5-6 км, что позволяет допустить существование вертикального подводящего канала.

Серпентиниты по оливинам – желтые рассланцованные, полностью серпентинизированные породы с прожилками серпентина и карбонатов. Структура петельчатая, волокнистая. Состав (в %): серпентин – 90, единичные реликты оливина, магнетит – 10, карбонат, тремолит, чешуйки талька и хлорита.

Метапериодотиты – это рассланцованные темно-зеленые породы, обладающие бластопойкилитовой структурой. Главные минералы (в %): серпентин – 40–70, тремолит – 10–40, реликты оливина и пироксена. Второстепенные минералы: тальк, карбонат, сульфиды, магнетит до 20%. Химический состав метапериодотитов по данным А.И.Богачева /25/ следующий (в %): SiO_2 – 37–40, TiO_2 – 0,55, Al_2O_3 – 3,33, Fe_2O_3 – 9,65, FeO – 9,62, MnO – 0,38, MgO – 35,70, CaO – 5,82, Na_2O – 0,13, K_2O – 0,04, H_2O – 1,04, S – 0,15, CaO – 0,02, NiO – 0,47, CuO – не обн., Cr_2O_3 – 0,43, V_2O_5 – 0,3, P_2O_5 – не обн., п.п.п. – 13,47, Σ – 100,35. Сульфиды образуют рассеянную вкрапленность и представлены пентландитом и бравоитом. Валовое содержание никеля колеблется (в %) от 0,1 до 0,5, среднее составляет 0,25.

Метапироксениты – среднезернистые черные породы с панидиоморфозернистой структурой. Состоят они из пироксена 70–90%, амфибола, карбоната, магнетита. Отмечаются постепенные переходы метапироксенитов в метагаббро-пироксениты и в метагаббро. Среди габбродиоритовых пород А.И.Богачев /25/ выделял ферро-габбро и горноблендиты, обладающие трахитоидной и полосчатой текстурами и габбровой структурой. Феррогаббро состоят (в %) из сине-зеленої роговой обманки – 48, плагиоклаза-андезина – 47, титано-магнетита – 5, единичных зерен карбоната и эпидота. Горноблендиты по внешнему виду представляют собой темно-зеленые среднезернистые трахитоидные породы; трахитоидность обусловлена ориентированным расположением призм амфибола. Структура бластопанидиоморфозернистая, участками пойкилитовая. Состав (в %): сине-зеленая роговая обманка – 80 (с Ng 16° – 2V – 51°), титано-магнетит – 10, плагиоклаз-андезин-лабрадор – 10. В единичных зернах встречаются алатит, сульфиды и карбонат.

Основные и ультраосновные породы Хюрсольского массива и офиолиты Игнайлы секут сланцы синемукской и хаутоварской свит. Самы они рвутся жилами и дайками плагиопорфиров, что наблюдается на Хюрсольском участке. Эти данные позволяют установить ранний нижнепротерозойский возраст описанных основных и ультраосновных пород.

Метагаббро и габбро-диориты (ΣPR_1) слагают слабо дифференцированный Вистуккамалпинский мас-

сив. Форма массива близка к изометрической и величина его достигает 4–5 км в поперечнике. В массиве намечаются две самостоятельные интрузии, разделенные узкой зоной, сложенной рассланцованными, крутопадающими плагиопорфираторами и порфироидами, условно относимыми к ялонварской свите. Внутри интрузии располагаются дугообразные крутопадающие тела метаоливинитов и серпентинитов. Описание пород даётся по материалам А.И.Богачева /25/. Метагаббро и габбро-диориты имеют облик зеленовато-серых среднезернистых массивных пород, обладающих габбровой структурой. Состав (в %) они из роговой обманки – 45, плагиоклаз-олигоклаз-андезина – 40, кварца – 8, титаномагнетита до 6 и мелких зерен сульфидов. Сульфиды представлены халькопиритом, пирротином, пиритом и приурочены к трещинам. Метапериодотиты и серпентиниты по своему минералогическому и химическому составу сходны с никеленосными ультраосновными породами Хюрсольского массива, в связи с чем они представляют интерес на поиски среди них концентраций никелевых руд. Метагаббро и ультраосновные породы массива секутся жилами плагиопорфиров, на основании чего их возраст определяется как ранний нижнепротерозойский.

Габбро-диабазы и диабазы ($\Sigma \text{O}_1 \text{PR}_1$) образуют прямолинейные дайки, располагающиеся среди метаоливинитов, метапериодотитов, серпентинитов и метагаббро восточной части Хюрсольского массива. Помимо этого, они установлены в 2–х км к западу от Няльмозера, где внедряются по разлому, окаймляющему Няльмозерскую антиклиналь. Габбро-диабазы – зеленовато-серые мелкокристаллические породы, обладающие ойтовой структурой. Состав (в %): плагиоклаз – 55, роговая обманка – 30, биотит – 3, кварц – 5, реликты пироксена – 5, магнетит – 2. По пироксену развиваются тальк и серпентин. Возраст габбро-диабазов и диабазов устанавливается как ранний нижнепротерозойский на основании следующих данных: они секут метапериодотиты Хюрсольского массива и сланцеватые габбро-амфиболиты Няльмозерской структуры и, в свою очередь, секутся жилами нижнепротерозойских плагиопорфиров (Бреслер /27/).

Кварцевые порфириты, кератофириты и плагиопорфириты (ΣPR_1) образуют дайки длиной 2–3 км и шириной 0,2–0,6 км. Они приурочены к разломам, обрамляющим Няльмозерскую антиклиналь и к разломам, развивающимся вдоль Хаутоварско-Игнайловской синклинали и в восточной части Хюрсольского массива. Кварцевые порфириты и кератофириты – серые массивные породы с порфировидной структурой. Среди мелкозернистой массы, состоящей из альбита, кварца, хлорита и биотита, присут-

ствуют порфировидные вкрапленники кварца размером 2х3 мм. В кератофирах наряду с кварцем наблюдаются вкрапленники олигоклаза и альбита, в плагиопорфирах – альбита. На контактах с вмещающими породами и в тектонических зонах они превращены в порфироиды, кварц-серпентитовые и хлоритовые сланцы. Плагиопорфирсы сопровождаются вторичными кварцитами, с которыми ассоциируют серноколчеданные руды. Возраст кварцевых порфиров и кератофиров нижнепротерозойский, устанавливается по пересечению ими ультраосновных пород Хюрсильского массива и по нахождению их в гальке среднепротерозойских полимиктовых конгломератов в других районах Карелии.

Гранодиориты ($\delta_1 \text{PR}_1$) слагают краевые зоны массива гранитоидов, расположенного в Чалкинско-Ведлозерском синклинальном прогибе и приуроченного к антиклинальному перегибу между Вистуккалампинской и Хаутоварско-Игнайловской синклиналями. Массив изучался Е.П.Молотковой /44/, Г.О.Глебовой-Кульбах и др. /6/. Описание гранитоидов базируется на данных этих исследователей. Массив имеет овальную форму и размеры 3х5 км в попечнике. Гранодиориты, слагающие краевые зоны, образуют замкнутое кольцо, ширина которого колеблется от 300 до 800 м. Гранодиориты представляют собой серые и серовато-розовые массивные средне- и мелкозернистые породы с гипидиоморфозернистой и порфиробластовой структурами. Состав (в %) они из плагиоклаза № 13 – 50, кварца – 25, биотита – 25. Аксессорные минералы – сфеен, апатит, циркон, турмалин. Из рудных минералов характерны магнетит, пирит и молибденит, образующие в породе незначительную вкрапленность. Местами в гранодиорите наблюдается микроклинизация: микроклин образует порфиробласти и в мелких зернах включен в основную массу породы. По данным спектральных анализов Г.О.Глебовой-Кульбах /6/, в гранодиоритах из элементов примесей содержатся V, Co, Cr, Ni, Zr, Cu, Be и Ba. Гранодиориты и их жилы в северном контакте массива секут метадиабазы хаутоварской свиты. Галька аналогичных гранодиоритов встречается в среднепротерозойских полимиктовых конгломератах, находящихся за пределами территории листа в районе д.Койкары. На основании этих данных возраст гранодиоритов определяется как нижнепротерозойский.

Плагиомикроклиновые и микроклиновые граниты ($\gamma_1 \text{PR}_1$) образуют массивы величиной от 1,5 до 16 км в длину. Располагаются они в области сочленения Чалкинско-Ведлозерского синклинального прогиба с породами основания и в омоложенных тектонических зонах. Помимо этого, плагиомикроклиновые граниты слагают центральную часть массива гранитоидов, находящегося восточнее ст.Хаутоваара. Плагиомикро-

клиновые граниты это среднезернистые, крупнозернистые и порфировидные породы розового цвета. Структура гипидиоморфозернистая, либо порфировидная, с проявлениями катаклаза. Состав гранитов (в %): плагиоклаз (№ 13-17) – 45, кварц – 25, биотит – 15. Аксессорные минералы: циркон, ортит, сфеен. Рудные минералы – магнетит, пирит, молибденит, шеелит, сфалерит, галенит. Из элементов примесей характерными являются Be, Sr, Ba, Zr, Cu (Глебова-Кульбах и др. /6/). В плагиомикроклиновых гранитах Хаутоварского массива наблюдаются явления грейзенизации, выражаяющейся в привносе вторичного кварца в ассоциации с турмалином и молибденитом. В микроклиновых гранитах увеличивается количество микроклина до 30-35% и соответственно уменьшается содержание плагиоклаза. Плагиомикроклиновые граниты связаны с одной стороны постепенными переходами с микроклиновыми гранитами, с другой – с гранодиоритами. На гранодиориты они оказывают метасоматическое воздействие, выражющееся в образовании в них идиоморфных порфиробласт микроклина. По нахождению плагиомикроклиновых гранитов в гальке среднепротерозойских полимиктовых конгломератов в Койкарском районе Карелии, возраст их определяется как нижнепротерозойский.

Мигматиты плагиомикроклиновых гранитов ($\gamma_1 \text{PR}_1$). Внедрение ранних нижнепротерозойских гранитов сопровождается мигматизацией окружающих гнейсо-гнейсов. Максимальное проявление мигматизации приурочено к тектоническим нарушениям, описанным близ д.Палалахта и в других местах. Мигматиты, развивающиеся в тектонических зонах, представляют собой полосчатые породы. Полосы субстрата мощностью 3-8 см состоят из плагиоклаза, кварца и биотита. Среди среднезернистой массы наблюдаются таблитчатые порфиробласти плагиоклаза до 2 см в длину, ориентированные параллельно полосчатости мигматитов. Прослои инъекции состоят из оваловидных зерен свежего решетчатого микроклина, зерен плагиоклаза и ксеноморфного кварца. В массивных гнейсо-гранитах явление мигматизации устанавливается по наличию в межзерновых пространствах единичных зерен мезостатического микроклина.

РАННИЕ СРЕДНЕПРОТЕРОЗОЙСКИЕ ИНТРУЗИИ

Метагаббр-диабазы и метадиабазы (v PR_2), а по мнению Ю.С.Желубовского /42/, нерасчлененные эфузивы выполняют центральную часть Туломозерской мульды. Они образуют пластовые тела мощностью 200-300 м, согласно залегающие

среди сланцев заонежской свиты. С юго-запада интрузии габбро-диабазов, по данным В.А.Соколова /7/, имеют тектонический контакт с метадиабазами хаутоварской свиты. Протяженность полосы габбро-диабазовых интрузий составляет 20 км и ширина от 0,8 до 4 км. Метагаббро-диабазы слагают центральные части пластовых тел, а краевые их зоны сложены метадиабазами и метапорфиритами. Структура габбро-диабазов ойтовая и габбро-ойтовая. Метагаббро-диабазы состоят из соссюритизированного андезин-лабрадора № 42-44 и обычновенной роговой обманки с реликтами авгита. В незначительных количествах присутствуют эпидот, цоизит, кварц, апатит, магнетит, пирит, лейкоксен. Метадиабазы и метапорфириты периферической части интрузий имеют мелкозернистое сложение. Состоят они из альбит-олигоклаза, актинолита, кварца, хлорита, серциита, карбоната и магнетита. Структура нематогранобластовая с реликтами бластоофтитовой. Метапорфириты характеризуются бластопорфиритовой структурой, обусловленной наличием в мелкозернистой массе вкраплеников альбита № 10.

Принадлежность интрузий метадиабазов и метагаббро-диабазов к раннему среднепротерозойскому возрасту определяется их соотношением со сланцами заонежской свиты.

ВЕРХНЕПРОТЕРОЗОЙСКАЯ ПОДГРУППА ПОЗДНЕПРОТЕРОЗОЙСКИЕ ИНТРУЗИИ

Граниты рапакиви (τ_{PR_3}) находятся на территории южной половины листа, занимая примерно 45% его площади. На юго-западе частично располагается Салминский массив собственно гранитов рапакиви, уходящий в северо-западном направлении за пределы описываемой площади. В 1969-1970 гг. на соседней территории близ южной границы листа О.Н.Анищенковой /23/ были выявлены основные породы комплекса рапакиви - габбро-нориты, лабрадориты и аортозиты, связанные через монцониты постепенными переходами с собственно гранитами рапакиви Салминского массива. Общая площадь массива составляет 6000 км^2 .

На востоке находится Улялеский массив, охватывающий площадь 800 км^2 . По геофизическим данным М.С.Сипаковой /64/, И.А.Пахтеля /58/ и геологическим исследованиям В.В.Яковлевой /69/, Салминский и Улялеский массивы отделены друг от друга Чалкинско-Ведлозерским и Синемукским синклинальными прогибами и представляют собой автономные интрузии.

Исследованиями А.А.Полканова /15/ была показана приуроченность массивов гранитов рапакиви к субширотной флексуре. По

В.В.Яковлевой /69/, Салминский массив расположен вдоль границы сочленения пояса карелид со скандинавской зоной, а по мнению Л.П.Свириденко /63/ - в области сочленения Восточно-Финляндской синклинальной и Восточно-Финляндской антиклинальной подзон карелид. Вопросами геологии и петрологии собственно гранитов рапакиви Салминского массива в разное время занимались Т.В.Билибина (1960), Н.Г.Судовиков, Th.G.Sahama (1945) и другие исследователи. Петрология собственно гранитов рапакиви Салминского массива посвящена работа Л.П.Свириденко /63/. Основные породы этого массива, распространенные на соседней с юга территории, изучены и описаны О.Н.Анищенковой /23/. Как и другие массивы рапакиви Фенноскандии, Салминский массив представляет собой многофазную интрузию. Среди собственно гранитов рапакиви О.Н.Анищенкова /22/ и В.В.Яковleva /68/ выделяют три фазы: I - выборгиты, птерлиты; II - средне-крупнозернистые и порфировидные разновидности рапакиви с их краевой фацией и III - жилы аплитов и пегматитов с миарлитовыми пустотами, заполненными полевым шпатом и горным хрусталем. Л.П.Свириденко /63/ выделяет в массиве собственно гранитов рапакиви пять фаз: I - выборгиты, II - равномернозернистые биотитовые граниты, III - птерлиты, IV - порфировидные граниты, V - крупноовойдный порфировидный гранит. По Л.П.Свириденко /63/ граниты рапакиви кристаллизуются из "сухой" высокотемпературной магмы, характеризующейся преобладанием калия над натрием, железа над магнием и низким содержанием кальция. Для биотита гранитов II фазы характерно повышенное содержание олова, что по ее мнению является признаком металлогенической специализации магмы рапакиви на данный элемент.

Проведенные геофизические и геологические работы позволили сделать некоторые выводы о глубинном строении массива. Центр интрузии был установлен за пределами листа в районе г.Олонца /23/. В процессе гравитационных (Пахтель /58/) и аэромагнитных (Сипакова, /64/) съемок последних лет, обобщения и анализа геофизических материалов (Вербицкий, Попова /29/, Яковleva /69/) и полевых исследований 1964 г. было установлено, что мощность и геологическое строение отдельных участков Салминского массива различны. По максимумам отрицательных локальных гравитационных аномалий, указывающих на увеличение мощности пород гранитного состава, предположительно установлены подводящие каналы. Участки массива, характеризующиеся отрицательными аномалиями, на обнаженных площадях сложены крупнозернистыми и порфировидными разновидностями с крутой ориентировкой первичных структур. Пространства между отрицательными максимумами сложены овойдальными выборгитами

и питерлитами, в которых падение полосчатости $10\text{--}25^\circ$, либо близко к горизонтальному. Мощность рапакиви в таких участках по геофизическим данным Р.И.Вербицкого /29/ составляет 2–3 км. В периферических зонах массива развита краевая фация, представленная мелко- и среднезернистыми, местами порфировидными гранитами, гранодиоритами и кварцевыми диоритами.

На территории описываемого листа Салминский массивкрыт четвертичными отложениями. В связи с этим, внутреннее строение его показано на основании геофизических данных /29, 58/. В южной части листа (район оз.Пертъярви), в области отрицательной локальной гравитационной аномалии, выделяется Большегорский купол, предположительно сложенный породами II фазы. Близ северного контакта массива намечаются Кохтусельгский и Латвалампинский купола, также сложенные породами II фазы. Между выделенными куполами полого залегают овощадальные граниты I фазы. Образования краевой фации, представленные порфировидными гранитами и среднезернистыми гранодиоритами, прослеживаются в зоне контакта северной части массива. Северный контакт массива в районе оз.Кавадъярви под углом 80° падает на юго-запад, а в 2 км к востоку от д.Палаахты граниты рапакиви полого (под углом 30°) налегают на выветрелые доломиты и сланцы коватъярвинской свиты. Контактных изменений во вмещающих породах не наблюдается, так как по ним обраузуется линейная кора выветривания.

Гранитам рапакиви свойственна красная окраска. Главные порообразующие минералы: кварц, микроклин, микроклин-пертит, ортоклаз-пертит, плагиоклаз, биотит, амфибол и единичные зерна фаялита и геденбергита. В разновидностях гранитов II фазы преобладает олигоклаз и альбит до 10%, в гранодиоритах краевой фации – олигоклаз-андезин (10%). Калиевый полевой шпат слагает свыше 50% породы. Кварц представлен двумя генерациями: одна из них имеет идиоморфное развитие и темную окраску.

Овощадальные разновидности гранитов I – фазы в отличие от биотитовых разновидностей II-фазы, являются существенно рогово-обманковыми. В остальном минералогический состав их весьма близок. Аксессорные минералы: циркон, флюорит, апатит, топаз. Содержание флюорита в тяжелой фракции – 3%. В тяжелой фракции проточных проб, отобранных из краевой фации гранитов рапакиви в районе оз.Тулмозера, присутствует (в %): ильменит – 30 и циркон – 3. Рудные минералы – молибденит, шеелит, халькопирит и пирит встречаются в единичных зернах. Рудная аксессорная минерализация краевой фации указывает на возможную ассимиляцию вольфрама, частично меди и молибдена из вмещающих пород коватъярвинской и па-

лалахтинской свит. Сама же потенциальная способность к рудообразованию у гранитов рапакиви, очевидно, невелика вследствие "сухости" исходных магм. В связи с этим, в отличие от Ю.С.Желубовского /42/, Л.П.Свириденко /63/ и других исследователей, считающих граниты рапакиви рудоносными, мы склонны рассматривать их как практически безрудные образования.

Улялегский массив в северной части сложен среднезернистыми гранитами, пространственно соответствующими отрицательной локальной гравитационной аномалии. На закрытой южной части Улялегского массива по отрицательным гравитационным аномалиям предположительно выделяются Киписельгский и Куккозерский купола, которые можно рассматривать как подводящие каналы (рис.4).

Граниты рапакиви секут архейско-нижнепротерозойские лептины, двупироксеновые сланцы и метаандезиты палалахтинской свиты, нижнепротерозойские доломиты коватъярвинской свиты и архейские гнейсограниты. Изотопный возраст гранитов Салминского массива рапакиви, определенный в северо-западной части, расположенной за пределами листа, по данным А.П.Виноградова /3/, устанавливается 1550 млн. лет, что позволяет условно относить его к поздне-протерозойским образованиям.

Основные породы комплекса рапакиви (vPR_3) установлены бурением на соседней территории близ южной границы листа О.Н.Анищенковой /23/. Они представлены габбро-норитами, лабрадоритами и анортозитами. Распространение пород этого комплекса в южной части листа показано для увязки в пределах контура гравитационной аномалии /58/. По данным О.Н.Анищенковой /23/, габбро-нориты, лабрадориты и анортозиты связаны между собой постепенными переходами. В свою очередь они через монцониты и кварцевые монцониты переходят в зеленовато-серые граниты и гранодиориты. Последние на территории описываемого листа образуют краевую фацию Салминского массива гранитов рапакиви. Жилы собственно гранитов рапакиви секут габбро-нориты, анортозиты и монцониты, что дало основание О.Н.Анищенковой выделить их как наиболее ранние образования по отношению к собственно гранитам рапакиви. Наличие постепенных переходов между основными породами и собственно гранитами рапакиви позволило О.Н.Анищенковой отнести основные породы к комплексу рапакиви поздне-протерозойского возраста.

Диабазы, базальты и их туфы ($\text{v}\mu\text{PR}_3$) занимают небольшой (5 км²) участок в юго-западном углу территории листа. По данным В.И.Хазовой /65/, дайки диабазов секут граниты рапакиви, а излившиеся базальты образуют потоки и

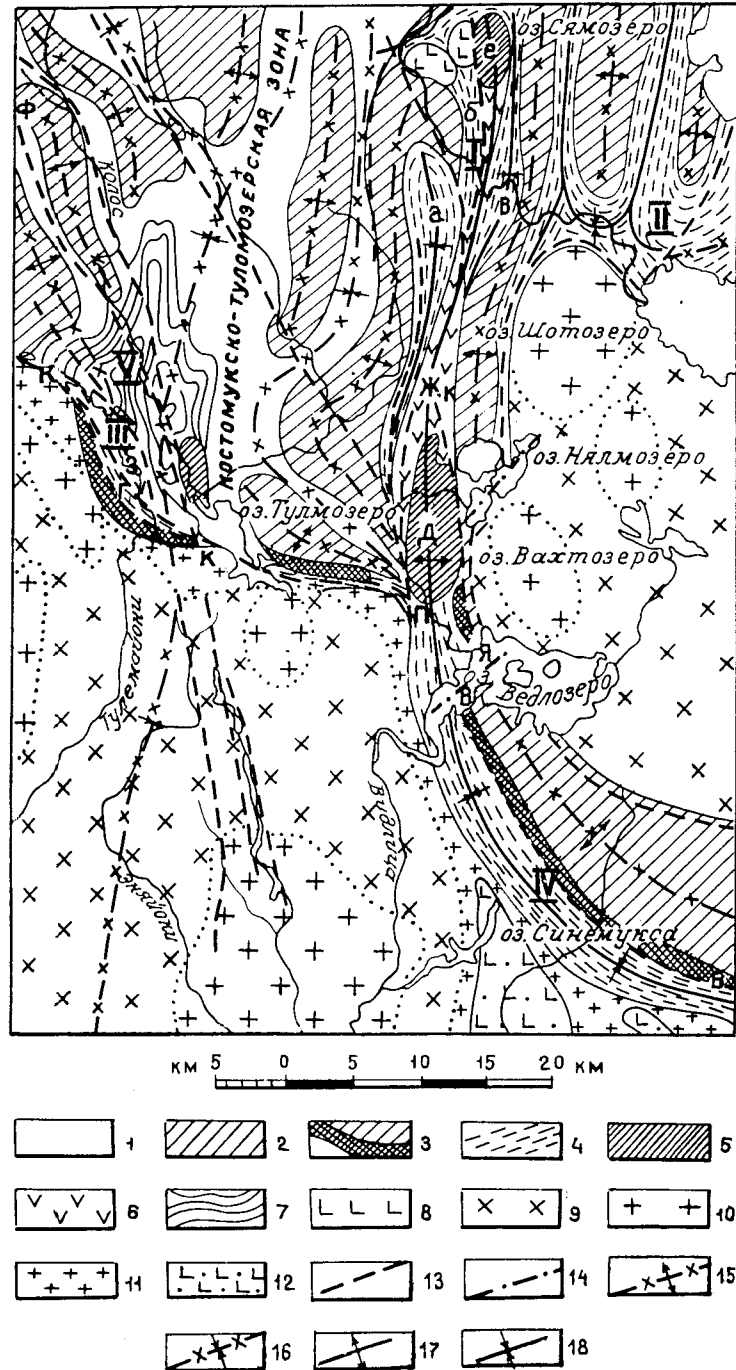


Рис.4. Схематическая тектоническая карта

1-3 - нижний структурный ярус: 1 - зоны гнейсов и мигматитов, 2 - массивы гнейсо-гранитов, гнейсо-диоритов, гнейсо-гранодиоритов, 3 - массивы гнейсо-гранитов, облекаемые древнейшими эфузивами. Средний структурный ярус. На карте римскими и арабскими цифрами и буквами алфавита нанесены: синклинальные прогибы: I - Чалкинско-Ведлозерский, II - Улягельский, III - Коватъярвинско-Палалахтинский, IV - Синемукоский; 4 - синклиналии низших порядков: а - Хортольская, б - Вистуккалампинская, в - Хаутоварско-Игнайловская, г - Коватъярвинская; 5 - антиклиналии низших порядков: д - Нальмозерская, е - Хаутоварская; 6 - линейные антиклиналии низших порядков: х - линейная антиклиналь в Чалкинско-Ведлозерском синклинальном прогибе, з - Иккожская антиклиналь в Коватъярвинско-Палалахтинском прогибе. Верхний структурный ярус; 7 - впадины фундамента, У - Туломозерская мульда; 8 - интрузии габбро, габбро-диоритов; 9 - граниты рапакиви I фазы; 10 - граниты рапакиви II фазы; 11 - граниты и гранодиориты краевой фации; 12 - основные породы комплекса рапакиви: габбронориты, лабрадориты, аортозиты; 13 - разломы: Ф-К - Фаддейн-Кельевский, К-П - Коватъярвинско-Палалахтинский, К-Я - Кайназъярвийский; В-В - Ведлозерский; 14 - предполагаемые разломы на площадях занятых водоемами; 15 - оси архейских гнейсо-гранитных массивов; 16 - оси зон архейских гнейсов и мигматитов; 17 - оси нижнепротерозойских антиклиналей; 18 - оси нижнепротерозойских синклиналей;

покровы на их выветрелой поверхности. Среди вулканогенных образований выделяется шесть потоков базальтовых и диабазовых порфиритов мощностью от 1,5 до 16 м, чередующихся с маломощными (0,2-0,7 м) прослойями туфов. Дайки диабазов, секущие граниты рапакиви, очевидно, служили подводящими каналами для излияний основных лав. Структура диабазов в дайках офитовая, переходящая к габбро-оффитовой.

Базальтовые порфириты – темнобурые породы, обладающие порфировидной структурой. Порфировидные вкрапленники мелкие, представлены табличками плагиоклаза. Структура основной массы офитовая и гиалопилитовая. Основная масса состоит (в %) из лейстовидного плагиоклаза андезина № 42 (50-60), интерстиции выполнены хлоритом, палагонитом и иддингситом (35-50) с примесью гидроокислов железа и рудного минерала. Рудный минерал и хлорит образуют псевдоморфозы по оливину – 5%. Аксессорные минералы представлены сфеном, анатазом, рутилом.

Диабазовые порфириты отличаются наличием микропойкилитовых структур (прорастание пироксена лейстами плагиоклаза). Они состоят (в %) из диопсида-клиноэнстатита – 15-20, рудного минерала и хлорита – 25-30, развивающихся по оливину и плагиоклаз-лабрадора – 55 ($C_{Ng} = 49^{\circ}$, $2V = +48^{\circ}$).

Вторичные процессы в базальтовых и диабазовых порфиритах проявляются в хлоритизации и карбонатизации плагиоклаза и пироксена и в образовании псевдоморфоз хлорита и рудного минерала по оливину. Изотопный возраст аналогичных диабазовых порфиритов, развитых на соседней территории в окрестностях пос. Сальми, был определен в лаборатории ГЕОХИ (Кайряк /12/) К-Аг методом и составляет 1350 млн. лет, что позволяет относить подобные породы, встречающиеся на территории листа, к верхнему протерозою (рифю). Несбивка на данном участке карты с территорией издаваемого листа Р-36-XX объясняется получением новых данных В.И.Хазовой /65/ по базальтам Сальминского участка.

Граниты рифейской (?) (поздне-протерозойской) активизации.

При структурно-поисковом бурении 1964 г. в скв. I, расположенной в 5 км к востоку от контакта с Сальминским массивом гранитов рапакиви, на глубине 226 м была вскрыта зона нарушения, развивающаяся вдоль контакта карбонатных пород с двупироксеновыми и гиперстеновыми сланцами паллахтинской толщи. К зоне нарушения приурочены грейзены, грейзенизованные граниты и плагиопегматиты. Суммарная мощность грейзеновой зоны – 12 м. На карте эти образования не выделяются, так как они являются слепыми телами.

Грейзен представляет собой серовато-розовую мелкозернистую породу с крупными зернами кварца. Мелкозернистая масса состоит из кварца, реликтов полевого шпата, погруженных в агрегат каолинита, жильбертита, хлорита и зерен серовато-голубого турмалина. В мелкозернистой массе выделяются крупные (2-3 мм) зерна кварца, прорастающие слюдой. Грейзенизованный гранит – серая неравномерно-зернистая порода, обладающая реликтовой гипидиоморфозернистой структурой. Кварц и реликты плагиоклаза (олигоклаза-андезина и альбита) составляют 30%, карбонат (вторичный) в ассоциации с жильбертитом и каолинитом – 70%. Постоянно присутствуют серо-голубой турмалин и апатит. Из рудных минералов встречаются кассiterит, сфалерит, лейкоксенизированный титансодержащий минерал с примесью редких земель и пылевидные окислы железа. Гамма-каротак в зоне грейзенов устанавливает повышенную активность, вероятно связанную с редкоземельными минералами, содержащими торий, либо уран. Грейзены и грейзенизованные граниты, несущие признаки оловянной и редкометальной минерализации, изолированы в пространстве от гранитов рапакиви. Они имеют существенно альбитовый (натровый) состав, отличающийся от высокожелезистых, насыщенных калием гранитов рапакиви. К тому же в гранитах рапакиви отсутствуют явления грейзенизации и рудопроявления олова, в связи с чем практически они являются безрудными. Все это дает основание допустить наличие самостоятельного, оторванного во времени от рапакиви, очага магмы рудоносных гранитоидов, связанных с рифейской (поздне-протерозойской (?)) активизацией. Изотопный возраст аналогичных рудоносных гранитов района г. Питкяранты, определенный по методу, устанавливается 1420 млн. лет (Яковлева В.В. /69/), что подтверждает возможность отнесения этого типа гранитов к позднему протерозою.

ТЕКТОНИКА

Территория листа охватывает юго-восточную область карелид. В южной половине площади листа располагаются Сальминский и Улялегский массивы гранитов рапакиви. В соответствии с представлениями К.О.Кратца /13/, в карелидах выделены нижний, средний и верхний структурные ярусы (см. рис.4). Нижний структурный ярус сложен архейскими гнейсами, мигматитами и гнейсогранитами, образующими вместе с древнейшими эфузивами основание для геосинклинальных формаций карельского подвижного пояса. В строении среднего структурного яруса принимают участие нижнепротерозойские породы, слагающие линейные синклинали, располагающиеся между

гнейсогранитными массивами основания. Верхний структурный ярус сложен среднепротерозойскими кварцito-песчаниками, доломитами и сланцами, полого залегающими на эродированных породах нижнего и среднего ярусов.

Нижний структурный ярус

Нижний структурный ярус карелид сложен породами основания. Среди них выделяются: гнейсогранитные массивы (ядра), окруженные зонами беломорских мигматитов и гнейсов; гнейсогранитные массивы, облекаемые древнейшими лавами (лептитами и двувероксеновыми кристаллическими сланцами по средним эфузивам)^{x/}.

Гнейсогранитные массивы, окруженные гнейсами и мигматитами, имеют оваловидные и изометричные очертания, размеры их колеблются от 8 до 30 км в длину и 5-7 км в ширину. Направление осей массивов в центральной и северо-восточной частях площади листа меридиональное (см. рис.4), в западной – северо-западное и субмеридиональное. Группа западных массивов отделяется от массивов центральной части Костомукско-Туломозерской зоны, в которой развиты биотит-амфиболовые гнейсы, амфиболиты и мигматиты. Ширина Костомукско-Туломозерской зоны меняется от 1 до 6 км. Она имеет меридиональное направление и по геофизическим данным прослеживается на юг под гранитами рапакиви. В западной половине территории листа зоны гнейсов и мигматитов имеют северо-западное простирание, длина их достигает десятков километров.

В массивах центральной части площади листа простирание гнейсивидности параллельно очертаниям массивов, падение ее пологое, под углом 10-15°. В зонах гнейсов и мигматитов ориентировка гнейсивидности согласна с контурами массивов. В массивах западной части территории листа и в окружающих их мигматитах и гнейсах преобладает северо-западное направление гнейсивидности и крутое падение ее под углом 70-80°, меняющееся в северо-восточном и юго-западном направлениях.

Гнейсогранитные массивы, облекаемые древнейшими эфузивами, располагаются вдоль линии контакта с гранитами рапакиви (районы хут. Григорьева, деревень Палалахты, Гилькожи, р. Тулемайоки) и в южной части площади листа северо-восточнее оз. Синемуксы. Массив, находящийся к северо-востоку от оз. Синемуксы, в северной части интрузируется гранитами рапакиви. Длина массива 28 км, ширина

^{x/} Выделение в фундаменте овальных гранитных массивов может приниматься только условно. Очень плохая обнаженность гранито-гнейсового поля на территории листа не позволяет обоснованно сделать такой вывод по геологическим данным. - Прим. автора.

12 км, юго-западная краевая часть круто падает на юго-запад под углами 70-80° и облекается гиперстеновыми и двувероксеновыми кристаллическими ортосланцами. Направление оси массива северо-западное. На ее продолжении, восточнее оз. Туломозера и севернее д. Палалахты, находится другой массив гнейсогранитов, ось которого имеет субширотное направление. Длина массива 12 км, ширина 4 км. С севера и северо-востока он ограничен узкой (2-3 км) зоной мигматитов и гнейсов, а к югу имеет крутое склонение (70-80°) и облекается амфиболовыми и двувероксеновыми сланцами (метаандезитами).

Высокая ступень метаморфизма древнейших эфузивов (гранулированная либо пироксено-роговиковая фации), близкая к высоким ступеням амфиболитовой фации гнейсо-гранитов, а также тесная пространственная связь этих пород между собой, позволяют совместно рассматривать их как один из элементов структур основания.

Средний структурный ярус

Средний структурный ярус, сложенный нижнепротерозойскими породами, образован линейными синклиналями, расположивающимися между гнейсогранитными массивами основания. Гнейсогранитные массивы в представлении К.О.Кратца /13/ являются глубоко эродированными антиклинальными поднятиями складчатой зоны карелид.

В северной половине территории листа располагаются Чалкинско-Ведлозерский и Улялегский синклинальные прогибы. В южной половине – Коватъярвинско-Палалахтинский и Синемукский прогибы.

Чалкинско-Ведлозерский синклинальный прогиб протягивается от оз. Ведлозера в меридиональном направлении до северной границы, уходя далее за ее пределы. Длина его на территории листа 48 км и ширина – 4-6 км. По В.В. Яковлевой /69/, в осевой части прогиба располагается линейная антиклиналь, к западу от нее находятся Хорсюльская и Вистуккалампинская синклинали, к востоку – Хаутоварско-Игнайловская синклиналь. Линейная антиклиналь сложена метадиабазами и зелеными сланцами хаутоварской свиты, имеющими крутое, либо вертикальное падение. Продольный шарнир антиклинали имеет слабо волнистый характер. В местах воздымания шарнира (юго-восточнее ст. Хаутовара) и на юге (в районе оз. Ведлозера и Нялмозера), выходят более древние породы, образующие местные куполовидные антиклинали, выделенные как Хаутоварская и Нялмозерская.

Нялмозерская антиклиналь находится в южной части структуры, форма ее оваловидная, размеры 4x12 км.

Длинная ось ориентирована в меридиональном направлении. Продольные крылья круто (70 – 80°) падают на запад, сложены они графитистыми и кварц-альбит-хлоритовыми сланцами ялонварской свиты. В ядре антиклинали находятся амфиболизированные габбро-диабазы, перемежающиеся с биотит-амфиболовыми и графитистыми сланцами синемукской свиты. Наличие в ядре антиклинали метаморфизованных габбро-диабазов позволяет рассматривать ее как реликт древней вулканокупольной структуры. Вдоль круто падающих крыльев антиклинали развиваются разломы, к которым приурочены дайки плагиопорфиров и связанные с ними колчеданные руды.

Хаутоварская антиклиналь находится в $1,5$ км к юго-востоку от ст. Хаутоваара. Величина ее 2×5 км. К ядру антиклинали приурочены плагиомикроклиновые граниты и гранодиориты.

Хорсюльская синклиналь располагается в западной краевой части Чалкинско-Ведлозерского синклинального прогиба и имеет асимметричное строение. Северной ее части свойственна овальная форма размером 5×10 км, а южная представлена узкой (2 км) синклиналью протяженностью до 20 км. Северная часть синклинали по А.И. Богачеву /25/ выполнена полого расслоенными интрузиями ферро-габбро, чередующимися с метапериодитами. По направлению к югу и юго-востоку подошва интрузии погружается и близ оз. Хорсюльского ультраосновные и основные породы имеют крутое падение, переходящее в вертикальное. На участке оз. Хорсюльского и вдоль восточного борта Хорсюльской синклинали, помимо основных и ультраосновных пород, развиты дайки габбро-диабазов и плагиопорфиров, что указывает на наличие в ее восточном борту разлома, по которому шло поступление не только основных и ультраосновных, но и кислых магм. Максимум аномалии Δg /58/, приуроченный именно к этим участкам, косвенно указывает на наличие в южной и юго-восточной части синклинали подводящего канала Хорсюльской интрузии. Вдоль южной ветви синклинали проходит разлом, к которому приурочены интрузии амфиболизированных габбро-диабазов, габбро-амфиболов, офиолитов и дайки габбро-диабазов и плагиопорфиров. В осевой части южной синклинали находятся кварц-серicitовые, кварц-серцит-хлоритовые и графитистые сланцы ялонварской свиты.

Хаутоварско-Игнайлловская синклиналь расположена вдоль восточного борта Чалкинско-Ведлозерского прогиба, длина ее 22 км, ширина – 1 км. В ядре синклиналь выполнена сланцами ялонварской свиты, имеющими вертикальное падение. Крылья под углом 80° падают на запад, в связи

с чем структура приобретает изоклинальный характер. Крылья сложены метадиабазами и сланцами хаутоварской свиты. В осевой части синклинали развивается разлом, к которому приурочены интрузии габбро-амфиболов, дайки габбро-диабазов и плагиопорфиров.

Вистуккалампинская синклиналь протягивается от Хаутоварского массива габброидов до восточного борта Хорсюльской синклинали. Длина ее 18 км, ширина $1,5$ км. С востока она ограничена линейной антиклиналью, с запада – гнейсо-гранитами основания и разломом, развивающимся вдоль восточного края Хорсюльской синклинали. Падение крыльев вертикальное, либо крутое. Вистуккалампинская синклиналь выполнена преимущественно плагиопорфиром и сланцами ялонварской свиты. Глубинные горизонты ее сложены биотит-амфиболовыми кварцитами с вкрапленностью магнетита, принадлежащими к базальным слоям синемукской свиты. Вдоль восточной границы синклинали прослеживается разлом, к которому приурочены интрузии амфиболизированных габбро-диабазов и офиолиты.

Улялегский синклинальный прогиб намечается предположительно по контурам линейных положительных магнитных аномалий (см. рис.3) и выходам зеленокаменных пород, метапериодитов и сланцев, встречающихся в пределах этих аномалий. Состоит он из двух меридиональных ветвей, разделенных гнейсогранитными массивами. На юге ветви смыкаются в субширотную структуру, ограниченную Улялегским массивом гранитов рапакиви. Падение крыльев крутое и вертикальное. Длина ветвей синклинали в пределах территории листа 18 – 20 км, ширина – $1,5$ – 5 км. Улялегская синклиналь сложена биотит-амфиболовыми, гранат-биотитовыми, графитистыми и амфиболовыми сланцами синемукской свиты. Близ северо-западного берега оз. Шотозера намечается разлом, к которому приурочены тела метапериодитов с сопутствующими колчеданными жилами, а также жилы плагиомикроклиновых гранитов и пегматитов.

Коватъярвинско-Палалахтинский синклинальный прогиб протягивается в северо-западном, а затем в субширотном направлении от оз. Хисъярви до оз. Ведлозера, где соединяется с Синемукским прогибом. Северо-западная его часть, длиной 16 км и шириной 4 км, представляет собой Коватъярвинскую синклиналь, юго-западное крыло которой опрокинуто на северо-восток под углом 70 – 80° . Северо-восточное ее крыло усложнено антиклинальным перегибом (Ивкожской антиклиналью). Юго-западное крыло сложено лептитами и метаандезитами палалахтинской толщи, на которых залегают карбонатные породы и

сланцы коватъярвинской свиты. В северо-восточном крыле лепиты и карбонатные породы выклиниваются и вместо них появляются метадиабазы хаутоварской свиты. Опроекнутое залегание юго-западного крыла устанавливается по наличию над карбонатными породами лепитов и двупироксеновых сланцев палалахтинской толщи, тесно ассоциирующих с гнейсо-гранитами основания. В связи с этим стратиграфическая последовательность пород рассматривается нами от лепитов к более молодым трансгрессивным карбонатным породам. В.А.Соколов /9/ относил лепиты оз.Кавадъярви к парасланцам ладожской серии. Карбонатные породы и метадиабазы рассматривались им как образования более древней, чем ладожская, сортавальской серии. Основываясь на этом, В.А.Соколов полагал, что вся Коватъярвинская структура является антиклиналью. Вдоль Ивкоожской антиклинали и вдоль юго-западного крыла Коватъярвинской синклинали развиваются разломы с приуроченными к ним интрузиями амфиболизированных габбро-диабазов и габбро-амфиболитов.

Юго-восточная часть Коватъярвинско-Палалахтинского прогиба образована Палалахтинской синклиналью, характеризующейся малой (I-I,3 км) шириной и длиной 18 км. Крылья структуры имеют крутое и вертикальное падение. Северный борт ее образован крутопадающими ($70-80^{\circ}$) на юг гнейсогранитами основания, облекаемыми древнейшими эфузивами. Синклиналь выполнена сланцами и карбонатными породами коватъярвинской свиты. С юга она ограничивается границами рапакиви.

Синемукский синклинальный прогиб располагается в южной части территории листа и полностью перекрыт четвертичными отложениями. Сведения о его строении базируются на геофизических данных И.А.Пахтеля /58/, на результатах бурения двух структурно-поисковых скважин 1964 г. и скважин 1969-1970 гг. /23/ на южной границе площади листа. Синемукский прогиб имеет меридиональное направление, к югу сменяющееся на широтное. Длина его 30 км, ширина - 2-4 км. В районе оз.Ведлозера его продолжением являются меридиональный Чалкинско-Ведлозерский и субширотный Коватъярвинско-Палалахтинский синклинальные прогибы. Северо-восточный и восточный борта Синемукского синклинального прогиба образованы гнейсогранитным массивом, облекаемым древнейшими эфузивами палалахтинской толщи, падающими на запад под углом $70-80^{\circ}$. Восточное крыло прогиба также круто падает на запад под углом 80° , сложено оно карбонатными породами, гранат-биотитовыми и кордиерит-биотитовыми сланцами синемукской свиты. По характеру гравитационных и магнитных аномалий предполагается развитие этих пород до границы с массивом рапакиви, срезающим с

юга и с запада синемукский прогиб. Вдоль северо-восточного борта прогиба развивается разлом, к которому приурочены грейзенизованные граниты.

Верхний структурный ярус

Верхний структурный ярус сложен кварцит-доломит-сланцевыми породами туломозерской и заонежской свит, трансгрессивно залегающими на породах нижнего и среднего структурных ярусов. Образования туломозерской и заонежской свит выполняют впадины в фундаменте. На территории листа такой впадиной является Туломозерская мульда, расположенная в месте пересечения меридиональной Туломозерско-Костомукской и субширотной Коватъярвинско-Палалахтинской тектонических зон (см. рис.4).

Туломозерская мульда имеет неправильные очертания. Ее три замка вытянуты по направлениям этих тектонических зон. Северный замок ориентирован в меридиональном направлении в соответствии с Туломозерско-Костамукской зоной. Вытянутость в субширотном и северо-западном направлениях юго-восточного и юго-западного замков предопределена наличием Коватъярвинско-Палалахтинской тектонической зоны. Длина мульды от северного до юго-восточного замка 20 км, максимальная ширина центральной части 10-12 км. Северо-западное и восточное крылья мульды, сложенные кварцито-песчаниками, глинистыми сланцами и карбонатными породами туломозерской свиты, полого, под углом $10-20^{\circ}$ залегают на выветрелых гнейсогранитах основания и на сланцах коватъярвинской и хаутоварской свит. Характерной особенностью мульды является ее асимметричное строение, выражющееся в отсутствии юго-западного крыла, срезанного Лоймольским разломом. Вдоль разлома внедрялись интрузии габбро-диабазов и шло непрерывное поднятие Ивкоожской блок-антеклинали, в связи с чем на месте юго-западного крыла не существовало условий для формирования средне-протерозойских отложений. Центральные части мульды выполнены сланцами заонежской свиты и интрузиями среднепротерозойских габбро-диабазов.

Разрывные нарушения

На территории листа выделяются разломы низне-, средне- и возможно, позднепротерозойского времени (рифейские?). Низнепротерозойские разломы глубокого заложения прослеживаются по цепочкам офиолитов и интрузий основных пород. Разломы такого типа возникают на ранних этапах развития Чалкинско-Ведлозерского и Уля-

легского синклинальных прогибов. В Чалкинско-Ведлозерском прогибе разломы приурочены либо к осевым, либо к краевым частям синклиналей низшего порядка (Хорсюльский, Вистуккалампинский и Хаутоварско-Игнайловский разломы). Вероятно, такого же типа разлом располагается вдоль Коватъярвинско-Палалахтинского синклинального прогиба, так как к нему приурочены цепочки интрузий нижнепротерозойских габбро-амфиболитов и амфиболизированных габбро-диабазов. Однако, в связи с тем, что ультраосновных интрузий в Коватъярвинско-Палалахтинском разломе пока не выявлено, судить о степени его глубинности трудно. К зонам сочленения нижнепротерозойских синклинальных прогибов с породами основания приурочены интрузии нижнепротерозойских гранитов, сопровождаемые ареалами мигматизации. На территории листа разломы с приуроченными к ним гранитоидами прослеживаются в породах основания вдоль границ Чалкинско-Ведлозерского и Улялеского синклинальных прогибов.

Лоймольский и параллельный ему Хисъярвинский разломы развиваются вдоль крыльев Коватъярвинской синклиналии. В них располагаются интрузии амфиболизированных габбро-диабазов и габбро-амфиболитов. Позднепротерозойские разломы, связанные с рифейской (?) активизацией тектонической деятельности, устанавливаются по приуроченности к ним малых интрузий грейзенизированных гранитов, грейзенов, пегматитовых и рудных кварцевых и кварц-карбонатных жил. Примером могут служить Ведлозерский, Кайназъярвинский и Фаддейн-Кельевский разломы.

К Кайназъярвинскому разлому, развивающемуся в зоне сочленения Няльмозерской антиклиналии с гнейсо-гранитами основания, приурочены серии кварц-карбонатных жил, несущих полиметаллическое оруденение (см. рис.4). Кайназъярвинский разлом омоложен в позднепротерозойское время. В нем проявляются оловоносные грейзены, накладывающиеся на катаклазированные лепиты.

Ведлозерский разлом, возникший в зоне сочленения Синемукского прогиба с гнейсо-гранитами основания, устанавливается по наличию в нем грейзенов и грейзенизированных гранитов, содержащих признаки оловянной минерализации.

Фаддин-Кельевский разлом сечет Туломозерскую мульду и прилегающие к ней с севера гнейсо-границы. К разлому приурочены грейзены, кварц-карбонатные и кварцевые жилы с медно-полиметаллическим оруденением.

Молодые разломы, образованные с северной части территории листа и в гранитах рапакиви, выделены на основании совпадения данных дешифрирования с линейными аэромагнитными аномалиями. Мол-

одые разломы носят характер раскрывшихся трещин, к которым приурочена гидросеть. Амплитуды их незначительны и в масштабе карты они почти не выражаются. Лишь в отдельных случаях наблюдается некоторое смещение гнейсовидности между блоками гнейсо-гранитов. В связи с тем, что территория листа располагается в зоне активизации Балтийского щита /68/, молодые разломы следует проверить на рудоносность.

ГЕОМОРФОЛОГИЯ

Современный рельеф

Современный рельеф территории листа развивался на докембрийских породах. Главные его элементы формировались в течение длительного процесса денудации докембрийских складчатых структур. В настоящее время рельеф этой территории представляет собой пенеплен. В четвертичный период на поверхности докембрийских пород отлагался неоднородный по мощности покров ледниковых, водно-ледниковых и других осадков, снизевавших поверхность древнего пенеплена.

По характеру современного рельефа территория листа делится на две зоны. В северной зоне, где мощность покрова четвертичных отложений незначительна (от 0,5-8 м) или они совершенно отсутствуют, развит структурно-денудационный рельеф докембрийского кристаллического основания. В южной и юго-восточной частях площади листа сплошной покров четвертичных отложений мощностью от 15 до 100 м перекрывает неровности кристаллического основания. Здесь развиты аккумулятивные, ледниковые и водно-ледниковые формы рельефа. В районе оз. Синемуксы и восточного контакта Салминского массива рапакиви, где р. Видлица и ее притоки промывают глубокие долины, рельеф носит эрозионный характер.

Структурно-денудационный рельеф. Формы рельефа северной и восточной части листа обусловлены складчатыми структурами протерозойских пород. В пределах Чалкинско-Ведлозерского синклинального прогиба нижнепротерозойские складчатые структуры имеют меридиональное направление. Основные формы рельефа в этом районе ориентированы в том же направлении, что хорошо наблюдается в районе гряд Иялма, Рыбовара, в долине р. Кайназ и других местах. Рельеф в значительной мере обусловлен литологией пород. Наиболее устойчивые по отношению к выветриванию диабазы, габбро-амфиболиты и амфиболизированные габбро-диабазы образуют грядообразные возвышенностии. Менее устойчивые кварц-серпентитовые, хлоритовые и другие сланцы приурочены к отрицательным формам рельефа.

Для северной и северо-западной части листа, в районах озер Суолампи, Исо-Котаярви, Колласъярви и р. Наровож наблюдается крупнохолмистый рельеф, обусловленный наличием куполовидных массивов гнейсо-гранитов, на которых встречаются ледниковые грани северо-западного направления. В районе севернее оз. Тулмозера эродированы силлы диабазов и габбро-диабазов, подстилаемые сланцы заонежской свиты. Наивысшая абсолютная отметка диабазовых интрузий, выходящих на дневную поверхность - 120 м, а подошвы их 80-90 м. Гряды диабазов обрамлены узкими долинами глубиной до 10-15 м, дно которых сложено сланцами заонежской свиты. Здесь проявилась избирательная денудация, которая развивалась вдоль контактов силлов с окружающими сланцами. Последние в первую очередь подверглись размыту и на месте их возникли узкие долины, а диабазы, как более устойчивые к выветриванию, образовали грядообразные возвышенности. Гряды, развитые в пределах Коватъярвянской структуры, ограничивающей Туломозерскую мульду с юго-запада, сложены зелеными сланцами, метадиабазами и доломитами хаутоварской и коватъярвянской свит. Легче поддающиеся выветриванию серicit-карбонатные, графитистые и другие сланцы залегают в узких депрессиях между ними.

Акумулятивный рельеф. В юго-восточной и южной частях площади листа развиты холмистые формы рельефа, сложенные ледниками и водно-ледниками отложениями. Ледниковые и водно-ледниковые аккумулятивные формы - моренные холмы и озы широко распространены вдоль восточной границы Салминского массива гранитов рапакиви и в расположенной к востоку от него Южно-Ведлозерской депрессии, где относительные превышения коренного рельефа по данным бурения 1964 г. составляют 100 м. Моренные холмы имеют куполообразную и неправильную форму, обладают пологим и крутыми склонами, высота их колеблется от 10-20 до 60 м. В понижениях между моренными холмами располагаются извилистые и прямолинейные озы. Преобладающее простижение их в Южно-Ведлозерской депрессии меридиональное и северо-западное. В районе Салминского массива направление моренных холмов, гряд и озов соответствует конфигурации куполовидных форм коренного рельефа. К ледниковым аккумулятивным формам относится также чехол абляционной морены мощностью 0,5-10 м, перекрывающий камы, озы, а также выступы и впадины основания. В районе д. Рогокоски и восточнее р. Видлицы к области развития моренных холмов примыкают аккумулятивные равнины, сложенные песками и галечниками водно-ледникового генезиса. Второй участок развития водно-ледниковых форм приурочен к депрессии оз. Шотозера, находящегося в северо-восточ-

ной части, где наблюдается развитие камов и озов.

Из озерных форм наиболее значительными по занимаемой площади являются озерные равнины, примыкающие с юга к озерам Сямозеро, Шотозеро и Тулмозеро. Аллювиальные формы наблюдаются реже, что объясняется слабым развитием гидрографической сети. Реки Тулемайоки, Видлица, Лоймок, Колласъяоки, Наровож и р. Шуя протекают в долинах, приуроченных к омоложенным древним разломам. В участках пересечения омоложенных разломов образуются озера тектонического происхождения: оз. Тулмозеро, Хисъярви, Суриярви и другие. Такие крупные озера как Ведлозеро, Шотозеро и Сямозеро, судя по расположению их вдоль границ резко различных гравитационных и магнитных региональных полей, также имеют, очевидно, тектоническое происхождение.

Собственноречные долины почти не разработаны и засыпаны валунами.

Широко развиты болотные равнины. Их конфигурация предопределяется рельефом местности, на которой они развиваются. В районах грядового денудационно-тектонического рельефа и озов они имеют вытянутую форму. На участках развития камов и крупнохолмистого рельефа форма впадин приближается к округлой.

Примером зерционного рельефа является современная долина р. Видлицы, прорезающая аккумулятивную равнину и холмисто-моренные образования в районе восточной части Салминского массива рапакиви. Ширина долины 20-40 м, глубина 40-80 м, борта часто отвесные. Пойменная терраса реки развита слабо, а в тех участках, где она имеется, сложена перемытыми валунами морены.

ПОЛЕЗНЫЕ ИСКОПАЕМЫЕ

В пределах площади листа встречаются как рудные, так и нерудные ископаемые, связанные с комплексом кристаллических пород и рыхлыми четвертичными отложениями.

Рудные полезные ископаемые представлены гематитовыми, лимонитовыми (озерными) рудами, медными, цинковыми, свинцовыми, никелевыми, молибденовыми, оловянными рудами и серным колчеданом. Из нерудных полезных ископаемых значительное место занимают месторождения полевых шпатов (керамическое сырье), доломитов, глин, а также песков, гальки и гравия, пригодных как смешанный балластный материал для дорожного строительства.

Среди перечисленных полезных ископаемых имеется семь месторождений с промышленными запасами: Няльмозерское - серного кол-

чедана, Коряльское и Брусничное Большое - полевых шпатов, Саригора, Лахта, Юргилица, Кохтусельга и месторождение у ст.Пески - строительных материалов, представленных галечниками, гравием и песками. Все другие месторождения, по которым подсчитаны запасы, в настоящее время требованиям промышленности не удовлетворяют и классифицируются как непромышленные. К таким месторождениям относятся Ануфриансельга, Рекунсельга, Суонансельга - гематитовых руд, Туломозерское, Ведлозерское и Гижезерское - лимонитовых озерных руд, Коватъярви - цинковых руд, Улялегское, Ведлозерское - серных колчеданов, Коряло и Щеккило - кирпичных глин, а также выработанные месторождения доломита - Мурдосельга, Раудониemi, Порансельга, оставшиеся запасы по которым не подсчитывались. Остальные многочисленные рудные полезные ископаемые рассматриваются какrudопроявления.

МЕТАЛЛИЧЕСКИЕ ИСКОПАЕМЫЕ

Черные металлы

Железо

На территории листа месторождения черных металлов представлены гематитовыми и лимонитовыми озерными рудами.

Гематитовые руды. В районе оз.Тулмозера известны 45 мелких месторождений и проявлений гематитовых руд. /9/ Наиболее существенными из них являются месторождения Ануфриансельга (П-1,6), Суонансельга (П-1,9) и Рекунсельга (П-1,8), расположенные в восточном крыле туломозерской мульды. Гематитовые руды приурочены к продуктивному карбонатно-песчано-сланцевому горизонту туломозерской свиты. Гематитовые руды образуют пластовые залежи длиной до 300 м. Суммарная длина известных выходов гематитовых руд составляет 20 км. Рудные залежи представляют собой переслаивание рудных и безрудных прослоев. Мощность собственно рудных прослоев 1-2 см до 1,6 м, средняя мощность 0,45 м. Оруденение неравномерное, имеет вкрапленный и гнездовой характер, приурочено к кварцito-песчаникам. Помимо гематита, в рудах присутствуют мартит, лимонит, магнетит. Содержание марганца в пробах, отобранных из руды различных месторождений, 0,02-0,04% и лишь в одной пробе - 0,5%. Суммарные запасы, подсчитанные Ю.С.Желубовским /38/ по всем Туломозерским месторождениям и рудопроявлениям, составляли 3270 тыс.т и оценивались им как непромышленные. По трем крупным месторождениям: Ануфриансельга, Суонансельга и Рекунсельга, по результатам поисково-разведочных

работ 1952 г. О.Н.Анищенковой /21/ были подсчитаны запасы, отнесенные в группу забалансовых. В пределах этих месторождений были оконтурены рудные пачки мощностью более 0,5 м, при среднем содержании железа 30%. Запасы по кат. С_I+С₂ составляют 863,02 тыс.т при среднем содержании железа 37,36%, фосфора и серы 0,023%.

Мизерные запасы Туломозерских месторождений и нерентабельность их дальнейшей разработки, установленные в результате проведенных СЭТГУ переоценочных геологических работ 1952 г., дали основание О.Н.Анищенковой /21/, Г.О.Глебовой-Кульбах /33/ и И.В.Барканову /24/ перевести эти месторождения в категорию рудопроявлений и непромышленных месторождений. К непромышленным они отнесли месторождения Ануфриансельга, Рекунсельга и Суонансельга, которые и показаны нами на карте полезных ископаемых.

Лимонитовые озерные руды. На территории листа известны месторождения железных руд осадочного происхождения, залегающие в виде тонких прослоев в прибрежных мелководных частях озер. Они представлены озерными рудами, жившими в XIX веках вместе с Туломозерскими гематитовыми месторождениями сырьевой базой для Туломозерского чугуноплавильного завода. В настоящее время этот тип руд практического значения не имеет. Железная руда добывалась со дна озер Тулмозера, Ведлозера и из других озер.

Туломозерское (П-2,3) месторождение, разрабатывавшееся в XIX в. для нужд Туломозерского завода, по данным Ю.С.Желубовского /42/, характеризуется очень малой мощностью рудного горизонта (5-6 см) и незначительными запасами. Оруденение установлено в восточной части оз.Тулмозера, на дне водоема и представлено бобовой, гороховой и пороховой рудой. Содержание в руде железа - 40%, марганца - 0,8%, фосфора - 0,44-1,8%. Несмотря на высокое содержание железа и присутствие маргарита, озерные руды практически мало интересны ввиду их небольшой мощности, разбросанности залежей отдельных месторождений и нерентабельности эксплуатации.

Цветные металлы

Из цветных металлов на описываемой площади известны непромышленное цинковое месторождение Коватъярви, рудопроявления полиметаллов, связанные с кварц-карбонатными жилами близ оз.Кайназъярви, старые медные рудники в районе оз.Тулмозера, проявления олова в районе хутора Григорьева и оз.Синемуксы и проявления никеля в районах деревень Хорсюля и Игнойлы.

Медь

В районах оз. Тулмозера, р. Колласйоки и ур. Фаддейн-Келья с начала XVIII в. известны медные рудники, которые ранее разрабатывались на медь. Произведенная ревизия рудников показала, что они все выработаны и практического интереса не представляют.

Рудопроявления меди и полиметаллов связаны с кварцевыми, кварц-карбонатными жилами и зонами грейзенизации, тяготеющими к Фаддейн-Кельевскому разлому, секущему диабазы Туломозерской мульды и гнейсо-граниты основания. В гнейсо-гранитах разлом опережает трещинами скальвания, к которым приурочены кварцевые, кварц-карбонатные и баритовые жилы с халькопиритом, пиритом, галенитом и сфалеритом, образующие Фаддейн-Кельевскую группу рудопроявлений. В пределах самой Туломозерской мульды, в зоне разлома, располагаются медные рудопроявления Юго-Коски и Букин-Перти.

Рудопроявление Фаддейн-Келья (П-I,4) расположено в 2 км на запад от д. Соны, в северо-западной части Фаддейн-Кельевского разлома. Четыре кварцевых жилы залегают в крутопадающих трещинах широтного направления, секущих грейзенизированные гнейсо-граниты. Форма жил неправильная, с раздувами и пережимами, длина их колеблется от 90 до 200 м, мощность от 0,6 до 6 м. Жилы прослежены по падению единичными скважинами до глубины 38-50 м, где их мощность по Г.О.Гукосяну /37/ составляет 0,13-0,4 м. Рудные минералы в жилах представлены халькопиритом, сфалеритом, галенитом, пиритом, халькозином, борнитом, ковеллином и малахитом. Нерудные: кварц, карбонат, турмалин, Грезенизированный гранит насыщен включениями пирита, сфалерита, халькопирита и галенита. Гранит, обогащенный пиритом, содержит 1,4 г/т золота и 24 г/т - серебра.

По данным химических анализов Г.О.Гукосяна /37/, в руде были установлены (в %) содержания свинца - 0,02-12, меди - 0,02-0,73 и цинка 0,04-0,27. Ю.С.Желубовским /41/ в рудах Фаддейн-Келья химическим анализом был выявлен кобальт в количестве 0,07%. На основании поисково-разведочных работ 1951 г. Г.О.Гукосян /37/ подсчитал запасы свинцовой руды по одной из наиболее крупных жил в количестве 3602 т, свинца 211,3 т. Г.О.Гукосян предполагает, что жилы срезаны эрозией и сохранились лишь их корневые части. В силу незначительных масштабов, ни медное, ни свинцовое орудение Фаддейн-Келья промышленного значения не имеет.

Рудопроявления Букин-Перти (П-I,13) и Юго-Коски (П-I,2) представлены небольшими (до 1 м мощности)

кварц-кальцитовыми жилами, приуроченными к центральной части разлома. В них содержатся халькопирит, кальцит, ковеллин, малахит, пирит. Оруденение носит вкрашенный характер. Обследование этих жил Ю.С.Желубовским /41/ на кобальт дало отрицательные результаты.

Приуроченность гидротермального оруденения и грейзенизации к Фаддейн-Кельевскому разлому, секущему архейские граниты и среднепротерозойские диабазы, дает основание предположительно связывать возникновение разлома с дрифейской (?) активацией, сопровождающейся образованием глубинных интрузий рудоносных гранитов. Для верхних уровней Фаддейн-Кельевского разлома характерна медная и свинцовая минерализация. В неизученных глубинных горизонтах (глубже 200-300 м), находящихся близ возможных гранитных интрузий, может появиться медно-оловянная и оловянная минерализация. В связи с этим весь Фаддейн-Кельевский разлом является интересным для поисков в его глубинных горизонтах медных и, возможно, оловянных руд.

Свинец

Проявление свинца Кариолан-Калатус (П-I,5) описано Г.О.Гукосяном /37/. Приурочено оно к двум кварцевым жилам, расположенным в зоне Фаддейн-Кельевского разлома. Длина жил 0,54-6 м и мощность их 4 и 10 см. Жилы сложены серовато-белым кварцем, содержащим гнезда и неравномерную вкрашенность галенита. Количество вкрашенников галенита в жиле достигает 10%. Вмещающими породами являются грейзенизированные микроклиновые граниты. Грейзенизация проявляется в окварцевании, мусковитизации и пиритизации. Рудопроявление малых размеров и практического значения не имеет.

Цинк

Непромышленное месторождение сфалерито-магнетитовых руд Коватъярви (П-I,19) расположено на северо-западном берегу оз. Кавадъярви в 1 км от берега. В пределах рудного поля месторождения имеются четыре пластовых залежи сфалерито-магнетитовых руд, залегающих среди скарнированных доломитов коватъярвинской свиты. Форма рудных залежей линзообразная, длина их колеблется от 45 до 210 м. Падение на юго-запад под углом 50-70°, согласное с падением вмещающих пород. Мощность рудных тел меняется от 1,5 до 6 м на глубине 70-90 м они выклиниваются.

Сфалеритовая и сфалерито-магнетитовая руда месторождения представляет собою тремолитовые скарны с густой вкрапленностью сфалерита и магнетита. В небольших количествах присутствует пирротин, халькопирит, галенит и марказит. По данным химических анализов П.И.Иванова /45/ и Е.П.Молотковой /53/ содержание (в %) цинка в рудах колеблется от 3,78 до 25,9 и кадмия - 0,02-0,09. Полный химический анализ сфалеритовой руды, выполненный институтом "Механобр" в 1936 г., показал следующие содержания (в %): SiO_2 - 18,56, P_2O_5 - 0,06, S - 7,15, MgO - 22,5, MnO - 0,29, Pb , Ti -сл., CaO - 8,5, Zn - 10, Ni , Cu - не обнаружены, Al_2O_3 - 0,6, $\text{Fe}_{\text{общ.}}$ - 22,49. Ю.С.Желубовским /41/ и Е.П.Молотковой /53/ спектральным анализом в руде был обнаружен кобальт в количестве 0,08%, Ю.С.Желубовским /41/ и П.И.Ивановым /45/ были проведены разведочные работы. П.И.Ивановым подсчитаны запасы цинка по кат. А+В - 4845,8 т и С₁+С₂ - 4810,6 т. Средние содержания цинка по отдельным рудным телам колеблются от 5,75 до 16,96%. Проведенные работы показали, что сфалеритовая руда может быть использована в качестве пигmenta. В связи с ограниченными запасами руды и бедностью ее другими компонентами, месторождение практического значения не имеет.

Рудопроявления цинка известны в пределах Няльмозерского рудного поля^{x/} и в районе оз.Кайназъярви. Рудопроявления связаны с кварцевыми и кварц-карбонатными жилами, приуроченными к Кайназъярвинскому разлому, срезающему с востока Няльмозерскую антиклиналь. Разлом прослеживается от оз.Кайназъярви на севере до оз.Туркалампи на юге. Поисково-съемочными работами, проведенными А.И.Ивановой /46/ и М.Е.Зильбером /44/, к западу и к югу от оз.Няльмозера были обнаружены кварцевые и кварц-карбонатные жилы на четырех участках: Кайназъярви (П-3,3), Няльмозерское рудное поле (П-3,4), Няльмозеро (П-3,6) и Туркалампи (Ш-3,4), расположенные в 3-4 км друг от друга. Мощность жил 0,4-2,5 м; жилы сложены кварцем, карбонатом, эпидотом, хлоритом и содержат гнезда и вкрапленники сфалерита и галенита. Содержание (в %) цинка в жилах по отдельным химическим анализам достигает 17, свинца 2 и кадмия 0,04. Кварц-карбонатные жилы секут кварц-серicitовые, хлоритовые и серицит-альбитовые сланцы, развивающиеся по кислым эфузивам. В южной части зоны разлома, северо-западнее оз.Туркалампи (Ш-3,2; Ш-3,3; Ш-3,5), оруденение локализуется в серицит-кварцевых и хлоритовых сланцах, насыщенных маломощными кальцит-кварцевыми порожилками с вкрапленностью сфалерита

^{x/} Няльмозерское рудное поле - это рудное поле Няльмозерского месторождения серного колчедана. - Прим. автора.

и галенита. Оруденелая зона прослежена до глубины 125 м, мощность ее здесь составляет 2,5 м, содержание (в %) цинка в руде 17,85, свинца 1,82 и кадмия 0,04.

В амфиболовых сланцах и сланцеватых амфиболитах, слагающих Няльмозерскую антиклиналь, в зоне разлома близ оз.Туркалампи (Ш-3,4) наблюдается вкрапленность халькопирита и пирротина. Содержание меди в оруденелых амфиболитах по химическому анализу одного штуфа составляет 1,1%.

В северной части разлома Кайназъярви (П-3,3) прослежена оруденелая зона на глубине от 37 до 167 м. Мощность оруденелой зоны 80 м, протяженность - 300 м, направление субмеридиональное. Оруденение связано с мелкими кварц-карбонатными прожилками, секущими порфиры и кварц-серицит-хлоритовые сланцы. Прожилки располагаются в брекчированных участках мощностью 0,3-0,6 м. Галенит и сфалерит в виде мелких гнездовых скоплений до 1x1,5 мм, в перечнике и прожилках мощностью 1-2 мм, насыщает эти участки. По данным химических анализов содержание цинка составляет 3,7% и свинца - 0,67%.

По мнению А.И.Ивановой /46/ и М.Е.Зильбера /44/, свинцово-цинковое оруденение генетически связано с Улялегским массивом гранитов рапакиви, промышленного интереса не представляет из-за незначительного содержания свинца и цинка и малых размеров зон оруденения. В отличие от М.Е.Зильбера и А.И.Ивановой, полиметаллическое оруденение, проявившееся в данной зоне разлома, автор данной записи связывает не с гранитами рапакиви, а с дайками плагиопорфиров, несущих рудные гидротермы /69/. В зоне Кайназъярвинского разлома не изучена вертикальная зональность. По имеющимся данным наличие полиметаллических руд свойственно верхней части разлома до глубины 150 м. Не исключена возможность появления на более глубоких горизонтах слепых тел плагиопорфиров, вторичных кварцитов и связанных с ними медноколчеданных руд.

Олово

Рудопроявления олова встречены в зонах Кайназъярвинского и Ведлозерского разломов и близ д.Улягели. Связаны они с грейзенизованными альбит-олигоклазовыми гранитами, грейзенами и с грейзенизованными кварц-полевошпатовыми породами, приуроченными к разломам.

В Кайназъярвинском разломе проявление олова было обнаружено близ хут.Григорьева (Ш-3,7) М.И.Рохлиным. По данным М.И.Рохлина /60/, оруденелая кварц-полевошпатовая порода образует пласто-

вое тело мощностью 0,8 м, падающее на запад под углом 70–80°. Залегает оно среди роговообманных сланцев в лежачем боку линзы серноколчеданных руд. Основная масса кварц–полевошпатовой породы сложена мелкозернистыми кварцем и альбитом. В основной массе имеются послойные прожилки крупнозернистого вторичного кварца. В кварцевых прожилках локализуются цепочкообразные скопления мелких зерен кассiterита, шеелита и сфалерита с примазками станина. С вторичным кварцем ассоциируют турмалин и мусковит. В основной массе наблюдается рассеянная вкрапленность кассiterита, галенита, арсенопирита и турмалина. По простирианию кварц–полевошпатовая порода вскрыта шурфами 7 и 8, расстояние между ними 400 м. Содержание олова по данным химических анализов двух задирковых проб, взятых по забоям шурфа 8 составляет 0,15 и 0,5% /60/. М.И.Рохлин считал кварц–полевошпатовую породу роговиком, образовавшимся за счет мергелей в зоне контакта с гранитами рапакиви, с которым он связывал сульфидно–кассiterитовое оруденение.

По мнению автора данной записки кварц–полевошпатовая порода представляет собой катаклазированный и грейзенизованный лептит. Это предположение основывается на сходстве минералогического состава и структур кварц–полевошпатовой породы с составом и структурами лептитов оз.Кавадъярви и одинаковым положением в геологическом разрезе этих пород среди метаморфизованных эфузивов палалахтинской толщи. В районе хут.Григорьева проходит Кайназъярвинский разлом, активизированный в предрифейское время /69/. Находящиеся в нем лептиты и роговообманные сланцы катаклазированы с образованием в них трещин отслоения. Трещины, развивающиеся вдоль контактов различных пород, выполнены серноколчеданными рудами, связанными с дайками нижнепротерозойских плагиопорфиров /69/. Позднее, в период рифейской активизации, открывались послойные трещины в лептитах, выполнявшиеся вторичными кварцем, мусковитом, турмалином, кассiterитом, шеелитом и сфалеритом, представлявшим типичную грейзеновую ассоциацию. Наличие грейзеновых образований и кассiterito–шеелитовой минерализации в катаклазированных породах палалахтинской толщи может косвенно указывать на существование в глубинных уровнях Кайназъярвинского разлома очагов рудоносных гранитов, возникших в период рифейской активизации. Принимая во внимание имеющиеся данные, автор записи рекомендует всю зону активизированного Кайназъярвинского разлома к дальнейшему изучению с целью поисков руд олова, вольфрама и других металлов.

Проявление грейзенов, грейзенизованных гранитов и связанный с ними оловянной минерализации в Ведлозерском разломе уста-

новлено близ оз.Синемуксы (IУ-3, I) В.В.Яковлевой в результате бурения скв. I 1964 г. Грейзенизованные граниты и грейзены встречены в II км к юго–востоку от оз.Ведлозера. Они находятся в крутоизогнутой (85°) на запад зоне нарушения мощностью 12 м, вскрытой на глубине 226 м и развивающейся вдоль контакта метаморфизованных эфузивов палалахтинской толщи с карбонатными породами синемукской свиты.

Грейзенизованные граниты – розовато–серые средне– и мелкозернистые породы. Они сильно серицитизированы, карбонатизированы, окварцовены и каолинизированы. Грейзены сложены кварцем, жильберитом и турмалином. Из рудных минералов встречаются бурый мелкозернистый кассiterит, лейкоксенитизированный титансодержащий радиоактивный редкоземельный минерал и сфалерит.

Проявления оловоносных грейзенов, грейзенизованных гранитов и кварц–полевошпатовых пород в Ведлозерском и Кайназъярвинском разломах делают их перспективными на поиски руд олова. Суммарная протяженность разломов, а следовательно и длина перспективной зоны составляет примерно 48 км. Выделенные оловоносные грейзенизованные граниты и кварцевые жилы являются самыми молодыми образованиями и, предположительно, связываются нами с гранитами рифейской активизации /67/.

Оловянная минерализация в районе д.Улялеги (I-4,2) была выявлена М.И.Рохлиным и Ю.С.Желубовским /II/ в контакте роговообманных и графитистых сланцев с пегматитовой жилой. Содержание олова по данным химических анализов составляет 0,05 и 0,07%. Под микроскопом кассiterит не устанавливается. На детальном участке № 4 в колчеданных рудах в очень незначительных количествах были определены станин, халькопирит, сфалерит и арсенопирит. Химическими анализами в рудах были найдены следы олова и золота, а также серебро – 9 г/т. А.Д.Каузовым /48/ в колчеданных рудах был определен кобальт – 0,01%. Оловянная и сульфидная минерализации, как и в предыдущих случаях, локализуются в омоложенной зоне нарушения, развивающейся вдоль контакта с гранитами рапакиви. Возможно, оловянная минерализация связана с рудоносными гранитами позднепротерозойской (?) активизации, расположенным в глубинных уровнях зоны нарушения.

Никель

Рудопроявления никеля связаны с ранними нижнепротерозойскими интрузиями основных и ультраосновных пород и с офиолитами, внедрившимися по разломам, развивающимися вдоль Хюрсюльской и

Хаутоварско-Игнайловской синклиналей Чалкинско-Ведлозерской структуры. Основные интрузии и офиолиты изучались М.Е.Зильбером /44/ и Е.П.Молотковой /54/.

В северной части замка Хюрсольской синклиналии располагается Хюрсольский массив (I-3,4) – расслоенный массив ультраосновных и основных пород, сложенный габброидами, метапироксенитами, метапериодитами и метаоливинитами, превращенными в серпентиниты, насыщенные магнетитом. По данным металлогенических исследований В.В.Яковлевой /69/, восточная и юго-восточная части интрузии являются долгоживающими подводящими каналами, что устанавливается по наличию в ультраосновных породах более молодых даек габбродиабазов и плагиопорфиров. К области подводящего канала приурочено наиболее существенное сульфидное медно-никелевое оруденение, локализующееся вдоль зон контактов метапериодитов, метаоливинитов и серпентинитов с габбродиабазами и плагиопорфираторами. Сульфидное медно-никелевое оруденение представлено нитевидными прожилками и скоплениями, концентрирующимися в брекчированных зонах контактов, и рассеянной вкрапленностью в серпентинитах и метапериодитах. Рудные минералы: магнетит, пирротин, халькопирит, пентландит, бравоит. Содержание сульфидного никеля в брекчированных зонах – 0,25–0,5%, составляя в среднем 0,3%. Содержание сульфидного никеля в серпентинитах, где присутствует рассеянная вкрапленность сульфидов, по данным М.Е.Зильбера /44/, составляет (в %) в среднем 0,2, меди – 0,88, кобальта – 0,03 и железа растворимого – 15,56. Протяженность восточной части интрузии, в которой прослеживаются тектонизированные никеленосные зоны, равна 20 км и ширина – от 400 до 800 м.

В настоящее время Хюрсольская интрузия изучена Карельской экспедицией (1965–1969 гг.) до глубины 150–200 м. В верхней части интрузии промышленных медно-никелевых руд не выявлено. В то же время глубинные зоны в юго-восточной и восточной перспективных частях интрузии обследованы бурением недостаточно.

Помимо Хюрсольской интрузии, известны мелкие тела офиолитов, расположющиеся в южной части – Хюрсольской (П-3,1), Хаутоварско-Игнайловской синклиналях (I-3,1) и в восточном борту Выстуккалампинской синклиналии (I-3,3). Вне Чалкинско-Ведлозерского синклинального прогиба имеется массив ультраосновных пород Суолали (П-2,1) и офиолиты в Улялегском прогибе. Все перечисленные интрузии сложены метапериодитами, серпентинитами и метапироксенитами, содержащими рассеянную вкрапленность пирротина, пентландита, бравоита и халькопирита. По химическим анализам отдельных штуфов содержание (в %) сульфидного никеля в офиолитах д.Хюрсоля и Иг-

нойлы – 0,08–0,26, меди – 0,02, кобальта – 0,01–0,3 и железа – II,49. С метапериодитами, встречающимися в районе д.Улялеги, ассоциирует залежь пиротиновых руд. По данным химических анализов И.К.Поликарпова /60/, содержание никеля в пирротиновой руде составляет 0,15% и меди 0,17%. Петрохимическая и рудная специализация метапериодититов Улялегского района пока не изучена.

Редкие металлы

Из редких металлов на территории листа известно рудопроявление молибдена.

Молибден

Рудопроявление молибдена связано с Хаутоварским массивом (I-3,2) нижнепротерозойских гранитов, приуроченных к антиклинальному перегибу между Хаутоварско-Игнайловской и Выстуккалампинской синклиналями Чалкинско-Ведлозерской структуры. По Е.П.Молотковой /44/, в юго-восточной части массива в микроклин-плагиоклазовых гранитах имеется вкрапленность молибдена в виде мелких чешуек и скоплений размеров 2x3 и 5x7 мм в поперечнике. Площадь с оруденением, оконтуренная канавами, составляет 56 км². Химические анализы 6-ти бороздовых проб оруденелых гранитов показали содержание молибдена от 0,004 до 0,025%. Граниты, содержащие вкрапленность молибдена, интенсивно сертифицированы и окварцовываны. Процесс сертификации и окварцевания Г.О.Глебова-Кульбах /6/ связывает с явлениями грейзенизации гранитов. В связи с малым масштабом оруденения рудопроявление практического значения не имеет.

Малый объем выполненных работ не дает возможности оценить молибеноносность всего Хаутоварского массива. Выполненные работы освещают небольшой участок, почему и нельзя дать оценку молибеноносности всего массива. В дальнейшем рекомендуется производить изучение массива на глубину 200–300 м и исследовать его эндогенные экзоконтакты, где не исключена возможность локализации промышленных концентраций молибденовых руд.

НЕМЕТАЛЛИЧЕСКИЕ ИСКОПАЕМЫЕ

Химическое сырье

Серный колчедан

На территории листа имеются промышленные и непромышленные месторождения серного колчедана. Промышленное месторождение – Няльмозерское, непромышленные – Ведлээрское и Улялегское.

Няльмозерское месторождение (П-3,5) серного колчедана расположено в 3 км к северо-западу от оз. Няльмозера. Оно приурочено к северо-восточному крылу Няльмозерской антиклинали, находящейся в южном конце Чалкинско-Ведлозерского прогиба. Крылья антиклинали сложены плагиопорфирами, серицито-кварцевыми и графитистыми сланцами.

Колчеданные руды залегают среди кварц-серицитовых сланцев и вторичных кварцитов, развивающихся по плагиопорфирам. Разведка залежей производилась в 1951-1955 гг. А.И.Ивановой и А.И.Болотиной /46/. Длина рудных залежей меняется от 90 до 507 м при мощности от 1 до 18,65 м. Простирание северо-восточное 20°, падение на северо-запад под углом 85°. В составе руд преобладает пирит при подчиненном значении пирротина. По текстуре и составу выделяются сплошные, полосчатые и вкрапленные пиритовые, пирротино-пиритовые и пирито-пирротиновые руды. В сплошной пиритовой руде содержание (в %) серы колеблется от 30 до 47, в полосчатой руде - 25-30 и во вкрапленной - 15-25. Кроме основных рудных минералов - пирита и пирротина, в рудах присутствуют сфалерит, галенит и халькопирит. По данным химических анализов технологических проб содержание металлов в руде следующее (в %): цинка - 0,15, свинца - 0,03, меди - 0,03, кобальта - 0,005.

Технологические испытания показали, что вся руда месторождения пригодна для сернокислотного производства. Общие запасы серного колчедана, подсчитанные А.И.Ивановой /46/ по кат. В+С₁, составляют 5495 тыс.т. В случае необходимости, запасы могут быть увеличены за счет доразведки более глубоких горизонтов рудных залежей.

Ведлозерское непромышленное месторождение (Ш-3,6) серного колчедана находится в 6 км к северо-западу от оз. Ведлозера и приурочено к крутопадающему юго-западному крылу Няльмозерской антиклинали. Колчеданные руды ассоциируют с вторичными кварцитами, развивающимися близ даек плагиопорфиров. На рудном поле месторождения имеется три залежи длиной от 160 до 320 м и мощностью от 1 до 10 м. Простирание их северо-западное 350°, падение на северо-восток под углом 60-80°. Руды представлены сплошными, полосчатыми, вкрапленными и брекчиеидными разновидностями. Сплошные руды - богатые, вкрапленные и полосчатые - бедные. Основными рудными минералами являются пирит и пирротин, второстепенными - халькопирит, сфалерит, галенит и пентландит. Содержание (в %) серы в сплошных рудах 22-47, во вкрапленных - 17-30. Средневзвешенное содержание железа по залежам колеблется от 28,98 до 39,43%. По данным химических анализов

содержание (в %) меди в руде - 0,045, никеля - 0,041-0,066 и установлены следы кобальта. Технологические испытания показали, что руды Ведлозерского месторождения пригодны для сернокислотной промышленности. Запасы серного колчедана, подсчитанные А.И.Ивановой /47/ по кат. В+С₁ составляют 557,8 тыс.т с содержанием серы выше 25%, по кат. С₁ 290,4 тыс.т с содержанием серы ниже 25%. Ввиду небольших размеров залежей, при разведке на глубину более 200 м значительных запасов ожидать нельзя.

Улялегское месторождение (П-4,2) серного колчедана находится на северо-западном берегу оз. Шотозера, выявлено оно в 1933 г. М.И.Рохлиным и И.К.Поликарповым /51/. На участке месторождения развиты роговообманковые и биотит-графитовые сланцы, секущиеся телами метапериодитов. Рудные залежи сложены пирротино-пиритовыми рудами, приуроченными к зоне контакта с метапериодитами. Длина залежей 10-80 м, мощность 1-6,5 м. В 1941 г. месторождение разведывалось Д.А.Каузовым и Т.А.Марениной /49/. Ими были подсчитаны суммарные запасы по кат. В+С₁+С₂ в количестве 198794 т. По мнению авторов, прирост запасов может быть произведен за счет разведки на глубину и до разведки неизученных участков.

Керамическое сырье Половой шпат

Пегматитовые жилы образуют крупные месторождения полевошпатового сырья Брусничное Большое и Юрьянское (I-4,2) и находятся они в 4 км к северо-западу от д. Улялеги, где прорывают роговообманковые сланцы синемусской свиты /10, 48/. На участке месторождения Брусничное Большое имеется три крупных выхода пегматитовых жил общей площадью 50000 м². На Юрьянском месторождении пегматитовая жила имеет длину 400 м, видимую мощность 200 м. Структура пегматита графическая, гранит-пегматитовая и блоковая. Минералогический состав жил: микроклин, плагиоклаз, кварц, мусковит (чешуйки и мелкие пачки), биотит, турмалин, гранат, апатит, хлорит, серицит и рудный минерал. В 1941 г. месторождения Юрьянское и Большое Брусничное разведывались И.В.Моисеевым и Л.Б.Паасикиви /52/. В результате разведочных работ были подсчитаны запасы пегматита по кат. В+С₁+С₂ в количестве 837982 т. Увеличение запасов может быть произведено за счет доразведки неизученных участков. Участки месторождений сближены, в связи с чем на карте они показаны как одно крупное месторождение.

Прочие неметаллические
ископаемые
Шунгитоносные сланцы

Углисто-глинистые (шунгитоносные) сланцы развиты в центральной части Туломозерской мульды, где они в виде узкой полосы меридионального направления прослеживаются западнее д. Колатсельги и д. Соны на расстоянии 16 км. Шунгитоносные сланцы встречаются также в районе озер Калаярви и Ивкожское. Общая площадь, занимаемая шунгитоносными сланцами, составляет около 15 км².

Проявление шунгитоносных сланцев Калаярви (П-1, I5). В районе озер Калаярви и Ивкожское имеются выходы пласта углисто-глинистых сланцев, разведывавшихся Ю.С. Желубовским /42/ канавами и шурфами до глубины 2 м и по простианию на 140 м. Мощность пласта 3-25 м. Запасы шунгитоносной породы по кат. В - 3500 т. В 1930 г. Лужским тигельным заводом было произведено испытание двух валовых проб сланцев. Результаты анализов следующие (в %):

	Проба I	Проба II
Зола	65,73	57,57
Летучих	II,40	I3
Углерода	22,87	до 30
Сумма	100	100,5

Содержание в золе сланцев ванадия - 0,03%.

Как видно из анализов, сланцы характеризуются высокой зольностью и малым содержанием углерода.

Согласно современной технологической классификации шунгитов, изложенной в справочнике "Шунгиты - новое комплексное сырье", опубликованном институтом геологии Карельского филиала АН СССР в 1971 г., рассматриваемые сланцы относятся к многозольным и среднезольным разновидностям. Они применяются как облицовочный материал и могут быть использованы в качестве агроруд и легкого заполнителя бетона - шунгизита. Ввиду малых размеров, данное проявление шунгитоносных сланцев является непромышленным. В дальнейшем следует доизучить участок Калаярви, а затем и всю площадь (15 км²) распространения шунгитоносных сланцев с целью оценки их как комплексного сырья на агроруды, строительные и термохислотоупорные материалы.

СТРОИТЕЛЬНЫЕ И ДРУГИЕ МАТЕРИАЛЫ
Известенные породы
Граниты

Граниты имеют широкое распространение в северо-западной и западной части листа. На северо-западе они представлены архейскими гнейсо-гранитами, на западе - гранитами рапакиви. Те и другие имеют хорошо выраженные пластовые и вертикальные трещины отдельности, что, по-видимому, дает возможность получать крупные монолиты. Окраска гранитов меняется от серой до красной. Вопрос об использовании гнейсо-гранитов как строительного камня требует специальных исследований. Граниты рапакиви, находящиеся в западной части листа, могут быть использованы как щебень для строительства. Добыть их удобно с помощью карьеров.

Карбонатные породы
Доломиты

Доломиты, развитые в восточной части Туломозерской мульды, разрабатывались как флюсовое сырье для Туломозерского чугуноплавильного завода. В этом районе, в урочищах Пюрансельга, Шарлу-Лухтан, Раудо-Ниemi были встречены старые карьеры, а на урочище Мурдосельга - обжиговые печи. В 1931 г. Ю.С. Желубовский /42/ выборочно опробовал доломиты этого района. Было взято 10 бороздовых проб, которые анализировались в лаборатории ЛГУ. Результаты анализов приведены в табл. 3.

Таблица 3

Содержание, %	CaO	MgO	Fe ₂ O ₃	S	H ₂ O	п.п.п.
Максимальное	31,47	28,88	0,04	0,029	II,80	46,16
Среднее	30,29	21,46	0,03	0,024	4,58	44,97
Минимальное	29,21	18,32	0,03	0,021	2,64	41,28

Данные химического анализа свидетельствуют о том, что среди доломитов восточной части Туломозерской мульды имеются разности, пригодные для производства флюса и строительной извести. Участок распространения доломитов, включая названные урочища, выделяется как перспективный для поисков месторождений флюсового сырья.

Глинистые породы
Глины кирпичные

На территории листа, по данным Г.П.Гукова /35/, известны выходы суглинистых пород, которые использовались местным населением для изготовления кирпича. Суглинистые породы разрабатывались ямами глубиной до 1,5 м. Старые ямы и разрушившиеся кустарные заводы имеются близ д.Савиалахти, Вагаярви и Куйковары. Из-за малых масштабов проявлений суглинистых пород, их невысокого качества и отсутствия запасов, данные проявления на карте не показаны.

Наиболее интересными являются проявления ленточных глин, развитые в долине р.Шуи и по берегам оз.Шотозера близ д.Кюрьялы (П-4,3). Описаны они Ю.С.Желубовским /42/. Глина синевато-серая, неясно слоистая. Мощность пласта глин колеблется от 3 до 8-10 м. У д.Кюрьялы, расположенной на берегу оз.Шотозера, некогда существовал кирпичный заводик. Площадь развития и качество ленточных глин не изучено. Сведения о запасах отсутствуют. Принимая во внимание, что в данном районе имеются глины, а не суглиники, рекомендуем его к дальнейшему изучению. Помимо района оз.Шотозера, месторождение ленточных глин, по данным И.В.Олиной /56/, известно близ д.Щеккило (III-4,1). Глины этого участка пригодны для изготовления вручную кирпича по мокрому способу. Запасы глин - 7470 м³. В связи с малыми запасами, месторождение с баланса снято и относится к непромышленным /56/.

Обломочные породы
Галька, гравий, песок

Месторождения балластного материала Саригора (П-2,2), Лахта (III-2,1), Кохтуセルга (III-2,2) и Юрлица (III-3,8) расположены вдоль шоссейной дороги Петрозаводск-Сортавала. Близ железной дороги Петрозаводск-Суоярви находится месторождение Пески (I-4,1), ранее разрабатывавшееся финнами. Первые четыре месторождения разведаны В.И.Александровым и В.И.Хютте в 1960-1961 гг. /20/. Месторождения приурочены к позднеледниковым флювиогляциальным отложениям. Они сложены крупно-среднезернистыми песками с переменным количеством гравия, гальки и мелких валунов. Песок кварцевый, пылеватые частицы почти отсутствуют. Мощность полезной толщи колеблется от 1,75 до 5,5 м, в среднем составляя 3,2 м.

По данным В.И.Александрова /20/ устанавливается следующий литологический состав полезной толщи (табл.4).

Таблица 4

Месторождение	Литологический состав			Содержание пылевато-глинистых частиц, %	
	Песок	Гравий	Валуны	Песок	Гравий
Саригора	57,3	42,1	-	2,8	0,7
Лахта	37,9	49,1	13	6,1	0,7
Кохтуセルга	44,9	48,4	6,7	5,1	1,1
Юргилица	56,5	41,6	1,9	2,8	0,50

Месторождения разведаны по кат. С₁ и С₂. Суммарные запасы горной массы по четырем месторождениям, указанным в таблице составляют 429 тыс.м³. Разведанный балластный материал может быть применен для строительства и ремонта дорог и шоссе.

Песок строительный

Пески имеют широкое распространение в южной, восточной и северо-восточной части площади листа, где развиты камы и террасированные равнины. Пески представлены тонко-, мелко-, средне- и крупнозернистыми разновидностями, в отдельных прослоях со значительным количеством гальки и валунов. Пески этого типа характеризуются перемежаемостью отдельных фракций. Более однородным составом обладают камовые пески. Последние разрабатываются для дорожного строительства. Песчаные карьеры имеются в окрестностях д.Рогачески (IУ-3,2), находящейся в южной части территории листа.

ГОРЮЧИЕ ИСКОПАЕМЫЕ

Твердые горючие ископаемые
Торф

Торфяно-болотные отложения распространены широко. Они представлены торфяниками и слабо разложившимися мхами. Мощность торфяного покрова 30-40 см, местами - 3 м. Торфяные болота с наиболее мощным торфяным покровом встречаются к северо-западу от оз.Сямозера, к СЗ от оз.Ведлозера ("Финское болото") и в других местах. Как указывает Г.П.Гуков /36/, разработка торфа ведется

в очень незначительных масштабах. Он используется местным населением в качестве удобрения и для утепления построек.

ПОДЗЕМНЫЕ ВОДЫ

Территория листа покрыта гидрогеологической съемкой масштаба 1:200 000, выполненной Пятым геологическим управлением в 1958–1960 гг. /35, 36/. Настоящий раздел записки составлен по материалам этих исследований. Использованы также материалы гидрогеологических исследований из отчета Ю.С. Желубовского и др. /41/ и материалы, полученные при разведке Няльмозерского и Ведлозерского месторождений серного колчедана /46, 47/.

Подземные воды на территории листа приурочены к четвертичным отложениям и к трещиноватым кристаллическим породам. Вследствие того, что воды в четвертичных отложениях и коренных кристаллических породах не разделяются водоупорными слоями, они представляют собой единый водоносный горизонт.

По условиям залегания подземные воды имеют преимущественно безнапорный характер. Глубина залегания зеркала водоносного горизонта колеблется от 0 до 16–20 м. Неглубоким залеганием уровня вод характеризуются заболоченные пониженные участки в северной части листа, где обводненность является почти вся толща четвертичных отложений. На возвышенных участках глубина уровня возрастает. Нередки случаи, когда маломощный появившийся четвертичных образований на вершинах возвышенностей и их склонах оказывается необводненным. Наиболее распространенной глубиной залегания водоносного горизонта можно считать 1,0–4,0 м. Естественные выходы подземных вод в виде источников имеют небольшие дебиты (до 0,1–0,5 л/с).

Питание водоносного горизонта осуществляется за счет атмосферных осадков. Это определяет и характер режима подземных вод. Минимальное стояние зеркала водоносного горизонта отмечается в марте, а максимальное в мае. Амплитуда колебаний уровня изменяется от 0,3 до 1 м, причем на заболоченных пониженных участках изменения меньше, чем на возвышенных. Среди четвертичных отложений водоносными являются гравийно-галечные, песчаные и супесчаные разности во всех генетических типах этих отложений. Наибольшим распространением на территории листа пользуются моренные супеси и разнозернистые пылеватые пески, водообильность которых отличается большой пестротой. Коэффициент фильтрации моренных песков и супесей, определенный по данным откачек из шурfov, колеблется в широких пределах от 0,4 до 5,57 м/сутки.

Более высокой водообильностью отличаются позднеледниковые гравийно-галечные и песчаные образования, которые распространены в южной половине листа. Последниковые озерные и аллювиальные пески имеют небольшое развитие. Торфники болот обводнены на всю мощность, но отличаются слабой водоотдачей.

Воды в коренных кристаллических породах приурочены к трещиноватым зонам и отдельным трещинам. Водообильность коренных пород находится в прямой зависимости от степени трещиноватости. Сравнительно сильная трещиноватость отмечается в верхней части разреза до глубины 30–60 м, но отдельные трещины прослеживаются до 100 м и более. Невыдержанность трещиноватости в массиве коренных пород определяет значительную пестроту их водопроницаемости и водообильности. Это подтверждается широким диапазоном коэффициента фильтрации, определенного по данным опытных работ (0,0095–0,21 м/сутки). Среди коренных пород, развитых на территории листа, относительно высокой водопроницаемостью отличаются различные сланцы; меньшую водопроницаемость имеют гнейсо-границы и граниты. Коренные породы слабо водообильны с преобладающим дебитом скважин до 1 л/с. Подземные воды относятся к пресным (минерализация 34–198 мг/л), мягким (жесткость общая 0,28–3,23 мг·экв/л), слабо кислым до слабо щелочных. По химическому составу они хлоридно-гидрокарбонатные, магниево-кальциевые, пригодны для питья и технических нужд.

Для целей водоснабжения могут использоваться воды четвертичных и коренных пород, но в ограниченных масштабах.

ОЦЕНКА ПЕРСПЕКТИВ РАЙОНА

Основываясь на имеющихся структурно-геологических, геофизических и металлогенических данных, на территории листа представляется возможным выделить ряд перспективных площадей на поиски руд полиметаллов, меди, олова, молибдена, никеля и серных колчеданов (рис.5).

МЕТАЛЛИЧЕСКИЕ ИСКОПАЕМЫЕ Черные металлы Железо

Перспективы выявления промышленных железных руд практически отсутствуют. В связи с тем, что территория листа полностью покрыта аэромагнитной съемкой масштаба 1:200 000 и все существенные аномалии разбурены и изучены, перспектива выявления крупных ано-

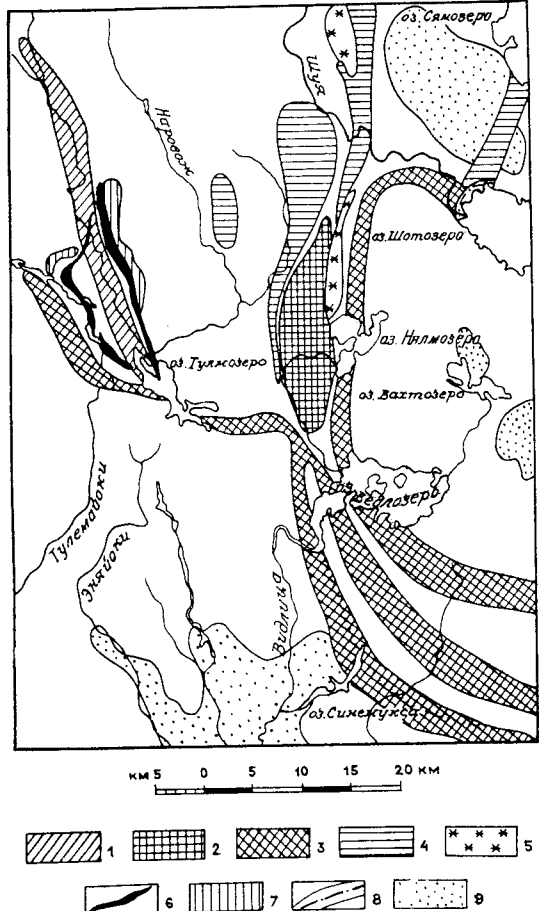


Рис.5. Оценочно-перспективная карта

Перспективные площади: 1 - на медные и полиметаллические руды; 2 - на медные, полиметаллические руды и серные колчеданы; 3 - на оловянные, медные и железо-полиметаллические руды; 4 - на медно-никелевые руды; 5 - на молибденовые руды; 6 - на шунгитоносные сланцы; 7 - на доломиты (флюсовое сырье); 8 - на глины; 9 - на пески и гравийно-галечный балластный материал

малий, а следовательно и возможность обнаружения связанных с ними месторождений промышленных железных руд маловероятна.

Цветные металлы Медь, свинец, цинк и олово

Перспективными площадями для поисков концентраций руд меди, цинка, свинца и олова являются омоложенные разломы (см. рис.4). К категории таких нарушений относятся Фаддейн-Кельевский, Кайназъярвинский, Ведлозерский и Коватъярвинско-Палалахтинский разломы.

Фаддейн-Кельевский, разлом сечет в северо-западном направлении гнейсо-граниты основания и метадиабазы Туломозерской мульды. Для верхних уровней разлома свойственна медная и полиметаллическая минерализация, предположительно связанная с интрузиями гранитоидов активизированной зоны. В связи с этим представляют интерес неизученные глубинные (300-500 м) горизонты разлома, где не исключена возможность обнаружения концентрации медных, а возможно и оловянных руд. Принимая это во внимание, автор данной записи считает возможным рекомендовать всю полосу Фаддейн-Кельевского разлома протяженностью 25 км и его глубинные горизонты * доизучению.

Кайназъярвинский разлом, отделяющий Нильмозерскую антиклиналь от гнейсо-гранитов основания, характеризуется проявлениями в его верхнем уровне (до 100 м) цинковой и свинцовой минерализации. Вертикальная рудная зональность разлома не изучена. В то же время в его более глубоких (300-500 м) горизонтах возможно обнаружение медных колчеданных руд, связанных с вторичными кварцитами, ассоциирующими со слепыми дайками плагиопорфиров. Кайназъярвинский разлом ожидался в период рифейской (?) активизации. Последняя сопровождалась образованием рудоносных гранитов, с которыми связано проявление оловянного грейзенового оруденения, наложенного на скопления синемутской свиты и на ороговикованные эфузивы палалахтинской толщи, находящиеся в зоне разлома близ хут. Григорьева. Содержание олова в грейзенизованных ороговиковых эфузивах, по данным химических анализов, колеблется от 0,2 до 0,5% /60/. Грейзены Кайназъярвинского разлома аналогичны оловянным грейзенам месторождения Питиляранта, находящегося за пределами территории листа в Восточно-Ладожской зоне активизации /69, 70/.

Учитывая имеющиеся данные, автор записи рекомендует зону Кайназъярвинского разлома для поисков практически интересных

концентраций руд олова, цинка и меди. Длина перспективной полосы, располагающейся вдоль активизированного разлома, составляет 18 км и ширина 2-3 км.

Ведлозерский разлом является южным продолжением Кайназъярвинского и протягивается от оз. Ведлозера к юго-восточу на расстоянии 30 км. Разлом приурочен к контакту толщи древнейших эфузивов с карбонатно-сланцевыми породами синемукской свиты. В его южной части встречены грейзенизированные альбит-олигочлазовые граниты и грейзены с оловянной минерализацией. Выделенный Ведлозерский разлом и прилегающие к нему территории закрыты четвертичными отложениями мощностью от 5 до 100 м, почему ранее этот район не изучался. Приуроченность оловорудных грейзеновых проявлений к Ведлозерскому разлому делает его перспективным на поиски олова и редких металлов. Протяженность перспективной зоны, выделенной вдоль разлома, составляет 30 км.

Зоны нарушения, аналогичные описанным, прослеживаются вдоль Коватъярвинской синклинали и вокруг Улялагского массива гранитов ралачиви. Они приурочены к понижениям рельефа, заполненным четвертичными отложениями, совершенно не изучены, почему и выделяются на карте, как возможные перспективные участки для поисков медных и оловянных руд.

Поиски медных колчеданных руд следует произвести на площади Синемукского синклинального прогиба. В этом случае колчеданные руды могут быть связаны со скарнами синемукской свиты и с древнейшими эфузивами палахтинской толщи.

Никель

Перспективными площадями для поисков сульфидных никелевых и медно-никелевых руд являются площади Хюрсольской и Хаутоварско-Игноловской синклиналей. К бортам этих структур приурочены разломы, по которым шло поступление никеленосных ультраосновных и основных магм, давших серию офиолитов и образовавших Хюрсольский массив. Содержание никеля в ультраосновных породах превышает члартовое, в среднем составляя 0,2%. Детальное изучение Хюрсольского массива, произведенное Карельской экспедицией (1964-1968 гг.), до глубины 150-200 м положительных результатов не дало. Остались недоизученными подводящие каналы, сосредоточенные в юго-восточном и восточном узле Хюрсольского интрузива. На этих участках рекомендуется продолжить поиски эпигенетических сульфидных никелевых руд до глубины 500-600 м бурением.

Совершенно неизученным в отношении никелевых руд остался массив ультраосновных пород суолампи, прорывающий гнейсо-граниты основания и находящийся в 6 км к западу от Хюрсольского интрузива. Все перечисленные объекты рекомендуются к дальнейшему изучению с целью поисков сульфидных никелевых руд.

Редкие металлы

Молибден

Перспективным участком для поисков молибденовых вкрапленных руд является Хаутоварский массив гранитоидов, в котором известно рудопроявление молибденита штокверкового типа с содержанием молибдена 0,025%. Массив рекомендуется доизучить бурением на глубину (200-300 м) и детально исследовать с поверхности его эндогенные экзонтакты.

Неметаллические ископаемые

Химическое сырье

Серный колчедан

Увеличение серноколчеданной базы на территории листа возможно за счет прироста запасов известных серноколчеданных месторождений. Для этого следует доразведать их глубинные горизонты.

Керамическое сырье

Полевой шпат

Значительные запасы полевого шпата сосредоточены в месторождениях Брусничное Большое и Юрьяльское, расположенных близ д. Улялеги. Увеличение запасов керамического сырья может быть произведено за счет доразведки месторождений с флангов и на глубину, а также выявление новых пегматитовых тел на прилежащих площадях.

Прочие неметаллические ископаемые

Шунгитоносные сланцы

Поиски разновидностей шунгитоносных сланцев, пригодных как комплексное сырье на агроруды, строительные и термоэластичные материалы рекомендуется производить в пределах развития горизонта

углисто-глинистых сланцев, прослеживающихся в центральной части Туломозерской мульды на площади около 15 км^2 .

СТРОИТЕЛЬНЫЕ И ДРУГИЕ МАТЕРИАЛЫ

Известковые породы

Граниты

Граниты на территории листа распространены очень широко и запасы их неограничены. В строительстве могут быть использованы в качестве щебенки.

Карбонатные породы

Доломиты

Доломиты развиты в Туломозерской мульде на площади $100\text{--}120 \text{ км}^2$. Среди доломитов встречаются чистые флюсовые разности с содержанием нерастворимого остатка от 2,6 до 4,6%, в связи с чем данная площадь может быть рекомендована для поисков флюсовых доломитов. Доломиты могут быть также использованы в качестве строительного и облицовочного материала.

Глинистые породы

Глины кирпичные

Залежи ленточных глин встречаются в долине р. Шуи и по берегам оз. Шотозера. Все эти площади являются перспективными для поисков мелких месторождений кирпичных глин.

Обломочные породы

Галечник, гравий и песок

Ресурсы песчано-гравийно-галечных месторождений в связи с широким развитием в южной и северо-восточной частях листа озерно-ледниковых отложений практически неисчерпаемы.

Пески

Преобладающее распространение имеют озерно-ледниковые кварц-полевошпатовые пески с небольшим содержанием слюды и темноцветных минералов. Они используются как балластный материал для строительства и ремонта дорог. Запасы балластных песков в районе практически неограничены.

ГОРЮЧИЕ ИСКОПАЕМЫЕ

Твердые горючие ископаемые

Торф

Торф имеет широкое распространение, может применяться для удобрений и утеплений построек местного населения. Для первоочередного изучения можно рекомендовать залежи торфа в "Финском борду", расположенному близ пос. Ведлозеро.

ЛИТЕРАТУРА

Опубликованная

1. Апухтин Н.И., Экман И.М., Яковleva C.F. Новые доказательства существования позднеледникового Беломорско-Балтийского морского пролива на Онежско-Ладожском перешейке. *Baltica*, вып. 2, 1965.

2. Бурцева З.А. Геологическая карта СССР масштаба 1:200 000, серия Карельская, лист Р-36-ХУ. Объяснительная записка. Гос. изд-во лит-ры по геол. и охране недр. М., 1962.

3. Виноградов А.П., Тугаринов А.И. О геохронологии докембрия восточной части Балтийского щита по данным свинцово-урано-ториевого метода измерения абсолютного возраста. В кн.: Геология и геохронология докембрия. Изд-во "Наука" М.-Л., 1964.

4. Вяюринен Х. Кристаллический фундамент Финляндии. Перевод с финского. Изд-во иностр. лит-ры, М., 1959.

5. Гейлер П. Докембрий Швеции. В кн.: Докембрий Скандинавии. Перевод с английского. Изд-во "Мир", М., 1967.

6. Глебова-Кульбах Г.О. Граниты Южной Карелии, в кн.: Граниты Кольского полуострова. Изд-во АН СССР М.-Л., 1963.

7. Геология СССР. Т. XXXII. Карельская АССР, ч. I. Геологическое описание. Участок Туломозера-Кавадъярви (Соколов В.А.). М., 1960.

8. Геология и петрология гранито-гнейсовой области юго-западной Карелии. Под редакцией К.О. Кратца. Изд-во "Наука". Л., 1969.

9. Желубовский Ю.С. Туломозерские месторождения железных руд. В справочнике: Полезные ископаемые Ленинградской области и Карельской АССР, ч.П - Карельская АССР. Гос. научно-техн. горно-геол.-нефтяное изд-во. Л-М., Новосибирск, 1934.
10. Желубовский Ю.С., Лебедева О.Н. Геологическое описание района д. Улялеги. - Матер. по геол. и полезн. ископ. КАССР. № I изд-во Ленингр. геол. треста. 1936.
11. Желубовский Ю.С., Озеров И.М., Роглин М.И., Софронов Н.И. Геология и полезные ископаемые Туломозерско-Соддерского района юго-западной Карелии. Изд-во Карельск. НИИ. Петрозаводск, 1937.
12. Каиряк А.И. Иотнийские образования северо-восточного Приладожья. Вестн. ЛГУ, сер. геол. и геогр., вып.2, № 12, 1967.
13. Кратц К.О. Геология карелий Карелии. Изд-во АН СССР. М-Л., 1963.
14. Миклухо-Маклай Н.Н. Геологический очерк Олонецкого уезда и островов Ладожского озера, расположенных вокруг Валаама. - Матер. для геологии России, т.ХУШ. Спб, 1897.
15. Полчанов А.А. Геология хоглантия-иотния Балтийского щита. Тр. Лабор. геолог. докембр., вып.6. 1956.
16. Робонен В.И. К стратиграфии протерозоя района Хаутовара-Чалка. - Тр. Карельск. фил. АН СССР, вып.ХХVI. 1960.
17. Харитонов Л.Я. Структура и стратиграфия карелий восточной части Балтийского щита. Изд-во "Недра", М. 1966.
18. Яковлева В.В. Геологическая карта СССР масштаба 1:200 000, лист Р-36-IX, серия карельская. Объяснительная записка. Госгеолтехиздат. М. 1965.
19. Metzger A.A. Die jatulischen Beldungen von Suojarvi in Ostfinnland Bull Comm. Geol Fine № 64.
- Фондовая х/
20. Александров В.И., Хютте В.П. Отчет о поисково-разведочных работах на песчано-гравийный материал, проведенных в Пряжинском, Олонецком и Суоярвском районах КАССР в 1960-1961 гг. 1962. № 17893.
- х/ Работы, для которых не указано место хранения, находятся в фондах СЗГУ.
21. Анищенкова О.Н. Отчет о поисково-ревизионных работах на участках Туломозерских месторождений железных руд в Ведлозерском районе КАССР за 1952 г. № III108.
22. Анищенкова О.Н., Молоткова Е.П. Отчет о геолого-поисковых работах в зоне контакта гранита рапакиви в юго-западной части КФССР и на Карельском перешейке (1952-1954 гг.). 1955. № I3596.
23. Анищенкова О.Н., Нидригайлова И.С. и др. Отчет о геолого-гидрогеологической съемке центральной части Восточного Приладожья масштаба 1:200 000 за 1966-1968 гг. 1971 г. № 21246.
24. Барканов И.В., Анищенкова О.Н. Металлогеническая и прогнозная карта на черные металлы восточной (советской) части Балтийского щита. 1968. № 20391.
25. Богачев А.И., Горбик Н.А., Коэлик В.С. и др. Отчет по теме № 4: Перспективы никеленосности нижнепротерозойских комплексов северной и южной Карелии и Ветреного пояса (Карельская АССР, Мурманская обл. и Архангельская обл.). 1966. № I9604.
26. Бреслер С.М., Родина Е.С., Молоткова Е.П. и Болотина А.Ф. Отчет о геологоразведочных работах, проведенных на Хаутоварском месторождении серного колчедана в Суоярвском районе КФССР в 1951-1955 гг. 1955. № I4336.
27. Бреслер С.М., Молоткова Е.П., Сыромятникова Н.Д. Отчет о геолого-поисковых работах, проведенных Хаутоварской партией в Суоярвском и Пряжинском районах КФССР в 1952-1955 гг. 1956. № I4874.
28. Вурцева З.А., Молоткова Е.П. Отчет о поисково-съемочных работах, проведенных в Суоярвском и Сортавальском районах КФССР. 1952. № II573.
29. Вербицкий Р.И., Виноградова Н.И., Гавриловская С.Ф., Попова Е.Э., Швоворов В.А. Отчет по теме: Обобщение и анализ геофизических материалов по северному Приладожью в связи с составлением металлогенической карты масштаба 1:200 000. 1965. № I9369.
30. Гилярова М.А. Материалы к стратиграфии Южной Карелии, 1951. № 1972.
31. Гилярова М.А. Стратиграфия и структура среднего дощембрия восточной части Балтийского щита. Автореф.дисс. на соиск.уч.степ.докт.геол.-минер. наук. ЛГУ им.А.А.Жданова. Л. 1969. (на правах рукописи).

32. Глебова - Кульбах Г.О., Миндлина А.А. Отчет о геологоразведочных и поисковых работах, проведенных на Хаутоварском и Чалчинском месторождениях серного колчедана в Суоярвском и Пряжинском районах КФССР, в 1948-1951 гг. № III01.
33. Глебова - Кульбах Г.О. Государственная карта полезных ископаемых СССР масштаба 1:100 000, лист Р-35, 36 (Петрозаводск). Объяснительная записка. 1957. № 15171.
34. Гольдбурт Т.Л. Геологическое строение района Хаутоварского месторождения серного колчедана. (Отчет по геологической съемке масштаба 1:200 000, произведенной летом 1949 г. в пределах Суоярвского, Пряжинского и Ведлозерского районов КФССР). 1950. № 9616.
35. Гуков Г.П. и др. Гидрогеологические условия бассейна верхнего течения р.Ши (отчет партии № 722 за 1957 г. по листам Р-36-XV и Р-36-XXI) КАССР - Пряжинский и Суоярвский районы. 1958. № 15779.
36. Гуков Г.П., Плюснина К.В. Геологическое строение и гидрогеологические условия района верхнего и среднего течения рек Видлицы и Тулемайоки (отчет партии № 779 5 ГУ за 1960 г. по южной половине листа Р-36-XXI) Карельской АССР. 1961. № 17255.
37. Гукосян Г.О. Отчет о результатах поисковых работ, проведенных партией № 15 в северной части Туломозерского района в 1951 г. 1952. № 12520.
38. Желубовский Ю.С. Отчет о разведке Туломозерских месторождений железных руд. 1929-1930-1931 гг. (Карельская АССР). 1931. № 145.
39. Желубовский Ю.С. Предварительный отчет о работе Коватъярвинской партии (цинковой), 1934. № 1792.
40. Желубовский Ю.С. Отчет о геологопоисковых работах на олово в южной части Туломозерского района КАССР в 1934-1935 гг. 1935. № 3620.
41. Желубовский Ю.С., Липская К.В. Отчет о работах по ревизии рудных месторождений КАССР и опробованию их на кобальт, произведенных летом 1939 г. 1940. № 3578.
42. Желубовский Ю.С., Груничева В.А., Михайлов А.В. и др. Отчет о геологических, гидрогеологических, инженерно-геологических и почвенных исследованиях, произведенных партией № 83 на планшетах: Р-36-77, Р-36-78, Р-36-69, Р-36-90, Р-36-101, Р-36-102 (Южная Карелия). 1940 г. № 7978.
43. Занин М.В. Отчет о работе Туломозерской геологосъемочной партии Карельской экспедиции. ВСЕГЕИ. 1945. № 6127.
44. Зильбер М.Е., Молоткова Е.П. и др. Отчет о поисково-съемочных работах на цветные и редкие металлы, проведенных Южно-Хаутоварской партией в районе д.Хюрсюля - оз.Няльмозера (юго-восточная часть Суоярвского и западная часть Пряжинского районов) КФССР в 1956 г. 1957. № 15205.
45. Иванов П.И., Улдукис Г.А. Отчет по работам Коватъярвинской цинковой партии за 1935-1936 гг. 1936. № 1664.
46. Иванова А.И., Носикова А.М., Болотина А.И. Отчет о геологоразведочных и на Няльмозерском месторождении серного колчедана и поисковых работах в районе месторождения за период 1951-1955 гг. Ведлозерский район КАССР. 1955. № 14167.
47. Иванова А.И., Пирогов К.П., Ляшенко Л.Г. Отчет о геологоразведочных работах на Ведлозерском месторождении серного колчедана в КФССР за 1948-1949 гг. 1950, № 9868.
48. Лебедева О.Н. Пегматиты Улялеского района 1935. № 1636.
49. Маренина Т.Ю., Каузов Д.А. Объяснительная записка к подсчету запасов Улялеского серно-колчеданного месторождения (Пряжинский район), 1940. № 5060.
50. Маргулис И.А. Отчет о работе поисковой партии № 2 Карельской железорудной экспедиции в 1946 г. № 6336.
51. Мажеенко Г.Т. Отчет о результатах работ, проведенных тематической партией на тему: Изучение никеленосности основных и ультраосновных пород Южной Карелии в Суоярвском районе КФССР в 1955-1957 гг. 1957. № 15347.
52. Моисеев И.В., Паасикиви Л.Б. Отчет Саудозерской партии по разведке пегматитовых месторождений в 1940 г. на территории Пряжинского района КФССР. 1941. № 7150.
53. Молоткова Е.П., Сапожников К.М. Отчет о ревизионно-опробовательских работах на месторождении Кавадъярви в Ведлозерском районе КФССР в 1950 г. 1951. № 12305.
54. Молоткова Е.П., Клокова А.В. Отчет о геологопоисковых работах, проведенных на Су-Ламбинской магнитной аномалии в Ведлозерском районе КФССР в 1954 г. 1956. № 14321.
55. Мустонен А.А., Михайлюк Е.М. Отчет Хюрсюльской и Северо-Ладожской партии за 1952-1954 гг. о структурно-поисковом профилировании массивов ультраосновных пород в Суоярвском и Ведлозерском районах КАССР. 1954. № 12853.

56. Олина И.В. и др. Отчет по теме: Обзор геологической изученности сырьевых баз предприятий строительных материалов Карельской АССР по состоянию на I/I 1962. 1963. № 18287.
57. Подольский В.П. и др. Отчет о работе Палалахтинской геологоразведочной партии за 1935 г. № 4365.
58. Пахтель И.А., Кулинич А.В., Котрева И.А. Отчет о результатах работ Великолукской гравиметрической партии за 1964 г. (Ленинградская, Псковская области и КАССР) 1965. № 19435.
59. Перевозчикова В.А. и др. Отчет по теме: Составление тектонической карты восточной части Балтийского щита и северо-западной окраины Русской платформы масштаба 1:500 000. 1968. № 20489.
60. Рохлин М.И., Сафонов Н.И. Отчет о работе Палалахтинской геологоразведочной партии за 1934 г. 1935. № 4376.
61. Сафонов Н.И., Рохлин М.И., Поликарпов И.К. Промышленный отчет по геологоразведочным работам на территории Улялгского сельсовета Пряжинского района в летний сезон 1934 г. № 4377.
62. Свирский Г.В. и др. Отчет о геофизических работах, проведенных в Ведлозерском, Сортавальском, Суоярвском, Пряжинском, Петровском и Кестеньгском районах КФССР. 1952 г. № 10159.
63. Свириденко Л.П. Петрология Салминского массива гранитов рапакиви (автореферат диссертации). 1965.
64. Сипакова М.С., Кривцова Е.Б. Отчет о результатах аэромагнитных исследований в Южной Карелии, Мурманской и Архангельской областях. 1964. № 18931.
65. Хазова В.И., Морозов В.В. и др. Отчет Восточно-Ладожской и Кителльской партий о геолого-поисковых работах на олово и цветные металлы, проведенных в Питкярантском и Суоярвском р-не КАССР в 1964-1967 гг. 1968. № 20476.
66. Фишгойт А.Л., Дорофеева М.К. Отчет о работах Хаутоварской геофизической партии за 1967 г. (Карельская АССР), 1968, № 20298.
67. Чалых Е.Д., Зайцевский А.Б., Дайн А.Д., Башущин Е.М., Беляева К.Д. Отчет Колвицкой партии о результатах геолого-съемочных работ масштаба 1:50 000, проведенных в 1962-1965 гг. в районе Колвицких и Кандалакшских тундр (Мурманская обл., Кандалакшский, Терский и Кировский районы). 1967. № 20178.
68. Экман И.М. Стратиграфия четвертичных отложений Онежско-Ладожского перешейка. Автореф. дисс. на соиск. уч. степ. канд. геол. минер. наук. Л., 1968 (на правах рукописи).
69. Яковлева В.В., Олина И.В., Громурова З.Т. Отчет по теме: Составление прогнозной и металлогенической карты масштаба 1:200 000 по району Приладожья. 1967. № 20221.
70. Яковлева В.В., Олина И.В. Отчет по теме: Изучение структуры рудных полей месторождения Питкяранта и оценка их глубинных перспектив. 1970. № 21086.

Приложение I

СПИСОК
ПРОМЫШЛЕННЫХ МЕСТОРОЖДЕНИЙ ПОЛЕЗНЫХ ИСКОПАЕМЫХ,
ПОКАЗАННЫХ НА ЛИСТЕ Р-36-XXI КАРТЫ ПОЛЕЗНЫХ
ИСКОПАЕМЫХ МАСШТАБА 1:200 000

Ин- декс клет- ки на карте	# на карте	Вид полезного ископаемого и наименование месторождения	Ссылка на литературу (номер по списку литературы)	Приме- чание
		НЕМЕТАЛЛИЧЕСКИЕ ИСКОПАЕМЫЕ		
		Химическое сырье		
		Серный колчедан		
II-3	5	Няльмозерское	46	
		Керамическое сырье		
		Полевой шпат		
I-4	2	Улялгское (Юрьяльское и Брусличное Большое)	42, 52	
		СТРОИТЕЛЬНЫЕ МАТЕРИАЛЫ		
		Обломочные породы		
		Галечник, гравий и песок		
III-2	2	Кохтусельга	20	
I-4	I	Пески	20	
II-2	2	Саригора	20	
III-2	I	Лахта	20	
III-3	8	Юргилица	20	
		Песок строительный		
IV-3	2	Рогокоски	-	Песчаные карьера выявлены при редакционно-увязочных маршрутах 1964 г.

Приложение 2

СПИСОК
НЕПРОМЫШЛЕННЫХ МЕСТОРОЖДЕНИЙ ПОЛЕЗНЫХ ИСКОПАЕМЫХ,
ПОКАЗАННЫХ НА ЛИСТЕ Р-36-XXI КАРТЫ ПОЛЕЗНЫХ
ИСКОПАЕМЫХ МАСШТАБА 1:200 000

Ин- декс клет- ки на карте	# на карте	Вид полезного ископаемого и наименование месторождения	Ссылка на литературу (номер по списку литературы)	Приме- чание
I	2	3	4	5
		НЕМЕТАЛЛИЧЕСКИЕ ИСКОПАЕМЫЕ		
		Химическое сырье		
		Серный колчедан		
		МЕТАЛЛИЧЕСКИЕ ИСКОПАЕМЫЕ		
		Черные металлы		
		Железо		
		Гематитовые руды		
II-1	6	Ануфриансельга	9, 22, 24	
II-1	8	Рекунсельга	То же	
II-1	9	Суонансельга	"	
		Озерные руды		
II-2	3	Туломозерское	42, 24	
II-3	9	Ведлозерское	То же	
IV-4	I	Гижезерское	"	
		Цветные металлы		
		Цинк		
II-1	19	Коватъярви	41, 45, 53	
		НЕМЕТАЛЛИЧЕСКИЕ ИСКОПАЕМЫЕ		
		Химическое сырье		
		Серный колчедан		
II-4	2	Улялгское	61	
II-3	6	Ведлозерское	47	

I	2	3	4	5
СТРОИТЕЛЬНЫЕ МАТЕРИАЛЫ				
Карбонатные породы				
		Доломит		
П-1	II	Мурдосельга	38, 42	
П-1	I4	Раудониemi	То же	
П-1	I7	Люрансельга	"	
Глинистые породы				
Глины кирпичные				
П-4	3	Корьялы	42	
Ш-4	I	Щеккило	56	

СПИСОК
ПРОЯВЛЕНИЙ ПОЛЕЗНЫХ ИСКОПАЕМЫХ, ПОКАЗАННЫХ
НА ЛИСТЕ Р-36-XXI КАРТЫ ПОЛЕЗНЫХ ИСКОПАЕМЫХ
МАСШТАБА 1:200 000

Ин- декс клет- ки на карте	# на кар- те	Вид полезного ископаемого и наименование месторождения	Ссылка на литерату- ру (номер по списку литера- туры)		Приме- чание			
			I	2				
МЕТАЛЛИЧЕСКИЕ ИСКОПАЕМЫЕ								
Черные металлы								
		Железо						
		Гематитовые руды						
I-1	I	Гейно-Суан, Ляинин-Сиан	9, 24, 42		В коренном залегании			
П-1	I	Агвенъярви, Сувиан, Ахвен- оян, Кургансельга, Немеж- сельга	To же		To же			
П-1	3	Вилумпайву, Акомпайво, Фаддейн-Келья	"		"			
П-1	10	Мурдосельга	"		"			
П-1	12	Мечей-Коски, Лагусельга	"		"			
П-1	18	Люрансельга, Рогосельга, Суансельга	"		"			
П-1	7	Люппилосельга, Ойнасоян	"		"			
Цветные металлы								
		Медь						
П-1	13	Букинперти	37, 41		"			
П-1	16	Юивансельга	To же		"			
П-1	20	Гирвансельга	"		"			
П-1	2	Юго-Коски	37, 41		"			

I	2	3	4	5
П-1	2	Фаддейн-Келья	37, 41	В коренном залегании
П-3	2	Кайназъярви	44, 46	То же
		Свинец		
П-1	5	Кариолан-Калатус	37	"
		Цинк		
П-3	3	Кайназъярви	44, 46	"
П-3	4	Няльмозерское рудное поле	То же	"
П-3	6	Няльмозеро	"	"
П-4	I	Улялэги	II, 60, 61	"
П-4	4	Юрьялы	То же	"
III-3	I	Турка-Ламби	44, 46	"
III-3	2	Няльмозеро	"	"
III-3	3	Няльмозеро	"	"
III-3	4	Турка-Ламби	"	"
III-3	5	Турка-Ламби	"	"
		Олово		
I-4	2	Улялэги	II	"
III-3	7	х. Григорьева	60, 69	"
IV-3	I	Синемукское	-	Выявлено бурением в 1964 г.
		Никель		
I-3	I	Ст. Хаутоваара	44	В коренном залегании
I-3	3	Вистуккалампи	"	То же

I	2	3	4	5
I-3	4	Хюрсюльский массив	44, 69	В коренном залегании
П-2	I	Суламбинский	54	"
П-3	I	Южно-Хюрсюльский массив	44	"
Редкие металлы				
		Молибден		
I-3	2	Хаутоварский массив	4	"
НЕМЕТАЛЛИЧЕСКИЕ ИСКОПАЕМЫЕ				
Прочие неметаллические				
ископаемые				
Шунгитовый сланец				
П-1	I5	Калаярви	42	"